

21
29



Universidad Nacional Autónoma de México

Facultad de Ingeniería

**CRIFTOGRAFIA PARA TRANSMISION
DE VOZ**

T E S I S

para obtener el título de:

INGENIERO EN COMPUTACION

P r e s e n t a n :

Adrián Martínez Aguilar

y

Raúl Abraham Sánchez Sánchez

Director de Tesis: Dr. Federico Kuhlmann Rodríguez



México, D. F.

1988



UNAM – Dirección General de Bibliotecas Tesis Digitales Restricciones de uso

DERECHOS RESERVADOS © PROHIBIDA SU REPRODUCCIÓN TOTAL O PARCIAL

Todo el material contenido en esta tesis está protegido por la Ley Federal del Derecho de Autor (LFDA) de los Estados Unidos Mexicanos (México).

El uso de imágenes, fragmentos de videos, y demás material que sea objeto de protección de los derechos de autor, será exclusivamente para fines educativos e informativos y deberá citar la fuente donde la obtuvo mencionando el autor o autores. Cualquier uso distinto como el lucro, reproducción, edición o modificación, será perseguido y sancionado por el respectivo titular de los Derechos de Autor.

INDICE

PAGINA

INTRODUCCION.....	1
CAPITULO I "LA VOZ".	
I.1 Introducción.....	5
I.2 Mecanismos de generación de voz desde el punto de vista físico.....	6
I.3 Tipos de sonidos que forman la voz.....	7
a) Vocales.....	10
b) Consonantes.....	12
I.4 Fisiología del aparato de generación de voz.....	15
a) Los pulmones y el conducto traqueo bronquial.....	15
b) La laringe.....	18
c) El conducto vocal.....	19
CAPITULO II "DIGITALIZACION DE LA VOZ".	
II.1 Introducción.....	21
II.2 Muestreo.....	22
II.2.1 Teorema del muestreo.....	22
II.2.2 Muestreo de señales de voz.....	25
II.3 Modelos Estadísticos para la voz.....	28
II.4 Cuantización.....	33
II.4.1 Cuantización Instantanea.....	33
II.4.2 Cuantización Uniforme.....	35
II.5 Relaciones señal a ruido con compansión.....	43
CAPITULO III "CRIPTOGRAFIA".	
III.1 Introducción.....	49
III.2 Elementos de la Criptografía.....	52

III.3 Principios de la Criptografía.....	54
III.4 Sistema cifrador de un solo paso.....	59
III.5 Cifradores de bloques.....	61
III.6 Cifradores de cadenas.....	66
III.6.1 Función de Autocorrelación.....	69
III.6.2 Registros de corrimiento.....	70
III.6.3 Sistema cifrador DES (Data Encrypton Standar).....	74
III.7 Sistemas de clave pública.....	75
CAPITULO IV "CRIPTOGRAFIA DIGITAL DE VOZ".	
IV.1 Introducción.....	78
IV.2 Criptografía en el dominio de la frecuencia.....	79
IV.2.1 Inversión en frecuencia.....	79
IV.2.2 Reordenadores de Bandas.....	92
a) Diseño de Reordenadores de Bandas a través de moduladores balanceados (BM).....	93
IV.2.3 Reordenadores de espectros de frecuencia utilizando D.F.T.....	100
IV.3 Criptografía en el dominio del tiempo.....	103
IV.3.1 Inversión en el tiempo.....	103
IV.3.2 Reordenamiento de muestras en el tiempo.....	107
IV.3.3 Permutación de bloques en el tiempo.....	110
IV.4 Criptografía en la amplitud.....	115
IV.5 Criptografía bidimensional.....	117
CAPITULO V. "SIMULACION DE METODOS"	
V.1 Introducción.....	118
V.2 Simulación en PC.....	118
V.2.1 Equipo para las simulaciones.....	119
V.2.2 Resultados de la primera etapa.....	122
V.2.2.1 Tiempo de retraso.....	122

V.2.2.2	Inteligibilidad Residual.....	123
V.2.2.3	Comprobaciones gráficas.....	124
V.3	Simulaciones en TMS32010.....	127
V.3.1	Equipo para las simulaciones.....	128
V.3.1.1	Microprocesador TMS32010.....	128
V.3.1.1.1	Arquitectura Harvard.....	129
V.3.1.1.2	Pipeline.....	129
V.3.1.1.3	Hardware dedicado a multiplicaciones.....	131
V.3.1.1.4	Instrucciones especiales el procesamiento digital de señales.....	131
V.3.1.1.5	Ciclos rápidos de instrucción....	132
V.3.1.1.6	Diagrama de bloques del TMS 32010.....	133
V.3.1.2	Tarjeta de Interface Analógica (AIB) del TMS32010.....	136
V.3.1.2.1	Descripción.....	136
V.3.1.2.2	Características.....	138
V.3.1.2.3	Especificaciones Generales.....	139
V.3.2	Resultados de la segunda etapa.....	140
V.3.2.1	Descripción de los programas de primeros métodos de cifrado.....	140
V.3.2.2	Retraso de tiempo.....	143
V.3.1.3	Inteligibilidad Residual.....	146
V.4	Diseño del sistema cifrador.....	151
V.4.1	Descripción del funcionamiento.....	152

CONCLUSIONES.....	154
APENDICE.....	158
BIBLIOGRAFIA.....	171

Introducción.

..... y es dudoso que un ingenio humano pueda llegar a construir un enigma de esta especie, que otro ingenio humano no consiga descifrar adecuadamente.....

"EL ESCARABAJO DE ORO". EDOAR ALLAN POE.

El mundo está entrando a un nuevo período: la riqueza de las naciones, que en ésta su fase industrial, depende de los recursos naturales, de la acumulación de capital e incluso de las armas entre otras cosas, dependerá en el futuro de la información y de su uso adecuado. La información se está convirtiendo en un recurso tan estratégico como el petróleo y constituirá la nueva riqueza de las naciones, de tal forma que la seguridad sobre la información repercutirá sustancialmente en el desarrollo de un país.

Tal vez este pronóstico, (proveniente de los japoneses), sea un tanto engañoso, pero lo cierto es que día a día la información va adquiriendo mayor importancia, ya que ésta representa ventajas estratégicas; la persona que tiene información importante, de manera confiable y privada, tiene poder. Para darle privacidad y confiabilidad a la información se utiliza la "Criptografía".

Día a día y gracias a las investigaciones sobre criptografía, en los países industrializados, se cuenta con sistemas seguros y complejos de información, ya que existe una contienda entre los investigadores que pretenden asegurar la privacidad de la información.

introducción.

Para ilustrar esta aseveración, considérese el esquema propuesto por Martin Hellman, Merkle y Diffie de la universidad de Stanford: diseñaron un sistema de dos claves y anunciaron que su sistema era indescifrable ya que se requería de una clave para el cifrado y otra para el descifrado. Compararon la solución del problema con una mochila llena de cajas; aunque el descifrador conozca el volumen total de la misma, no tiene ninguna posibilidad de saber cuantas cajas caben en su interior, aunque conozca el volumen de una o de varias cajas. Pronosticaron millones de años para que se pudiese descifrar el contenido, pero en solo seis años el matemático israelí Adi Shamir descubrió la clave.

Así pues, el desarrollo de la criptografía en los sistemas de comunicaciones, ha ido en aumento día a día en los países industrializados.

El objetivo de esta tesis es mostrar las simulaciones de varios sistemas criptográficos para la transmisión de voz analógica por vía telefónica. De los sistemas utilizados, algunos son sistemas ya existentes y otros son el resultado de combinaciones de aquéllos. Además, se presenta el software de estos métodos en lenguaje ensamblador del microprocesador TMS32010 y se sugiere la arquitectura requerida para la implementación de un sistema criptográfico, basado en el TMS32010, que hace uso del software mencionado.

La estructura de este trabajo, que refleja asimismo la metodología utilizada, se presenta a continuación.

introducción.

En el capítulo uno se presentan los aspectos básicos sobre la generación de los distintos sonidos que conforman la voz en el ser humano. Es importante conocer estos aspectos ya que los mensajes a encifrar en el sistema criptográfico son de voz.

En el capítulo dos se presentan las generalidades sobre la digitalización de la voz. A lo largo de este trabajo podrán observarse las ventajas que tiene digitalizar las señales analógicas para su proceso.

En el capítulo tres mostramos la teoría general sobre la criptografía digital de datos. En este tipo de criptografía residen los principios de la criptografía digital de señales de voz analógicas.

En el capítulo cuatro presentamos las principales técnicas de criptografía digital de voz, tanto el dominio del tiempo como en el dominio de la frecuencia.

En el capítulo cinco mostramos las simulaciones realizadas, en un principio en una computadora PC-XT y posteriormente en el módulo de evaluación para el microprocesador TMS-32010, en esta parte mostramos las comparaciones entre los diversos métodos criptográficos y las ventajas que proporcionan cada uno.

Después de las simulaciones en PC-XT se presenta, a manera de introducción, las características del módulo de evaluación del microprocesador TMS32010 y de la tarjeta de interfase analógica, mediante estos recursos probamos los métodos criptográficos y presentamos la arquitectura sugerida para el sistema

introducción.

criptográfico.

Por último, mostramos las conclusiones, las perspectivas y las consideraciones finales de la criptografía.

Es importante hacer notar que en la literatura sobre criptografía de señales analógicas se le hace referencia como scramblers a éste tipo de métodos criptográficos.

I.1.- Introducción.

El medio natural de comunicación del ser humano es la voz. El hombre, a través de su evolución, ha sido capaz de desarrollar métodos de codificación y decodificación para transmitir información (cualquier lenguaje oral, de hecho, es un proceso de codificación). Con el desarrollo de la electrónica y de las telecomunicaciones, se ha hecho de la transmisión a distancia de la voz un medio relativamente fácil de comunicación entre los hombres. Y con la aparición de la informática se han podido estudiar ciertos fenómenos que antes eran prácticamente imposibles a acceder.

El hombre trata de comprenderse y de adaptar las máquinas a sí mismo, para lograr de ésta forma una comunicación más natural y directa. Siendo pues la voz el medio natural de comunicación entre los hombres, parece simple el tratar de crear sistemas capaces de reproducirla.

La comunicación hombre-máquina con voz era hasta hace poco tiempo una utopía. Actualmente ya no es así, y el aprendizaje a este respecto aunque ha avanzado mucho, aún falta también mucho por conocer y desarrollar. El estudio de la voz incluye muchas disciplinas y presupone el análisis de funciones complejas tales como la percepción, el aprendizaje, la memoria y la inteligencia. Requiere del esfuerzo y la colaboración de lingüistas, médicos, ingenieros en comunicaciones, electrónica, computación,

psicólogos, profesores de lenguas vivas y muchos otros investigadores más.

Los conocimientos acumulados por cada disciplina son vastos y algunas veces contradictorios; el lenguaje difiere de una disciplina a otra. El intentar conocer todo respecto a la comunicación con voz sería en estos momentos imposible.

I.2.- Mecanismos de generación de voz desde el punto de vista físico.

El elemento básico del lenguaje hablado es el fonema, la fonación se refiere a la emisión de fonemas, es decir, a la generación de voz.

La fonación no es realizada por medio de un aparato u órgano específico; aparte de la laringe, los órganos que se utilizan son afectados por otras funciones vitales, como la respiración y la nutrición.

Las cuerdas vocales, fig.(1.1), entran en vibración cuando hay un excedente de presión por abajo de la glotis. Muchas teorías se han establecido desde el siglo XVIII, pero los medios de investigación modernos, y muy especialmente la cineradiografía, han permitido establecer que las cuerdas vocales vibran en toda su altura y no solamente en el plano horizontal; parecen ser el conjunto de las ondas de superficie que nacen dentro del cono elástico y se desplazan progresivamente hacia abajo. Las cuerdas

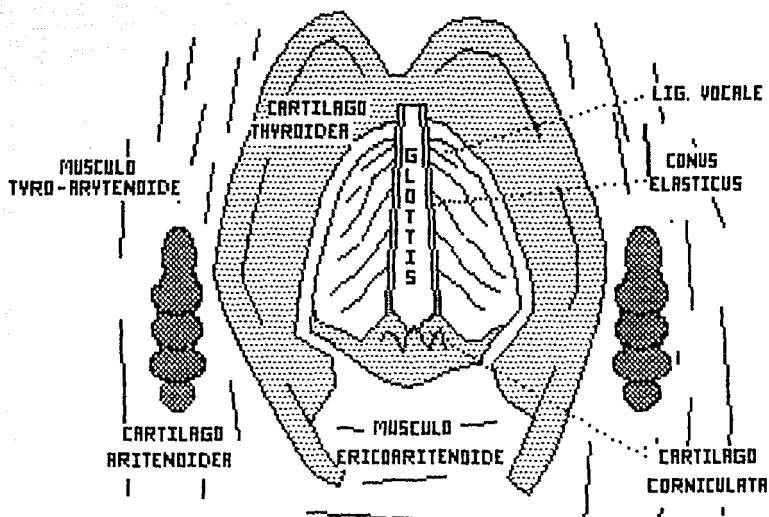


FIG. (1.1) CONO ELASTICO, LIGAMENTOS VOCALES, CARTILAGOS Y MUSCULOS DE LA LARINGE.

vocales son aplicadas una contra la otra sobre todo el espesor. La presión sub-glótica se aplica igualmente sobre todas las paredes del cono elástico, fig.(1.1), y tienden a separar las cuerdas vocales al mismo tiempo que las deforma hacia arriba. Las cuerdas vocales acaban por separarse bruscamente dejando pasar el aire; pero ese desplazamiento de aire produce una fuerza de

contracción sobre las paredes del cono elástico que se suma a la elasticidad de los músculos vocales.

Las cuerdas entran de nuevo en contacto, en su parte inferior, y el ciclo puede volver a empezar.

La presión acústica supraglótica sigue sencillamente la apertura de la glotis, que puede asociarse a una función triangular disimétrica.

Este modo de funcionamiento genera fenómenos observables, como el defasamiento existente dentro de la vibración de las partes superiores e inferiores de las cuerdas vocales. Esto no implica necesariamente un cierre absoluto de la glotis; en caso de una unión imperfecta de las cuerdas vocales, las fuerzas aerodinámicas y elásticas que inicialmente produjeron la vibración continúan existiendo. La onda acústica emitida tiende a una forma más simétrica, cercana a una senoide, al mismo tiempo que aparece una componente continua de la abertura. El resultado en el plan acústico es un empobrecimiento del timbre, debido a que el espectro contiene menos armónicas y un enriquecimiento en ruido debido a la fuga turbulenta de aire dentro de la laringe.

La disposición de los cartílagos y de los músculos de la laringe, fig.(1.1), permiten variar la tensión, alargamiento y separación de las cuerdas vocales, las cuales, en función de la presión subglótica, pueden adoptar una infinidad de puntos de funcionamiento.

Cuando se respira sin fonación, las cuerdas vocales son separadas al máximo.

La voz de pecho es obtenida al aproximar los aritenoides, por medio de los sistemas musculares disponibles, y contraer los músculos tyro-aritenoides que forman el cuerpo de las cuerdas vocales. Para pasar a un registro medio se disminuye la contracción de las cuerdas vocales y se aumenta la longitud bajando el cartilago tyroide.

En la voz de falsete, las cuerdas vocales son estiradas al máximo, pero vibran solamente en una parte de su longitud (parte ligamentosa o anterior).

La voz "grandote", es obtenida con ajustes como los anteriores, aparte de la relajación de los músculos ericoaritenoides, lo que permite a las cuerdas vocales, estando tensas, comprimirse no tan fuertemente y dejar pasar aire por una ventana delgada sin entrar en vibración.

I.3.- Tipos de sonidos que forman la voz.

El elemento básico del lenguaje hablado es el fonema. Las variaciones distinguibles se llaman alófonos.

Los fonemas pueden considerarse como un código relacionado únicamente a los gestos articulados de un lenguaje.

Los alófonos de un fonema pueden considerarse representativos de la libertad acústica permitida al especificar el símbolo

codificado. Esta libertad no depende únicamente del fonema sino también de la posición de una uterancia.

Se busca la clasificación de distintos sonidos y grupos acústicamente distinguibles pertenecientes al mismo fonema, o que no son de distinto significado. Los alófonos difieren en pronunciación, pero esta diferencia no es importante dado el punto de vista semántico del lenguaje, (un gesto basta para distinguir un fonema).

El alfabeto de la asociación fonética internacional (IPA) proporciona símbolos para representar sonidos de voz de la mayoría de las lenguas del mundo. La clasificación de sonidos de voz se hace de acuerdo a la manera y lugar de la producción. Por ejemplo, la articulación de sonidos vocálicos se describe por la posición de la lengua a lo largo del conducto vocal, fig.(1.2), y el grado de constricción del mismo.

A).--Vocales.

Las vocales son producto exclusivamente de la excitación de las cuerdas vocales del conducto vocal.

En condiciones normales, el conducto se mantiene en una configuración relativamente estable durante la mayor parte de la duración del sonido. Las vocales se caracterizan por un acoplamiento nasal despreciable y por la radiación de la boca (excepto aquélla que pasa por las paredes de las cavidades).

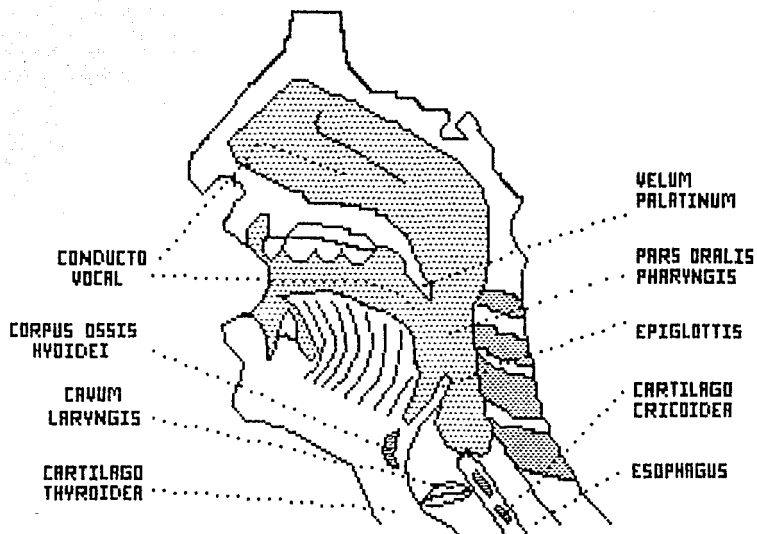


FIG. (1.2). CAVIDAD DE LA FARINGE, LADO DERECHO;
ASPECTO INTERIOR.

La producción de sonidos vocalizados al mínimo nivel posible, requieren una presión pulmonar del orden de 4cm.de agua. Para sonidos fuertes, la presión es de aproximadamente 20cm. de agua. Los sonidos vocalizados son producidos por la acción vibratoria de las cuerdas vocales.

Imaginemos una masa relativa, las cuerdas vocales tensas inicialmente juntas, la presión subglótica se incrementa suficientemente para forzarlas con una aceleración lateral. El flujo de aire pasa a través del orificio, la presión local se reduce y una fuerza actúa para regresar las cuerdas a una posición aproximada. A medida que el flujo disminuye, las cuerdas se juntan y la presión local se aproxima al valor subglótico. El ciclo de relajación se repite. La masa y compliancia de las cuerdas así como la presión subglótica, determinan el período de oscilación.

El orificio de área variable, producido por la vibración de dos cuerdas, permite pulsos quasi-periódicos de aire que excitan el sistema acústico de las cuerdas vocales, la frecuencia de vibración es de 125 hz. La forma de onda es aproximadamente triangular, los componentes de alta frecuencia disminuyen en amplitud a razón de 12 dB/octava y toma aproximadamente 100 msec. en alcanzar su amplitud máxima.

Si el conducto nasal se acopla al conducto oral durante la producción de la vocal, ésta se vuelve nasalizada.

B).-Consonantes.

Las consonantes constituyen aquellos sonidos que no son exclusivamente vocalizados, y que son formados a partir de una configuración vocal relativamente estable. Ellas se caracterizan

por constricciones del conducto más grandes que las vocales. Ellas pueden ser excitadas y/o radiadas diferentemente. Los movimientos dinámicos a cierto tiempo del aparato vocal son fundamentales para la producción de una parte importante de las consonantes. Aquellas consonantes donde el movimiento vocal no interviene se llaman continuantes.

Consonantes Fricativas: Son producidas por una excitación de ruido incoherente del conducto vocal.

Este ruido es generado por un flujo de aire turbulento en algún punto de constricción. Algunas constricciones comunes son aquéllas formadas por la lengua abajo de los dientes (dental), los dientes superiores sobre el labio inferior (labio dental), etc.

La radiación de las fricativas ocurre generalmente por la boca. Si la fuente de las cuerdas vocales ocurre en conjunto con la fuente de ruido, la fricativa es vocalizada, Si ocurre solamente la fuente de ruido, la fricativa es no vocalizada o continuante. Una constante fricativa típicamente alcanza su amplitud máxima de 20 a 50 mseg. y la mayoría de su densidad de potencia está concentrada entre 1 y 3 Khz. Un ejemplo de una consonante fricativa es !sssss....!.

Consonantes de alto (Explosivas): Son aquéllas que dependen de la dinámica del conducto vocal. Para producir estos sonidos debe

haber un cierre total en algún lugar del conducto vocal.

La presión generada por los pulmones es soltada de repente con un movimiento abrupto de los articuladores. El cerrado puede ser labial, alveolar, palatar o velar, o no puede haber vocalización. Un ejemplo de una consonante explosiva de cerrado labial es una 'p'.

Este tipo de consonantes se caracterizan por el hecho de que las componentes de alta frecuencia alcanzan el 90% de la amplitud máxima en menos de 5 mseg.

Consonantes Nasales: Son generalmente excitadas por las cuerdas vocales. La mayor parte de la radiación se produce por los orificios nasales y la cavidad oral sirve únicamente como resonador que puede influenciar sustancialmente el sonido. Los sonidos nasales pueden considerarse como continuantes debido a que pueden mantenerse constantes. Un ejemplo de estas consonantes son 'm' o 'n'.

Glides y Semi-Vocales: Son sonidos consonánticos que se parecen a las vocales. Invariablemente parecen una vocal. En el caso de las glides el movimiento es dirigido hacia una vocal. En las semi-vocales, el canal oral está más cerrado que en el caso de las vocales y la punta de la lengua está arriba. Ejemplo de semivocales son : 'w', 'l', 'r', y 'y'.

Sonidos Combinados: Diptongos y Africativas. Un par de vocales que forman un diptongo, es como una vocal, pero se caracteriza por el cambio de una posición a otra. En el caso de las consonantes, es llamada africativa.

I.4.- Fisiología del aparato de generación de voz.

El conjunto del sistema vocal se compone de pulmones y del conducto traqueo-bronquial formado por la laringe, faringe y las cavidades urales y nasales.

Analizando, en función al papel que desempeñan cada una en la fonación:

A).- los pulmones y el conducto traqueo bronquial:

La tráquea, fig.(1.3), es un conducto quasi-cilíndrico de aproximadamente 12 cm. de longitud y de 1.5 cm a 2.5 cm. de diámetro. Su estructura le permite una gran elasticidad vertical (se puede alargar varios centímetros y desplazarse de atrás hacia adelante) con una necesaria indeformidad de acción.

La extremidad superior soporta la laringe, mientras que su extremidad inferior se divide en dos ramas de longitudes y secciones desiguales que alimentan los pulmones.

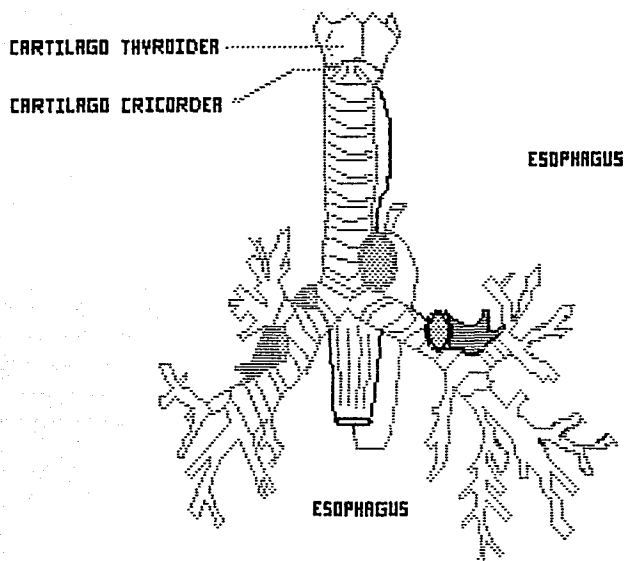


FIGURA 1.3. TRAQUEA Y BRONQUIOS ASPECTO ANTERIOR (3/4).

El tórax, fig.(1.4), con sus doce costillas se comporta como una bomba de aire: en el proceso de la inspiración un sistema de músculos eleva las costillas, mientras que el diafragma se baja contractándose.

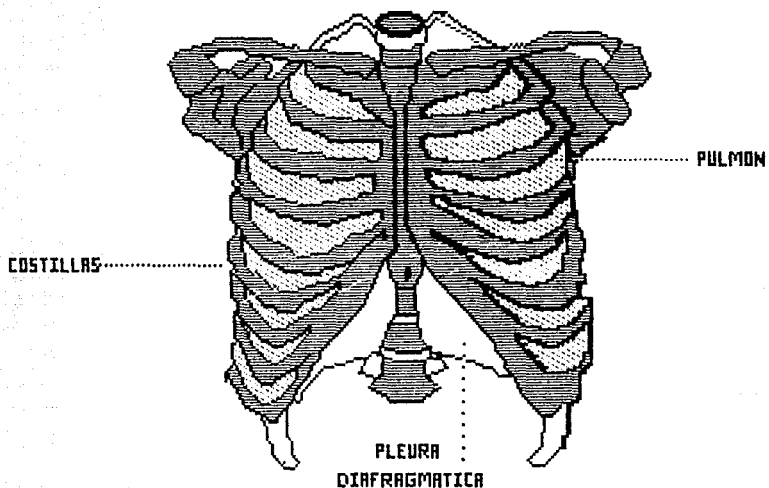


FIGURA 1.4 LÍMITES DE LOS LOBULOS DE LOS PULMONES Y DE LA PLEURA.

La respiración no requiere ordinariamente de ninguna contracción muscular: es consecuencia de la elasticidad del tejido pulmonar, de la contracción de los músculos torácicos y del diafragma.

B).- La laringe:

La laringe, fig.(1.2), es un conjunto de cartilagos articulados, ligamentos, músculos y mucosas que sobrepasan la tráquea y penetran en la faringe. En conjunto con la epiglotis, impiden el paso de los alimentos a la tráquea. El esófago es un conducto situado atrás de la tráquea, fig.(1.2). Su sección es deformable, en el estado normal la parte superior está aplastada. Al momento de la deglución, la laringe se desplaza hacia adelante y hacia arriba gracias a un sistema de músculos dispuestos según una estrella de tres ramas.

En la laringe, fig.(1.1), se pueden distinguir:

- El cartilago ericoide.
- El cartilago arytenoide.
- El cartilago cuniculés.
- El cartilago tiroide.
- El hueso hipóide.
- La epiglotis.

Los movimientos de todos esos cartilagos resultan de la acción conjunta de varios músculos.

A pesar de la complejidad ósea y muscular, la forma interior de la laringe es relativamente simple y continua.

C).- El conducto vocal.

El conducto vocal, fig.(1.2), se compone de dos partes. La parte oral, cuya longitud es de 17 a 20 cm., comprende la faringe y las diversas cavidades vocales, de forma y volúmen extremadamente variables y la parte nasal, que es más simple, porque se compone de dos cavidades fijas, conectadas en paralelo sobre el conducto oral por intermedio del "velum palatinum". Este constituye la parte móvil del paladar, normalmente en posición baja para permitir la respiración, se puede alzar y pegar contra la pared posterior de la faringe en el momento de la deglución o en el transcurso de la fonación.

En la parte oral, generalmente el maxilar inferior se encuentra enfrente del maxilar superior, pero el maxilar inferior tiene una gran movilidad: no solamente se puede abrir varios centímetros, sino también se puede desplazar lateralmente hacia adelante aproximadamente un centímetro.

La parte más móvil del conjunto oral es la lengua, que tiene mas de 17 músculos diferentes. Esta puede modelar a voluntad la forma del conducto oral, cambiando rápidamente.

Finalmente los labios, que pueden deformarse de manera continua y en grandes proporciones debido a que se componen de varios músculos.

Haciendo un resumen de los músculos que intervienen en el aparato vocal, (laringe incluida), se constata que hay

aproximadamente 60 músculos que intervienen de manera coordinada.

El área transversal en la parte anterior del conducto vocal puede variar de 0 a 20 cm. cuadrados.

Las cavidades nasales miden aproximadamente 12 cm. y contienen un volumen de aproximadamente 60 cm. cúbicos.

II.1.- Introducción.

La forma general para representar digitalmente una señal de voz analógica se muestra en la fig.(2.1). Como ahí se observa, la

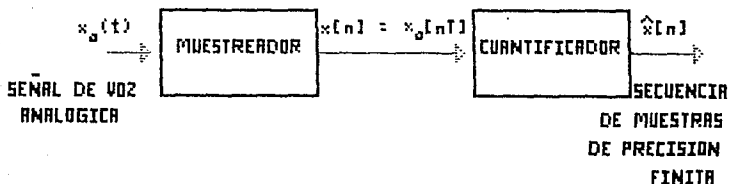


FIG. (2.1) DIAGRAMA GENERAL DE BLOQUES PARA LA REPRESENTACION DIGITAL SE SEÑALES ANALOGICAS

forma de onda de voz, puede ser concebida como una función continua de tiempo, es muestreada, generalmente en forma periódica, para producir una sucesión de muestras $x_a[nT]$. Estas muestras se cuantizan, dentro de un conjunto finito de valores, con el propósito de obtener una representación digital, (discreto

tanto en tiempo como en amplitud), de la señal de voz analógica. Estos dos conceptos básicos, muestreo y cuantización, están inherentes en todos los esquemas para la representación digital de la voz, (o de casi cualquier otra señal continua en tiempo y amplitud).

II.2.- Muestreo.

En el uso de métodos de procesamiento digital de señales analógicas como la voz, es necesario representar digitalmente la señal analógica como una sucesión de números. Esto se hace comúnmente al muestrear periódicamente la señal analógica, denotada como $x_a(t)$, para producir la sucesión:

$$x[n] = x_a[nT] \quad -\infty < n < \infty$$

donde n , toma valores enteros.

II.2.1.- Teorema del muestreo.

Las condiciones para que la sucesión de muestras, en la igualdad anterior, sea una representación única de la señal analógica original, se resumen en el siguiente teorema de muestreo

cap. II. Digitalización de la Voz.

Si una señal $x_a(t)$ tiene una transformada de Fourier de banda limitada $X_a(j\omega)$, tal que $X_a(j\omega)=0$, para $|\omega| \geq 2\pi F_n$, entonces $x_a(t)$ puede ser reconstruida unívocamente de un espaciamiento de muestras $x_a[nT]$, para $-\infty < n < \infty$, si $1/T \geq 2F_n$.

La transformada de Fourier de $x_a(t)$ está definida como:

$$X_a(j\omega) = \int_{-\infty}^{\infty} x_a(t) e^{-j\omega t} dt$$

Y la transformada de Fourier de la sucesión $x[n]$ está definida como:

$$X(e^{j\omega T}) = \frac{1}{T} \sum_{k=-\infty}^{\infty} X_a[j\omega + j \frac{2\pi}{T} k] \dots \dots \dots (A)$$

Supóngase que $X_a(j\omega)$ es como se muestra en la fig.(2.2.a) y $X_a(j\omega)=0$ para $|\omega| > \omega_n = 2\pi F_n$. F_n es la frecuencia de Nyquist; de acuerdo a la ecuación (A), $X[e^{j\omega T}]$ es la suma de un número infinito de réplicas de $X_a(j\omega)$, centrada cada una en múltiplos enteros de $2\pi/T$. La fig.(2.2.b), muestra la situación cuando $1/T > 2F_n$, en este caso las reproducciones de la transformada de Fourier no se traslapan en la banda base, esto es, $|\omega| < 2\pi F_n$. La fig.(2.2.c), muestra la situación cuando $1/T < 2F_n$; en este caso la imagen centrada en $2\pi/T$ se traslapa en parte con la banda base. Esta condición donde una alta frecuencia se toma sobre la identidad de una baja frecuencia, es llamado traslape

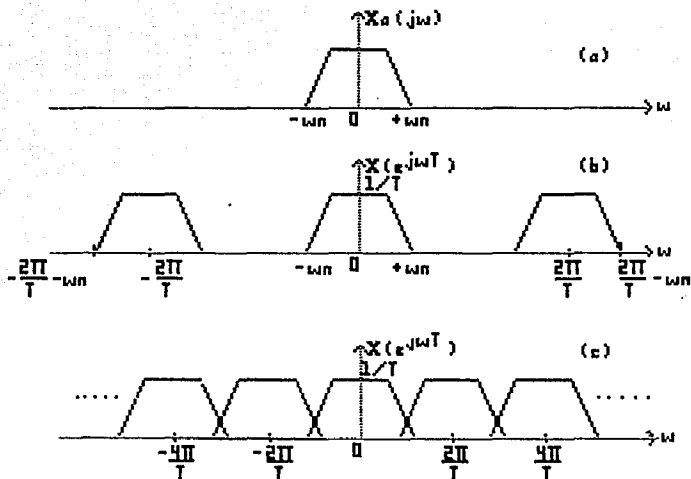


FIG. (2.2)

(aliasing). Evidentemente el traslape puede ser evitado solo si la transformada de Fourier es de banda limitada y si la frecuencia de muestreo ($1/T$) es al menos igual al doble de la frecuencia de Nyquist ($1/T > 2F_n$) sobre la condición $1/T > 2F_n$, bajo esta condición la transformada de Fourier de la sucesión de muestras es proporcional a la transformada de Fourier de la señal

analógica en banda base, esto es:

$$X(e^{j\omega T}) = \frac{1}{T} X_a(j\omega) \quad |\omega| < \frac{\pi}{T}$$

Usando este resultado, se puede mostrar que la señal original puede ser reconstruida a partir de la sucesión de muestras utilizando la fórmula de interpolación:

$$x_a(t) = \sum x_a[nT] \left[\frac{\text{sen} [n(t-nT)/T]}{n(t-nT)/T} \right] \dots \dots \dots (B)$$

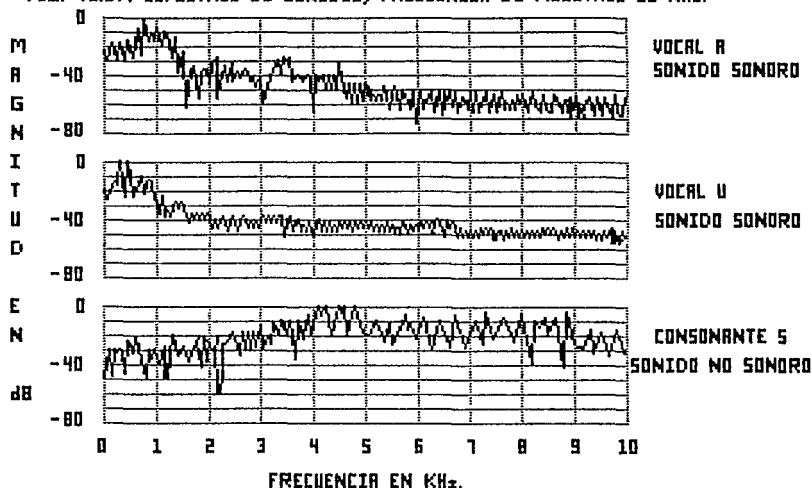
De ahí que en el diseño de convertidores Digital-Analógico se busque la aproximación a la ecuación (B). Es importante hacer notar que la señal de voz no puede ser muestreada directamente, ya que no es una señal de banda limitada, con lo cual no puede aplicarse el teorema de muestreo, por lo tanto, es necesario filtrar la señal antes del muestreo, y así limitar su ancho de banda.

II.2.2.- Muestreo de señales de voz.

Para analizar el muestreo de señales analógicas de voz, consideremos las propiedades espectrales de la voz. En los modelos para la producción de vocales y sonidos fricativos, las señales de voz no son inherentemente de banda limitada, aunque el

espectro declina rápidamente en muy altas frecuencias. Como se observa en la fig.(2.3), en los sonidos sonoros, las altas

FIG. (3.3). ESPECTROS DE SONIDOS, FRECUENCIA DE MUESTREO 20 KHz.



frecuencias, aproximadas a 4 khz, tienen magnitudes mayores de 40 dB, por otro lado, para sonidos no sonoros, el espectro no baja sensiblemente para frecuencias mayores a 8khz. Por lo tanto, para una representación exacta de todos los sonidos de la voz,

requeriremos un promedio de muestras mayor que 20 khz. En muchas aplicaciones, sin embargo, este promedio de muestreo no es requerido. Por ejemplo, si la operación de muestreo es un prelude para el proceso de estimar las primeras componentes de frecuencia de voz sonora, nosotros estaríamos interesados solamente en la porción del espectro hasta aproximadamente de 3.5 khz. Si la voz es filtrada con una frecuencia de corte de 4 khz. antes de muestrearse, la frecuencia de muestreo sería aproximadamente 8 khz., este es el caso cuando la voz se transmite sobre una línea telefónica, la fig.(2.4) muestra la curva de respuesta en frecuencia típica para transmisión por vía telefónica.

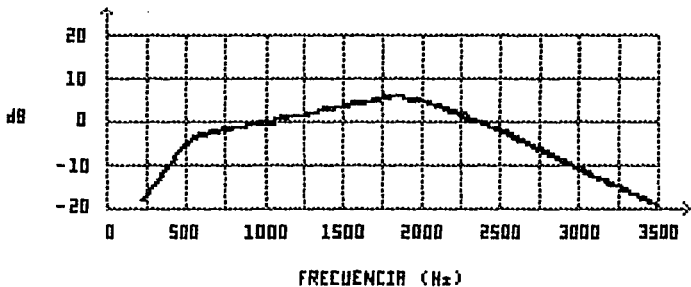


FIG. (2.4). CURVA TIPICA DE FRECUENCIAS PARA TRANSMISION DE VOZ POR VIA TELEFONICA.

cap. II. Digitalización de la Voz.

Como se observa en esa figura, la transmisión por vía telefónica de señales de voz tiene el efecto de limitación de banda. Un punto importante del muestreo es que, aunque la forma de onda de la señal a procesar digitalmente pueda tener un espectro de banda-limitada, la señal puede ser degenerada por el ruido aleatorio en el ancho de banda anterior a la conversión analógica-digital. En este caso, la señal suma una combinación de ruido que será filtrado con un filtro analógico paso-bandas que cortará sobre la frecuencia de Nyquist, así que las imágenes del ruido de altas frecuencias no serán conocidas en la banda base. Por lo tanto, para cualquiera de los dos casos mencionados, es necesario filtrar la señal analógica antes que se procese digitalmente.

II.3.- Modelos Estadísticos para la Voz.

Para la representación digital de señales de voz analógica es conveniente asumir que las formas de onda de la voz pueden ser representadas por un proceso aleatorio ergódico. Si nosotros asumimos que la señal $x_a(t)$ es una función muestreada de un proceso aleatorio de tiempo continuo, entonces la secuencia de muestras derivadas de un muestreo periódico puede ser igualmente concebido como una sucesión de muestras de un proceso aleatorio de tiempos discretos. Para muchos propósitos en análisis de sistemas de comunicaciones, una adecuada caracterización de la

cap. II. Digitalización de la Voz.

señal analógica consiste de una densidad de probabilidad de 1er. orden $p(x)$, y la función de autocorrelación del proceso aleatorio, que es definido como:

$$\phi_a(\tau) = E [x_a(t)x_a(t+\tau)]$$

donde $E [\]$ denota la esperanza del soporte. El espectro de potencia analógica es la transformada de Fourier de $\phi_a(\tau)$, esto es:

$$\bar{\phi}_a(\omega) = \int \phi_a(\tau) e^{-j\omega\tau} d\tau$$

La señal obtenida en tiempo discreto de muestrear la señal aleatoria $x_a(t)$ tiene como función de autocorrelación:

$$\begin{aligned} \phi(m) &= E [x[n]x[n+m]] \\ &= E [x_a(nT)x_a(nT+mT)] = \phi_a(mT) \end{aligned}$$

Así, después $\phi(m)$ es una versión actual de muestreo de $\phi_a(\tau)$, entonces el espectro de potencia está dado por:

$$\begin{aligned} \bar{\phi}(e^{j\omega T}) &= \sum_{-\infty}^{\infty} \phi(m) e^{-j\omega T m} \\ &= \frac{1}{T} \sum_{k=-\infty}^{\infty} \bar{\phi}_a(\omega + \frac{2\pi}{T}k) \end{aligned}$$

La ecuación anterior muestra que para el proceso aleatorio del modelo de voz, el espectro de potencia de la señal muestreada es una versión conocida del espectro de potencia de la señal analógica original.

La función densidad de probabilidad para las amplitudes $x[n]$, es la misma para las amplitudes $x_a(t)$, después que $x[n] = x_a[nT]$. Así la media y la variancia, son las mismas, tanto para las muestras como para la señal analógica original.

Los procesos estadísticos a señales de voz se aplican para estimar la función densidad de probabilidad y la función de autocorrelación, (o espectro de potencia), de las formas de onda de voz.

La densidad de probabilidad se puede estimar, a partir de un histograma de amplitudes, para un número grande de muestras, sobre un tiempo grande.

Una buena aproximación para medir la densidad de amplitud de la voz es una distribución "Gamma" de la forma:

$$p(x) = \left[\frac{\sqrt{3}}{B\sigma_x |x|} \right]^{1/2} e^{-\frac{\sqrt{3}}{2\sigma_x} |x|}$$

Una aproximación algo más simple es la densidad "Laplaciana":

$$p(x) = \frac{1}{\sqrt{2} \sigma_x} e^{-\frac{\sqrt{2}|x|}{\sigma_x}}$$

La fig. (2.5), muestra una medida de la densidad de amplitud para

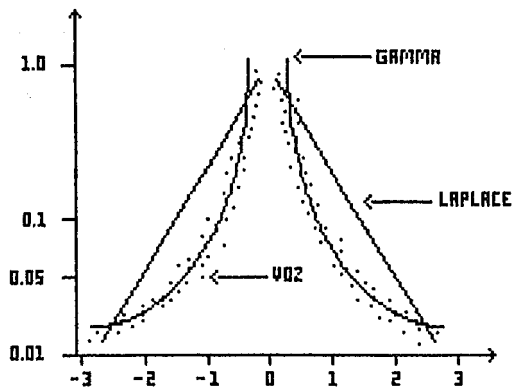


FIG. (2.5). VOZ REAL Y DENSIDADES DE PROBABILIDAD
GAMMA Y LAPLACE

la voz, junto con las densidades "Gamma" y "Laplaciana", todas han sido normalizadas, así que la media es cero y la variancia es

unitaria (σ_x^2). La densidad "Gamma", como se muestra en la fig.(2.5), es evidentemente una mejor aproximación que la densidad "laplaciana", pero ambas son razonablemente cercanas. La función de autocorrelación y espectro de potencia de señales de voz, pueden ser estimadas con técnicas estándar de análisis de series de tiempo. Una estimación de la función de autocorrelación de un proceso aleatorio ergódico puede ser obtenida al estimar la función de autocorrelación en tiempos promedio de un segmento grande, (pero finito), de la señal. Por ejemplo, la definición de la función de autocorrelación de tiempos cortos, puede ser ligeramente modificada para darnos la estimación de la función promedio de autocorrelación de tiempos largos, esto es:

$$\hat{\phi}(m) = \frac{1}{L} \sum_{n=0}^{L-1-m} x(n)x(n+m) \quad ; \quad 0 \leq |m| \leq L-1$$

donde L es un entero grande.

El espectro de potencia puede ser estimado en una variedad de formas para la voz, uno de los mejores resultados se obtiene de la medida del promedio de salida de un conjunto de filtros paso-banda. Una alternativa apropiada para la estimación del espectro de potencia promedio de términos grandes, es una primera estimación de $\hat{\phi}(m)$, como en la ecuación anterior, y entonces calculamos:

$$X(e^{j\omega T}) = \sum_{m=-M}^M \omega(m) \hat{\phi}(m) e^{-j\omega m T}$$

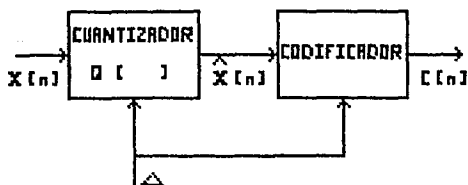
Para un conjunto discreto de frecuencias, $\omega_k = 2\pi k/T$, $k=0,1,\dots,N-1$, usando la transformada discreta de Fourier, donde $\omega(m)$ es una función de ventana en la función de autocorrelación.

II.4.- Cuantización.

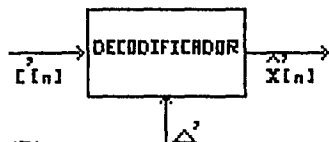
II.4.1.- Cuantización Instantánea.

Después de obtener una sucesión de muestras a partir de una señal analógica, el valor de la amplitud de cada muestra debe ser extraída de un conjunto finito de amplitudes, de manera que puedan ser representadas por un conjunto finito de símbolos. Estos procesos llamados de cuantización y codificación, respectivamente se muestran en la fig.(2.6.a), donde el proceso de cuantización produce una secuencia de amplitudes cuantizadas $\{\hat{x}[n]\} = \{Q[x[n]]\}$ y el proceso de codificación representa cada muestra cuantizada a partir de un código de palabras $c[n]$. La cantidad Δ en esta figura representa el tamaño del paso de cuantización.

Para recuperar las muestras cuantizadas, un decodificador, fig.(2.6.b), toma una secuencia de muestras de un código de palabras, $\{c'[n]\}$, y transforma estas posteriormente en una secuencia de muestras cuantizadas, $\{\hat{x}'[n]\}$. Si el código de



(A)



(B)

FIG. (2.6). PROCESO DE CUANTIZACION Y CODIFICACION
(A) CODIFICADOR ; (B) DECODIFICADOR

palabras $c'[n]$ son de las mismas muestras que el código de palabras $c[n]$, y considerando que no se han introducido errores, la salida del decodificador ideal es idéntica a las muestras cuantizadas. Con un código binario de longitud B es posible representar 2^B diferentes niveles de cuantización. La capacidad de información requerida para transmitir o almacenar la representación digital es por lo tanto:

$$L = B * F_s = \text{Promedio de bits/seq.}$$

Dónde F_s es el promedio de muestreo, (muestras/seq.), y B es el número de bits/muestra. En general, es razonable asumir que las muestras $\{x[n]\}$ caerán en un rango finito de amplitudes tales que:

$$|x[n]| \leq X_{\max}$$

Las amplitudes de las muestras serán cuantizadas al dividir el rango completo de amplitudes en un conjunto finito de rangos de amplitudes, y asignar el mismo valor de amplitud a todas las muestras que caen dentro del rango dado. Esto se observa en la fig. (2.7), para un cuantizador de 8 niveles. Por ejemplo, vemos que para todos los valores de $x[n]$ entre x_1 y x_2 , la salida del cuantizador es $\hat{x}(n) = Q[x(n)] = \hat{x}_2$, cada uno de los 8 niveles del cuantizador está referido a un código de palabra binario de 3 bits que sirve como una representación del nivel de amplitud. Por ejemplo, en la fig. (2.7), el código de salida para una muestra cuya amplitud esta entre x_1 y x_2 sería el número binario 101.

II.4.2.- Cuantización Uniforme.

Los rangos y niveles de cuantización pueden ser elegidos en una variedad de formas que dependen de la aplicación en la representación digital. Cuando la representación digital es para

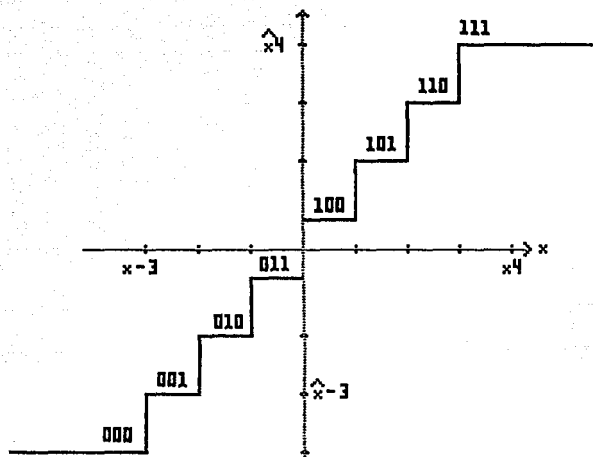


FIG. (2.7). CARACTERÍSTICAS DE ENTRADA Y SALIDA DE UN CUANTIZADOR DE TRES BITS

ser procesada por un sistema digital, los niveles y rangos de cuantización son generalmente distribuidos uniformemente.

Así, para definir un cuantizador uniforme, usando el ejemplo de la fig. (2.7), establecemos:

$$x_i - x_{i-1} = \Delta$$

y

$$X_i - X_{i-1} = \Delta$$

donde Δ es el tamaño del intervalo de cuantización. Dos características comunes de un cuantizador uniforme se muestran en la fig.(2.8), para el caso de 8 niveles de cuantización.

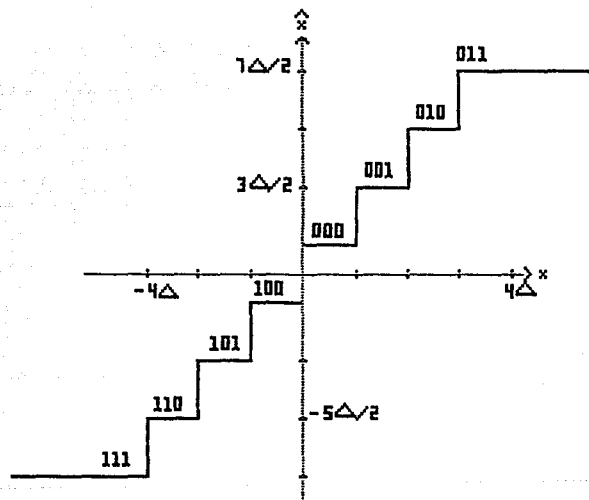


FIG. (2.8a). CUANTIZADOR MID-RISER

La fig.(2.8.a) muestra el caso donde el origen parece estar en la mitad de la altura de la escalera de la función, a esta clase de cuantizadores se le llama "mid-riser". De la misma forma la fig.(2.8.b) muestra un ejemplo del cuantizador "mid-tread".

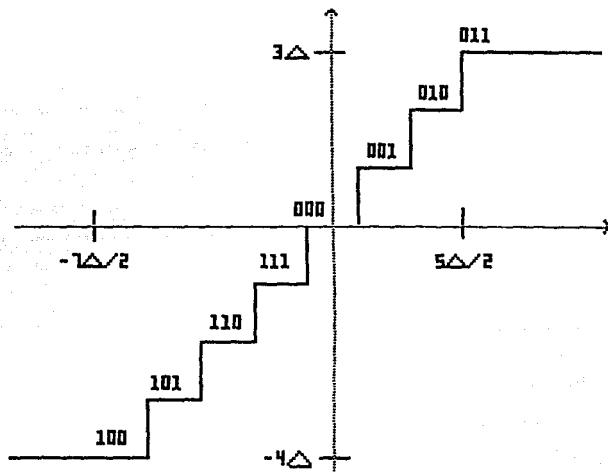


FIG. (2.8b). CUANTIZADOR MID-TREAD

cap. II. Digitalización de la Voz.

Para el caso donde el número de niveles es una potencia de 2, como es conveniente para un esquema de codificación binario, puede verse que el cuantizador "mid-riser" tiene el mismo número de niveles positivos y negativos, y éste está posicionado simétricamente sobre el origen. En contraste, el cuantizador "mid-tread" tiene un nivel negativo mas que un positivo; sin embargo, en este caso uno de los niveles de cuantización es cero, mientras que este nivel no es cero en el caso "mid-riser".

Para los cuantizadores uniformes como los de la fig.(2.8), se tienen dos parámetros: el número de niveles y el tamaño del intervalo de cuantización (Δ). El número de niveles es generalmente elegido para ser de la forma 2^B de tal forma que es más eficiente el uso del código de palabras binarios de B-bits. Juntos Δ y B deben ser elegidos para cubrir el rango de entrada de las muestras. Si asumimos que $|x[n]| \leq X_{\max}$, entonces colocaríamos:

$$2X_{\max} = \Delta 2^B \dots \dots \dots (C)$$

Al discutir los efectos de cuantización es útil representar las muestras cuantizadas $\hat{x}(n)$ como:

$$\hat{x}[n] = x[n] + e[n]$$

donde $x[n]$ es la muestra no cuantizada y $e[n]$ es el error de

cap. II. Digitalización de la Voz.

cuantización o ruido, esto puede verse de las figs. (2.8.a) y (2.8.b) que si Δ y B son elegidos como en la ecuación (C), entonces:

$$-\frac{\Delta}{2} \leq e[n] \leq \frac{\Delta}{2}$$

Para el estudio de los efectos de cuantización, es conveniente y usual asumir un simple modelo estadístico para la cuantización del ruido, este modelo está basado en las siguientes asunciones:

1.- La cuantización del ruido es un proceso de ruido blanco estacionario, esto es:

$$E [e[n]e[n+m]] = \sigma_e^2 \quad \text{si } m=0 \\ = 0 \text{ de otra forma.}$$

2.- La cuantización del ruido está incorrelacionada con la señal de entrada, esto es:

$$E [x[n]e[n+m]] = 0 \quad \text{para toda } m.$$

3.- La distribución de los errores de cuantización es uniforme sobre cada intervalo de cuantización y después todos los intervalos son de la misma longitud:

$$p_e(e) = \frac{1}{\Delta} ; \quad -\frac{\Delta}{2} \leq e \leq \frac{\Delta}{2} \\ = 0 ; \quad \text{de otra forma.}$$

cap. II. Digitalización de la Voz.

Estas asunciones son claramente irrealistas para algunos tipos de señales, por ejemplo si la entrada es una constante para toda n , las anteriores asunciones no son apropiadas. La voz, sin embargo, es una señal complicada que fluctúa rápidamente entre todos los niveles de cuantización, y si Δ es suficientemente pequeña, la amplitud de la señal es apropiada para recorrer muchos pasos de cuantización yendo de muestra en muestra. Para este caso se han efectuado experimentos con estas asunciones obteniéndose buenos resultados.

Con este modelo estadístico para la cuantización del ruido, es posible relacionar el tamaño del ruido con el tamaño de la señal y los parámetros del cuantizador. Para este propósito es conveniente calcular el promedio señal-ruido cuantizado que se define como:

$$SNR = \frac{\sigma_x^2}{\sigma_e^2} = \frac{E[x^2[n]]}{E[e^2[n]]} = \frac{\sum x^2[n]}{\sum e^2[n]} \dots (1)$$

Si el rango dinámico del cuantizador es asumido para ser $2X_{max}$, entonces, para un cuantizador de B -bits, tenemos:

$$\Delta = \frac{2X_{max}}{2^B} \dots (2)$$

Si asumimos una distribución de amplitudes uniforme para el ruido, obtenemos:

$$\sigma_e^2 = \frac{\Delta^2}{12} = \frac{X_{\max}^2}{(3)^2 2^{2B}} \dots\dots\dots (3)$$

sustituyendo (3) en (1) obtenemos:

$$\text{SNR} = \frac{(3)^2 2^{2B}}{\left[\frac{X_{\max.}}{\sigma_x} \right]^2} \dots\dots\dots (4)$$

o expresando la señal-ruido cuantizado en unidades dB:

$$\text{SNR} = 10 \log_{10} \left[\frac{\sigma_x^2}{\sigma_e^2} \right] = 6B + 4.77 - 20 \log_{10} \left[\frac{X_{\max}}{\sigma_x} \right] \dots\dots\dots (5)$$

ahora si asumimos que el rango del cuantizador es tal que $X_{\max.} = 4\sigma_x$, entonces la ecuación (5) llega a ser:

$$\text{SNR (dB)} = 6B - 7.2$$

La ecuación anterior nos da a entender que cada bit en el código de palabra contribuye 6 dB a el promedio señal-ruido.

II.5.- Relaciones señal a ruido con compansión.

Para muchas clases de señales no existe un valor pico específico y el nivel de la señal puede, de hecho variar de una forma aleatoria. El ejemplo más común es el de la transmisión de voz con diferentes personas utilizando las mismas instalaciones de transmisión. El intervalo de transmisión de la voz puede ser hasta 40 dB, desde el murmullo de una persona que habla suavemente hasta los gritos que puede proferir otra. Es evidente que para cubrir este intervalo dinámico debe usarse efectivamente el espaciamiento no uniforme de niveles de cuantización, o, en forma equivalente, la compresión de la señal. Si esto no se pone en práctica y se emplean los niveles igualmente espaciados para cubrir el mayor espacio posible de variación de la señal, las voces suaves no se transmitirán. El mismo problema se presenta, obviamente, en la transmisión de PCM de cualquier señal analógica que se espera que cubra un determinado intervalo dinámico.

Teóricamente una variable aleatoria gaussiana, en este caso, la amplitud de la señal, puede tomar cualquier valor posible, no habiendo máximo teórico. Sin embargo, hay un 99.99% de probabilidad de que la variable caiga en el intervalo comprendido por $\pm 4\sigma$. Por tanto, puede escogerse $V = X_{max} = 4\sigma$ para mayor seguridad.

Para el ruido de cuantización cuadrático promedio se tiene:

$$E(\epsilon^2) = \frac{a^2}{12} = \frac{V^2}{3M^2}$$

donde M son los niveles de cuantización y utilizando la característica del cuantizador $a=2V/M$. Considerando una potencia de entrada de la señal σ^2 , se tiene para la relación señal a ruido:

$$SNR = \frac{\sigma^2}{E(\epsilon^2)} = 3M^2 \left[\frac{\sigma^2}{V^2} \right]$$

Como el ruido de cuantización es fijo, independiente de σ^2 , para el caso de los niveles uniformemente espaciados, la SNR es proporcional a σ^2 . A medida que el locutor reduce la intensidad de la voz, la SNR se reduce en proporción. El ruido de cuantización se hace cada vez más notorio. Este es el problema al que se ha aludido. Para disminuirlo y obtener una SNR relativamente fija, en un intervalo dinámico de señales más amplio, es necesario introducir la desuniformización de los niveles de cuantización. Una opción consiste en que en la práctica es más simple comprimir la señal en forma no lineal y después aplicar el espaciamiento uniforme de los niveles de la señal ya comprimida.

En el receptor la señal es expandida entonces con una característica inversa no lineal. Es obvio que esto equivale al

cap. II. Digitalización de la Voz.

espaciamiento no uniforme de los niveles. En la fig.(2.9) se muestra un ejemplo de esta clase, x' representa la señal de entrada y y' la salida. Según la característica elegida, los niveles equivalentes de entrada se desplazan cada vez más lejos a medida que la amplitud de entrada tiende a $\pm V$, lo cual se debe a la compresión de los valores superiores de la entrada en un intervalo relativamente menor de valores de salida.

La característica de compresión típica tiene la forma logarítmica. Una forma especialmente común que se realiza en la práctica para la transmisión telefónica de voz es la compansión de la ley μ . Esta tiene la siguiente forma:

$$y(x') = \frac{\ln(1 + \mu x' / V)}{\ln(1 + \mu)} \quad 0 \leq x' \leq V$$

la cual tiene simetría impar con respecto al punto $x'=0$. $y(x')$ varía entonces en el intervalo ± 1 . El parámetro μ que aparece puede variarse con el objeto de obtener una familia de curvas características. Nótese que para $x' \ll V/\mu$ la característica es casi lineal:

$$y(x') \approx \frac{\mu x'}{V \ln(1 + \mu)} \quad x' \ll \frac{V}{\mu}$$

A medida que x' aumenta hasta el punto V/μ , la característica del logaritmo se satura. Para $\mu \ll 1$, $y(x') \approx x'/V$, la compresión lineal desaparece y el espaciamiento uniforme de la salida y corresponde

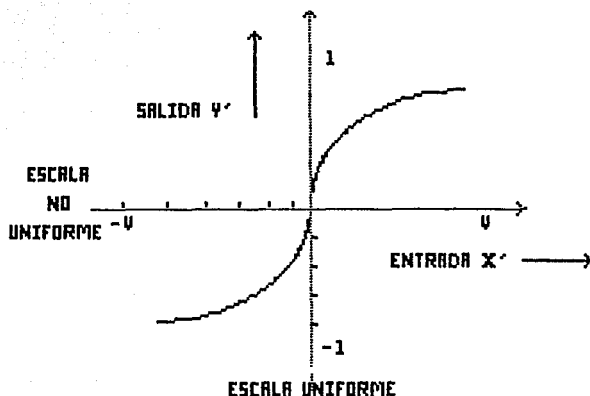


FIG. (2.9). CARACTERISTICA DEL COMPRESOR NO LINEAL

al espaciado uniforme de la entrada x' . En Estados Unidos, Bell System ha adoptado una ley de compansión $\mu=255$ para sus sistemas de portadora digitales. Esta característica en particular se dibuja para $x' \gg 0$, en la fig.(2.10). Cuando se lleva a cabo un análisis de SNR y del ruido de cuantización para la característica de compansión de la ley μ , es de utilidad definir

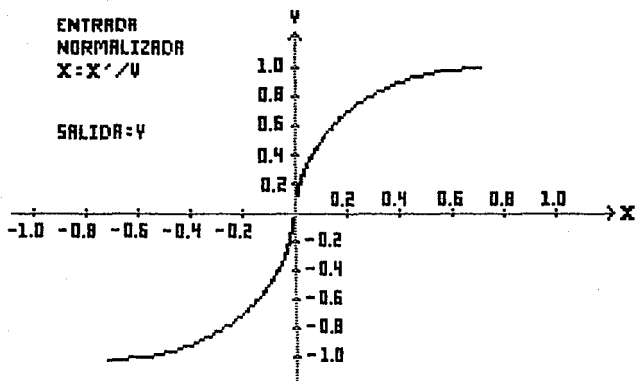


FIG. (2.10). CARACTERISTICA DEL COMPRESOR, COMPANSION DE LA LEY μ , CON $\mu=255$.

una señal de entrada normalizada $x=x'/V$, en términos de la cual, la característica del compresor de la ley μ está dada por:

$$y(x) = \frac{\ln(1+\mu x)}{\ln(1+\mu)} \quad 0 \leq x \leq 1$$

La forma de la entrada normalizada es la que se muestra en la fig. (2.10).

Se han propuesto otras leyes logarítmicas compensadoras, además de la característica de la ley μ que ya mencionamos. Un ejemplo es la ley A, que tiene la siguiente característica (la señal de entrada x se normaliza de nuevo en relación con la máxima señal de entrada):

$$y = \frac{1 + \ln Ax}{1 + \ln A} \quad \frac{1}{A} \leq x \leq 1$$

$$= \frac{Ax}{1 + \ln A} \quad 0 \leq x \leq \frac{1}{A}$$

La característica tiene simetría impar respecto a $x=0$. El valor $A=100$ es típico de los compensadores que emplean esta característica. La SNR que resulta para este valor de A tiene un intervalo dinámico más amplio que la del compensador de ley μ , con $\mu=255$, pero la SNR de salida es algo menor.

Nótese que la característica de la ley A se define lineal para x pequeña, y logarítmica para x grande. Tanto la característica de la ley μ , como la de la ley A, se desarrollan en la práctica por medio de aproximaciones lineales por tramos.

III.1.- Introducción.

El arte de comunicarse de forma que sólo el destinatario auténtico del mensaje lo entienda, es casi tan antiguo como la historia del lenguaje escrito. Este tipo de comunicación fue utilizado por los chinos, persas, babilonios, asirios, griegos y romanos.

El primer encifrador conocido fue realizado por los lacedemonios, y consistía de un bastón, de diámetro específico, en el que se enrollaba una cita escrita en un orden tal que solo podía leerse correctamente una vez enrollada. Después se utilizaron los sistemas de transposición, es decir, el cambiar el orden lógico de las letras: le siguieron los sistemas de sustitución, en estos sistemas, se cambian los números o letras por otros inventados y se escribe el mensaje con los nuevos signos en lugar de las letras usuales. Ya para el renacimiento se inventó en Roma la primera máquina cifradora, creada por Alberti, la cual consistía de dos discos concéntricos en cuyos márgenes se encuentran, por un lado, un alfabeto normal y por otro, uno con las letras en orden alterado. Basta hacer coincidir dos letras preacordadas para que el cifrador y receptor del mensaje puedan tener la comunicación deseada. Para que la relación mensaje-mensaje encriptado fuera diferente a la anterior basta recorrer una letra, así el mensaje sería escrito con la misma clave cada 28 mensajes.

La gran aportación a la criptografía la daría Vernam muchos años después, ya que utilizó la electricidad en su sistema cifrador

Cap. III. Criptografía.

apoyándose en la telegrafía. En el código Morse se utilizan señales cortas y señales largas, a las señales cortas se les relacionó con un cero y a las señales largas con un uno, además introdujo el azar a los sistemas de cifrado. Utilizando una moneda, cara representaría el cero y cruz representaría el uno, así, los valores causales de la moneda se sumarían a los reales mediante la siguiente clave: $0+0=1$, $1+0=1$, $1+1=0$. Se sumaban pues tantas tiradas de moneda como letras al mensaje, previamente en Morse y después en binario.

Durante la segunda guerra mundial se dió la importancia decisiva a la criptografía creándose las máquinas descifradoras y ganando la electrónica la batalla contra la mecánica.

El ataque a Pearl Harbour fue, según muchos, conocido con anterioridad aunque no se hiciese nada por evitarlo. La máquina "magic" que permitió tales conocimientos a los estadounidenses, descifraba con toda facilidad el código "púrpura" japonés.

El almirante japonés Yamamoto sufrió la emboscada de unos cazas americanos que conocían con anterioridad su desplazamiento en un avión de bombardeo, su ruta y su horario. Su muerte en este hecho cambió el curso de la guerra en el pacífico. De qué manera los servicios norteamericanos obtuvieron el código púrpura nunca se ha aclarado.

La máquina "enigma" que los mandos militares alemanes consideraban como imposible de descifrar, se basaba en un perfeccionamiento de otro criptógrafo famoso, a su vez

Cap. III. Criptografía.

perfeccionado del viejo sistema Alberti, que su inventor fue el presidente norteamericano Jefferson. En lugar de discos se utilizó en la máquina un cilindro formado por una serie de anillos. Sobre cada uno de éstos se graba un alfabeto código que puede, combinado con el siguiente, originar 26 códigos diferentes, a mayor número de anillos mayor número de claves. Con sólo tres se obtienen mas de 17,000 combinaciones.

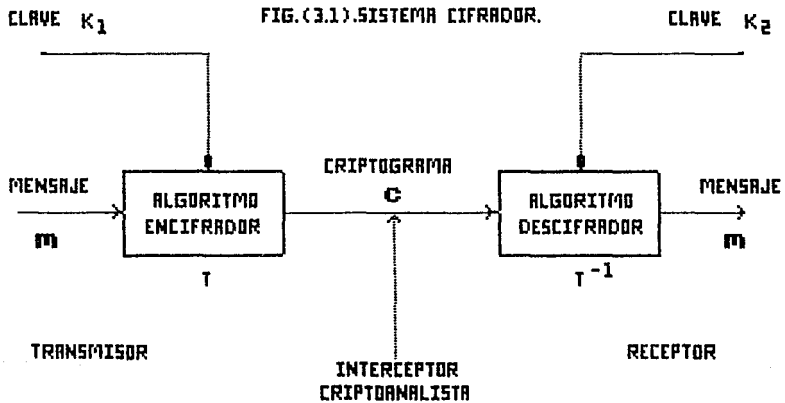
En la máquina "eniqma" el código era reversible: con el mismo sistema que se cifraba era posible el descifrado rápido. Sus creadores aseguraban que si se cambiaban los códigos cada 48 horas el enemigo necesitaría unos 42,000 años para encontrar la clave de un solo criptograma.

Sin embargo, con la primera computadora de descifrado "Bomb" creada por el británico Alan Turing, los aliados supieron siempre los secretos de sus enemigos, y de esta forma se ayudó a que los aliados finalmente ganaran la guerra.

Desde entonces la criptografía no sólo se aplica a fines bélicos, actualmente bancos, empresas, y otras instituciones se valen de redes de computadoras, télex, teléfono, etc. para sus operaciones y tienen que hacer uso de la criptografía para proteger información valiosa.

III.2.- Elementos de la Criptografía.

Un sistema de comunicación en el cual la información es confidencial y ésta no es entendida por personas no autorizadas se denomina sistema cifrador. En un sistema cifrador se pueden reconocer los siguientes elementos, observar la fig.(3.1) :



Mensaje (Plaintext): Es la información confidencial que se desea hacer llegar desde el transmisor hasta el receptor.

Cap. III. Criptografía.

Algoritmo encriptador: Es el conjunto de reglas que con una cierta clave convierten un mensaje en un criptograma.

Criptograma: Es la información que se transmitirá desde el transmisor hasta el receptor y puede ser obtenida por el interceptor.

Interceptor o criptoanalista: Es la persona que desea conocer el mensaje y que no está autorizada para ello, no es un elemento del sistema cifrador pero lo incluimos aquí ya que éste da la razón de existencia a los sistemas cifradores.

Algoritmo descifrador: Es el conjunto de reglas que con una cierta clave convierten un criptograma en mensaje original.

En la práctica la seguridad de un sistema cifrador no depende, en general, del desconocimiento del algoritmo encriptador. Depende de la facilidad que se tenga para deducir la clave k_1 que fue usada en el algoritmo encriptador, ya que el algoritmo encriptador puede recibir como entrada una clave k_1 de n claves k_i , donde n es un número muy grande.

En los sistemas cifradores en los cuales se tiene una clave única

Cap. III. Criptografía.

para obtener un criptograma se hace referencia a un código y no a un algoritmo.

En este tipo de sistemas cifrados la seguridad depende del desconocimiento que se tenga del código. Un ejemplo de este tipo de sistemas es un convertidor A/D donde existe una relación unívoca entre una señal analógica y una señal digital.

Al arte o la ciencia de diseñar sistemas cifrados se le conoce como CRIPTOGRAFIA, esta palabra tiene raíces griegas; kruptos: oculto y graphein: escribir. Al proceso de deducir el mensaje a partir del criptograma, sin conocer la llave o código, según sea el caso, se le conoce como criptoanálisis.

III.3.- Principios de la Criptografía.

La mayor influencia que tiene la criptografía moderna se debe a los trabajos realizados por Shannon en los años cuarentas. Shannon observó que la clave k_1 , fig.(3.1), determina una transformación del conjunto de todos los posibles mensajes al conjunto de todos los posibles criptogramas. Estos dos conjuntos son denominados respectivamente espacio del mensaje y espacio del criptograma.

Otra definición para un sistema cifrador de acuerdo a Shannon es: Un sistema cifrador es un conjunto de transformaciones T sobre un conjunto finito del espacio del mensaje M que dan como resultado

un conjunto finito del espacio del criptograma C.

Un requerimiento fundamental en los sistemas cifrados es que conociendo el criptograma, el algoritmo encifrador y la clave empleada, se puede obtener el mensaje original que es único. Es decir :

Si $C=t(m)$ [El mensaje m es transformado en el criptograma C por la transformación t].

Si $m = t^{-1}(C)$ [El mensaje m puede ser determinado por la transformación inversa de t sobre el criptograma C].

De lo anterior y observando la fig.(3.1), se determina que la transformación t depende del algoritmo encifrador y de la clave $K1$, mientras que la transformación inversa t^{-1} depende del algoritmo descifrador y de la clave $K2$.

El receptor conociendo C y t está habilitado para deducir m , mientras que el interceptor conoce C y probabilidades de varias t s, con dichos elementos se espera que el interceptor no pueda deducir m , teniéndose así seguridad perfecta en el sistema cifrador.

Cap. III. Criptografía.

Siendo :

$M = (M_1, M_2, \dots, M_n)$ Espacio del mensaje.
 $C = (C_1, C_2, \dots, C_n)$ Espacio del Criptograma.
 $P(M_i)$ Probabilidad de que el mensaje M_i sea transmitido.
 $P_j(M_i)$ Probabilidad de que M_i haya sido transmitido dado que C_j fue recibido por el criptoanalista.

MM subconjunto de M . $M_n \in MM$

Si $P_j(M_h) > P_j(M_i) \quad \forall M_i, M_h \in MM$.

Entonces el criptoanalista deducirá que el mensaje transmitido fue M_h .

Para que un sistema cifrador tenga seguridad perfecta se debe cumplir que :

$P_j(M_i) = P(M_i) \quad \forall M_i \text{ y } \forall j$ [La probabilidad de que M_i fue transmitido, dado que C_j fue recibido por el criptoanalista, sea igual a la probabilidad de que el mensaje M_i sea transmitido].

Ejemplifiquemos la seguridad perfecta de un sistema cifrador, primero para uno que no la tiene y después para uno que sí la tiene.

A).- Si

$M = \{ m_1, m_2 \}$	Espacio del mensaje.
$C = \{ c_1, c_2, c_3 \}$	Espacio del criptograma.
$P(m_1) = P(m_2) = 1/2$	La probabilidad de que m_1 sea transmitida es igual a la probabilidad de que m_2 sea transmitida y es igual a $1/2$.
$t_1(m_1) = c_1$	Transformación 1 sobre el mensaje 1 da como resultado el criptograma 1.
$t_1(m_2) = c_2$	Transformación 1 sobre el mensaje 2 da como resultado el criptograma 2.
$t_2(m_1) = c_1$	Transformación 2 sobre el mensaje 1 da como resultado el criptograma 1.
$t_2(m_2) = c_3$	Transformación 2 sobre el mensaje 2 da como resultado el criptograma 3.
$P_3(m_1) = 0$	Probabilidad de que el mensaje 1 fue transmitido, dado que el criptograma 3 fue recibido por el criptoanalista, es igual a cero.

como $P_3(m_1) = 0$ y $P(m_1) = 1/2 \Rightarrow P_3(m_1) \neq P(m_1)$

El sistema no tiene una seguridad perfecta.

B).- Siendo :

$m_1 = \text{"si"};$

$m_2 = \text{"no"};$

$P(m_1) = P(m_2) = 1/2$

La probabilidad de transmitir cualquiera de los dos mensajes "si" o "no" es igual a 1/2.

$t_1(m_1) = c_1;$

$t_1(m_2) = c_2;$

$t_2(m_1) = c_2;$

$t_2(m_2) = c_1;$

$P_1(m_1) = P_1(m_2);$

Al interceptar el criptoanalista el criptograma c_1 , sabe que este criptograma es el resultado de dos transformaciones $t_1(m_1)=c_1$ y $t_2(m_2)=c_1$; como ambas tienen la misma probabilidad, el interceptor no tiene base para determinar a partir de c_1 , cual de los dos mensajes "si" o "no" fue el transmitido, y por lo tanto, el sistema cifrador tiene una seguridad perfecta.

Las condiciones que se tienen que dar para que un sistema cifrador tenga seguridad perfecta los postuló Shannon y son los siguientes:

Si un sistema cifrador tiene el mismo número de mensajes, criptogramas y claves, el sistema tendrá una seguridad perfecta si y solo si :

a).- Para un mensaje m dado y un criptograma c dado hay una sola clave en la transformación t para transformar m en c , $c=t(m)$.

b).- Todas las claves tienen la misma probabilidad de ser usadas.

III.4.- Sistema Cifrador de un solo paso.

Este es un sistema particular que tiene una gran influencia sobre sistemas cifrados modernos con seguridad perfecta; es conocido como sistema one-time pad (sistema de un solo paso), observar fig.(3.2).

Sea el mensaje $M=m_1, m_2, m_3, \dots, m_n$ el mensaje a ser encifrado. (En este mensaje cada m_i es un carácter de un alfabeto y M es una palabra de dicho alfabeto).

En este sistema para cada pareja (k_i, m_i) el mezclador o algoritmo encifrador produce un carácter c_i del criptograma c . Las funciones del mezclador son del tipo :

a).- $c_i = m_i + k_i \pmod{26}$ Sumador módulo 26, para un alfabeto de 26 caracteres donde cada uno de estos caracteres es representado por un entero del 0 al 25,
 $c_i \in \{ 0 \dots 25 \}$ y
 $k_i \in \{ 0 \dots 25 \}$

b).- $c_i = m_i + k_i \pmod{2}$

Sumador módulo 2 o compuerta OR exclusiva, para mensajes codificados en forma binaria.

SECUENCIA ALATORIA DE CLAVES

$K_1, K_2, K_3, \dots, K_n$

MENSAJE
 $m = m_1, m_2, m_3, \dots, m_n$



CRIPTOGRAMA

$c = c_1, c_2, c_3, \dots, c_n$

FIG. (3.2) SISTEMA CIFRADOR DE UN SOLO PASO

A partir del sistema cifrador de un solo paso, hay esencialmente tres tipos de sistemas cifradores modernos :

- A).- Cifradores de bloques.
- B).- Cifradores de cadenas.
- C).- Cifradores de claves públicas.

III.5.-Cifradores de bloques.

En un cifrador de bloques, fig.(3.3), el mensaje $m=m_1m_2m_3\dots m_{s+1}\dots m_{2s}m_{2s+1}\dots$ se particiona en bloques de tamaño S y para encifrar el bloque $m_1m_2\dots m_s$ se usa una llave K y S funciones f_1, f_2, \dots, f_s , (normalmente diferentes), para obtener el criptograma $c_1c_2\dots c_s$.

Usando la misma clave y las mismas funciones se encifra el siguiente bloque del mensaje $m_{s+1}m_{s+2} \dots m_{2s}$.

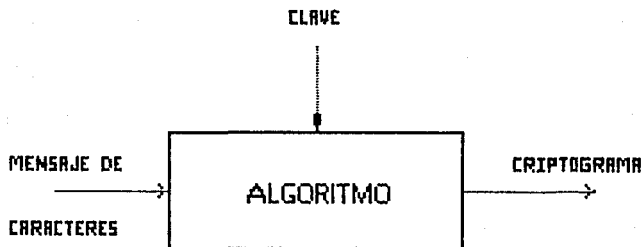


FIG. (3.3) CIFRADOR DE BLOQUES

Cap. III. Criptografía.

Así el mensaje se cifra con S caracteres a la vez por lo que el criptograma es producido en bloques de S caracteres. En la práctica es deseable que las funciones f_i sean complejas ya que le dan características de confusión y difusión al criptoanálisis. Confusión y difusión son conceptos introducidos por Shannon y se refieren a lo siguiente:

Confusión: Asegura que la relación entre un criptograma y su clave correspondiente es compleja, el objetivo es hacer más difícil el análisis estadístico que las características de la clave. Para asegurar esto, es deseable que el cifrado de todos los caracteres del mensaje dependan de la clave.

Difusión: Asegura una relación compleja entre el mensaje y el criptograma. Esto sirve para extender las estadísticas del mensaje sobre grandes porciones del criptograma. La idea es entonces asegurar que el criptoanalista necesita interceptar una gran parte del criptograma antes de que él pueda descifrarlo estadísticamente.

El sistema cifrador en el cual se basan actualmente los sistemas cifradores de bloques que hacen público el algoritmo encifrador, es el sistema conocido como sistema cifrador Feisel. En éste, el tamaño de cada bloque es $2n$, cada bloque es dividido en dos partes iguales de tamaño n y escrito como $m=(m_0,m_1)$. En este sistema cada clave define un conjunto de subclaves $\{k_1,k_2,\dots,k_n\}$ y cada subclave determina una transformación f_{k_i} la cual mapea cada bloque de tamaño n (m_0 o m_1) en otro. El mensaje μ es entonces encifrado en h iteraciones usando las siguientes reglas, observar fig. (3.4):

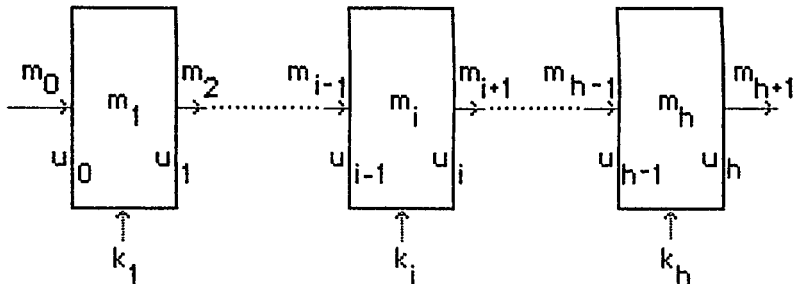


FIG. (3.4) SISTEMA CIFRADOR FEISEL

Iteración 1: $\mu_0 = (m_0, m_1) \rightarrow \mu_1 = (m_1, m_2)$
 \vdots
 Iteración i: $\mu_{i-1} = (m_{i-1}, m_i) \rightarrow \mu_i = (m_i, m_{i+1})$
 \vdots
 Iteración h: $\mu_{h-1} = (m_{h-1}, m_h) \rightarrow \mu_h = (m_h, m_{h+1})$

Donde:

$m_{i+1} = m_{i-1} + f_{ki}(m_i)$ para cada $i \geq 1$. El criptograma es entonces el block (m_h, m_{h+1}) .

Para descifrar el criptograma nótese que la ecuación:

$$m_{i+1} = m_{i-1} + f_{ki}(m_i) \dots (a)$$

también puede ser escrita como:

$$m_{i-1} = m_{i+1} - f_{ki}(m_i) \dots (b)$$

Ya que todas las sumas son módulo 2.

Entonces, la ecuación (a) se usa en el proceso de cifrado y la ecuación (b) se usa en el proceso de descifrado que en nuestro ejemplo es:

Iteración 1: $\bar{\mu}_h = (m_{h+1}, m_h) \rightarrow \bar{\mu}_{h-1} = (m_h, m_{h-1})$
 Iteración h+1-i: $\bar{\mu}_i = (m_{i+1}, m_i) \rightarrow \bar{\mu}_{i-1} = (m_i, m_{i-1})$
 Iteración h: $\bar{\mu}_1 = (m_2, m_1) \rightarrow \bar{\mu}_0 = (m_1, m_0)$

Cap. III. Criptografía.

Una característica fundamental de un cifrado de bloques es que, desde que el mensaje es encifrado en bloques, un número, (igual a la longitud del bloque), de caracteres del mensaje son encifrados simultáneamente y dependientemente. Así cada carácter del criptograma depende de un número de caracteres del mensaje, y en el receptor, cada carácter del mensaje depende de varios caracteres del criptograma. Entonces, si hay un solo error en la transmisión del criptograma habrá varios errores en el mensaje transmitido. Este efecto de que un error cause varios errores es denominado error de propagación. La magnitud del problema que dan los errores de propagación dependen del tipo del mensaje y de las características físicas del sistema de comunicación. Por ejemplo, si el mensaje es un texto en inglés, la redundancia del lenguaje permite al receptor entender y corregir el mensaje, mientras que si el mensaje son transacciones monetarias de un banco, y a los errores de propagación le añadimos problemas en el canal, el mensaje recibido no podría ser usado.

III.6.- Cifradores de cadenas.

En este tipo de cifradores no se presentan los errores de propagación. La principal característica de este tipo de cifradores reside en que el encifrado de cada bit de datos es independiente del resto del mensaje. Aparte de los trabajos de Shannon, los factores importantes en el desarrollo de este tipo de sistemas cifradores fue el auge del uso de las computadoras y el auge del uso de la microelectrónica en los años 60s.

Un cifrador de cadena típico es el mostrado en la fig.(3.5).

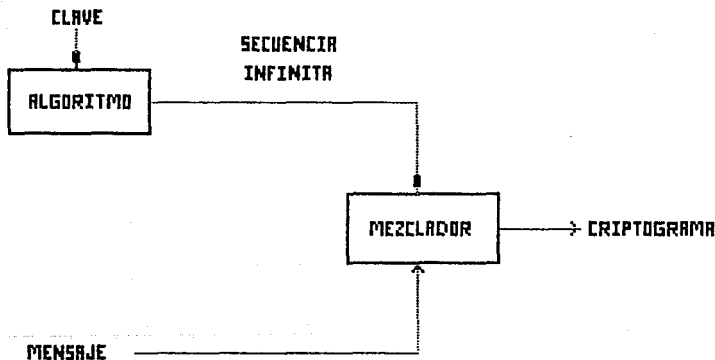


FIG. (3.5) CIFRADOR DE CADENAS

En este sistema la clave es alimentada en el algoritmo, usando éste la clave para generar una secuencia infinita (idealmente). Se hace referencia al algoritmo como el generador de cadena de llaves.

Los generadores de cadenas de llaves producen una sucesión de dígitos pseudoaleatorios. Una sucesión de dígitos pseudoaleatorios es una sucesión de dígitos en los que no hay una relación obvia entre ellos. Un generador de cadenas puede ser implementado a partir de un cifrador de bloques para que forme parte de un cifrador de cadenas, fig.(3.6).

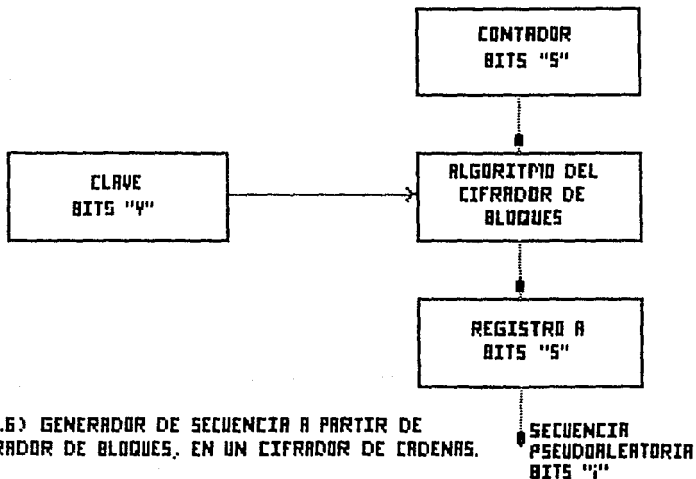


FIG. (3.6) GENERADOR DE SECUENCIA A PARTIR DE UN CIFRADOR DE BLOQUES, EN UN CIFRADOR DE CADENAS.

Cap. III. Criptografía.

En esta realización, la entrada de datos al algoritmo es remplazada por un contador, el cual se incrementa cada vez que el cifrador de bloques y el registro cumplen con un ciclo de reloj. Después de que los bits "y" de la clave entran al algoritmo, éste último produce los bits "s" y los almacena en el registro A. Cada vez que el contador es incrementado se obtienen nuevos bits "s" en el registro A. Para cualquier $i \leq S$, cada vez podemos sacar i de esos bits y de esta forma obtenemos nuestra sucesión binaria.

Es claro que las propiedades de la sucesión de salida dependen del algoritmo cifrador de bloques y de la i seleccionada, pero con un buen diseño del algoritmo, la sucesión podría parecer aleatoria. La selección de i repercute sobre los requerimientos de velocidad, ya que repercute sobre el tiempo necesario para que el algoritmo cifrador de bloques produzca una salida. Por ejemplo si $S=100$, requerimos de 10 Kbit/sec y el algoritmo tiene una máxima velocidad de 100 S's/sec, entonces tomaríamos el valor de $i=100$ y tomaríamos los 100 bits de S que produce el cifrador de bloques.

De otra manera, si nosotros requerimos 2K bit/sec, tomaríamos el valor de $i=20$, es decir, tomaríamos 20 de cada 100 bits de S .

Las sucesiones generadas por los algoritmos de sucesiones realizables son periódicas, así, si la sucesión $s_p = s_0 s_1 s_2 \dots s_p$ con periodo igual a p ($T=p$), nosotros sabemos que esta secuencia se repetirá después de p términos:

$$S_p = s_0; S_{p+1} = s_1; \text{ y para cualquier } m \quad S_{m+p} = s_m.$$

Entonces lo aconsejable es que el período $P \rightarrow \infty$ para que la

sucesión tienda a un comportamiento aleatorio y de esta forma se destruya las propiedades estadísticas del mensaje transmitido, y por tanto el criptoanalista no pueda usar el análisis estadístico para descifrar el mensaje original.

Si st es una sucesión binaria, una corrida es un conjunto de elementos de una secuencia que son idénticos y son precedidos o sucedidos por el símbolo diferente a la corrida. Por ejemplo, la sucesión:

01111000110

inicia con una corrida de un cero y le sigue una corrida de 4 unos, una corrida de 3 ceros, y finaliza con una corrida de un cero.

A la corrida de ceros se le denomina hueco (gap) y a la corrida de unos se le denomina bloque.

III.6.1.- Función de Autocorrelación.

Sea st una sucesión binaria de periodo " p " y " a " un desplazamiento constante. Comparando los primeros p términos de st con los p términos de $st+a$, A sería el número de posiciones en las cuales estas dos sucesiones son iguales y D sería el número de posiciones en las cuales no hay coincidencia. Entonces, la función de autocorrelación $C(a)$ está definida por:

$$C(a) = (A-D/p) \quad \text{y} \quad C(a+p) = C(a) \quad \text{para} \quad 0 \leq a \leq p.$$

Si $a=0$:

$$A=p \quad \text{y} \quad D=0 \quad \Rightarrow \quad C(0)=1 \quad \text{se tiene en fase la autocorrelación}$$

III.6.2.- Registros de Corrimiento.

Los registros de corrimiento son comúnmente usados para la implementación de la sucesión de claves en los cifradores de cadenas, ya que estos son fáciles de obtener en el mercado (a muy bajo precio), además de que hay técnicas matemáticas y estadísticas para analizar las sucesiones que éstos generan y, en consecuencia, se puede evaluar el nivel de seguridad del sistema de que ellos forman parte.

Un registro de corrimiento de n localidades consiste en n elementos de almacenamiento binarios conectados en serie. El contenido de cada localidad del registro cambia cada ciclo de reloj de acuerdo a la siguiente regla:

Sean s_0, s_1, \dots, s_{n-1} las localidades binarias del registro de corrimiento.

$S_i(t)$ denota el contenido de s_i después del pulso t del reloj: entonces:

$$\begin{aligned} s_i(t+1) &= s_{i+1}(t) \quad \text{para } i=0, \dots, n-2 \text{ y} \\ s_{n-1}(t+1) &= f(s_0(t), s_1(t), \dots, s_{n-1}(t)). \end{aligned}$$

La función f es llamada la función de retroalimentación del registro.

Si

$s_i = s_0(i)$ para toda i donde $0 \leq i \leq n-1$ la sucesión s_i es completamente determinada por s_0, s_1, \dots, s_{n-1} y por la función de retroalimentación f .

Si

$$f(s_0(t), s_1(t), \dots, s_{n-1}(t)) = \sum_{i=0}^{n-1} C_i s_i(t) \text{ mod } 2$$

Donde $C_i = 0$ o $C_i = 1$, se hace referencia al registro de corrimiento con retroalimentación lineal, donde las constantes c_0, c_1, \dots, c_{n-1} son denominadas coeficientes de retroalimentación. Los valores de los coeficientes serán iguales a 1 para una conexión cerrada y 0 para una conexión abierta (observar la fig.(3.7)).

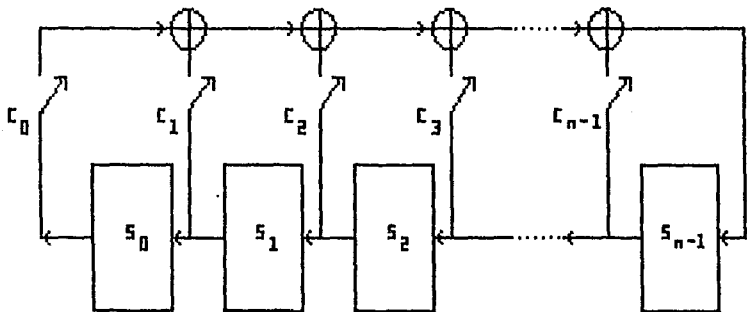


FIG.(3.7) REGISTRO DE CORRIMIENTO CON REALIMENTACION LINEAL

Al contenido de un registro de corrimiento en un tiempo dado t se le denomina estado, (esto es, a la sucesión binaria formada por las componentes), y puede ser representado por un vector binario de longitud n o como un número binario con rango de 0 a 2^{n-1} .

Consideremos un registro de corrimiento de cinco localidades con $f=s_0+s_3$, (ver la fig.(3.8)).

Si el estado inicial del registro, para $t=0$ es 01010 , el estado para $t=1$ será 10101 ($f(0,1,0,1,0)=0+1=1$, por lo que el estado para $t=1$ es 10101).

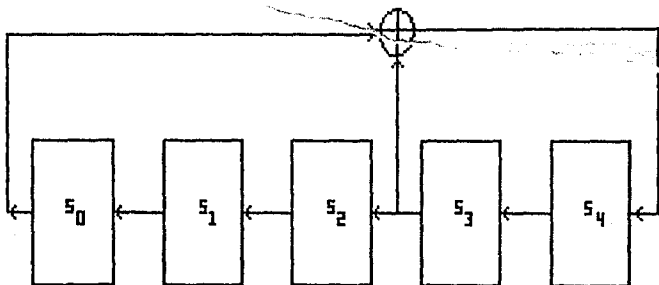


FIG. (3.8) REGISTRO DE CORRIMIENTO CON CINCO LOCALIDADES,
CON FUNCION DE RETROALIMENTACION $f = s_0 + s_3$

La secuencia de estados en el registro de corrimiento se muestra en la tabla (3.6.2). Observando la tabla, la primera repetición del estado $t=0$ ocurre cuando $t=31$, entonces la sucesión de estados tiene un periodo 31 ($=2^5-1$).

t	estado	t	estado	t	estado	t	estado
0	01010	8	01100	16	11100	24	10010
1	10101	9	11000	17	11001	25	00100
2	01011	10	10001	18	10011	26	01000
3	10111	11	00011	19	00110	27	10000
4	01110	12	00111	20	01101	28	00001
5	11101	13	01111	21	11010	29	00010
6	11011	14	11111	22	10100	30	00101
7	10110	15	11110	23	01001	31	01010

Tabla (3.6.2). Secuencia de estados para el registro de corrimiento de la fig. (3.8).

Para un registro de corrimiento de n localidades, hay 2^n diferentes estados iniciales por lo que hay 2^n diferentes secuencias binarias periódicas.

Cap. III. Criptografía.

III.6.3.- SISTEMA CIFRADOR DES (Data Encryption Standard).

Los sistemas DES son sistemas cifradores de bloques en los cuales se da a conocer el algoritmo cifrador como estandar. Al tener un algoritmo encifrador estandar se cuenta con tres ventajas:

- a).- Si un chip o un conjunto de chips son diseñados para implementar el estandar, los costos se ven reducidos.
- b).- La existencia de un estandar incrementa el número de usuarios del sistema cifrador ya que al convertirse un algoritmo encifrador en estandar, da confiabilidad a la seguridad del sistema.
- c).- Existe una compatibilidad entre diversos sistemas de comunicación que usan el sistema cifrador DES.

En el diseño de sistemas DES se tienen que tomar en cuenta las siguientes observaciones:

- a).- La seguridad del sistema dependerá de la problemática que tenga el criptoanalista para determinar la clave usada.
- b).- Si un criptoanalista puede interceptar parte de una comunicación en un determinado tiempo, entonces el criptoanalista podrá interceptar otras comunicaciones.
- c).- Si el criptoanalista conoce la representación en plaintext de una parte de un criptograma, por deducción podrá conocer el mensaje completo.

III.7.- Sistemas de clave pública.

La idea básica en los sistemas de clave pública se refiere a que todos los usuarios del sistema tengan un par de claves, una clave secreta (privada) y otra clave hecha pública. La clave pública se utiliza en el algoritmo encifrador para convertir el mensaje en criptograma, mientras que la clave privada se utiliza en el algoritmo descifrador para convertir el criptograma de nuevo al mensaje original. La idea de estos tipos de sistemas se basan en el sistema creado en 1978 por Rwest, Shamir y Ademan, que es conocido como sistema RSA.

En este sistema el mensaje se divide en bloques codificados entre el 0 y $n-1$. Donde n es un número entero que conforma la clave pública. Siendo m_i el bloque i del mensaje, donde $0 \leq i \leq n-1$, el correspondiente bloque i del criptograma, denominado C_i , se obtiene mediante la fórmula:

$$C_i = m_i^h \pmod{n}$$

La fórmula inversa para obtener el bloque i del mensaje a partir del bloque i del criptograma es:

$$m_i = C_i^d \pmod{n}$$

donde d es la clave privada.

Cap. III. Criptografía.

Un requerimiento para complicar la labor del criptoanalista que desea encontrar d , es hacer que h , n y la propia d sean números enteros grandes. Si bien es cierto que n es del dominio público, pero $n=p.q$, donde p y q son números grandes enteros y primos, los cuales, son secretos y se presentan en las siguientes igualdades que sirven para elegir h y d :

$$n = p q$$

$$\psi = (p-1)(q-1)$$

$$hd \bmod \psi = 1 \quad (\text{se elige } h \text{ y se encuentra } d).$$

Como ejemplo:

sean

$$i=0; \quad m=2; \quad p=5; \quad q=11; \quad n=p.q=(5)(11)=55;$$

$$\psi = (5-1)(11-1) = 40;$$

$$\text{si } h=7; \quad d=23 \quad ; \quad (h)(d)=161$$

$$161 \bmod 40=1$$

para obtener el bloque del criptograma:

$$C_i = m_i^h \pmod{n}$$

$$C_0 = m_0^7 \pmod{55}$$

$$C_0 = 2^7 \pmod{55} = 18$$

para recuperar el bloque del mensaje asociado:

$$m_i = C_i^d \pmod{n}$$

$$m_o = 18^{2^3} \pmod{55}$$

$$m_o = 18^4 \cdot 18^2 \cdot 18^4 \cdot 18^{16}$$

$$m_o = 18 \cdot 49 \cdot 36 \cdot 26 \pmod{55}$$

$$m_o = 2$$

IV.1.- Introducción.

Para cifrar las señales de voz se puede operar en el dominio del tiempo, en el dominio de la frecuencia o en las amplitudes que conforman la señal.

El procesamiento al que se somete una señal analógica de voz para cifrarse digitalmente se muestra en el sistema de la fig. (4.1).

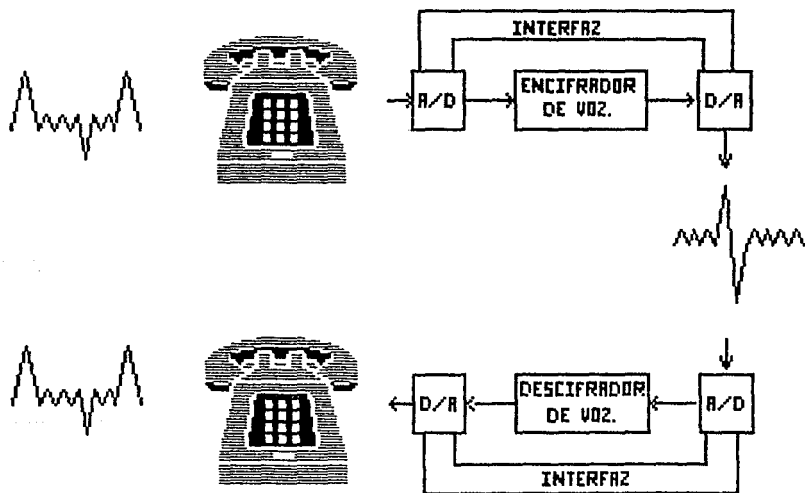


FIG. (4.1). SISTEMA CIFRADOR DE VOZ.

ESTA TESIS NO DEBE
SALIR DE LA BIBLIOTECA

cap. IV. Criptografía Digital de Voz.

Como se observa, en la parte digital de este sistema se realiza el procesamiento de cifrado al que es sometida la señal de voz. El procesamiento digital de señales analógicas, ha tenido un gran auge debido al gran desarrollo tecnológico que ha tenido la computación y la electrónica digital, con el diseño de microprocesadores para el procesamiento digital de señales se puede: diseñar filtros digitales, aplicar algoritmos que requieren de intensivos cálculos matemáticos, aplicar transformadas rápidas de Fourier (FFT), etc., todo esto en tiempo real. De ahí la importancia que tiene el procesamiento digital de señales.

En este capítulo se presentará la teoría de los métodos más importantes de criptografía digital de voz, los principios de la criptografía digital de voz son los principios de la criptografía digital de datos mostrados en el capítulo anterior.

IV.2.- Criptografía en el dominio de la frecuencia.

IV.2.1.- Inversión en Frecuencia.

La inversión en frecuencia es un sistema clásico de cifrado que empezó a utilizarse en la primera mitad de este siglo, actualmente ya no se usa como un sistema cifrador, ya que presenta un nivel bajo de seguridad, pero se utiliza en adición a otras técnicas modernas de cifrado.

Su implementación resulta más sencilla de lo que pareciera, como se verá más adelante. La inversión en frecuencia, como literalmente se especifica, es mover las componentes de frecuencia altas de la señal a las correspondientes frecuencias bajas, y las componentes de frecuencias bajas a las correspondientes frecuencias altas, esta acción se presenta en la fig. (4.2).

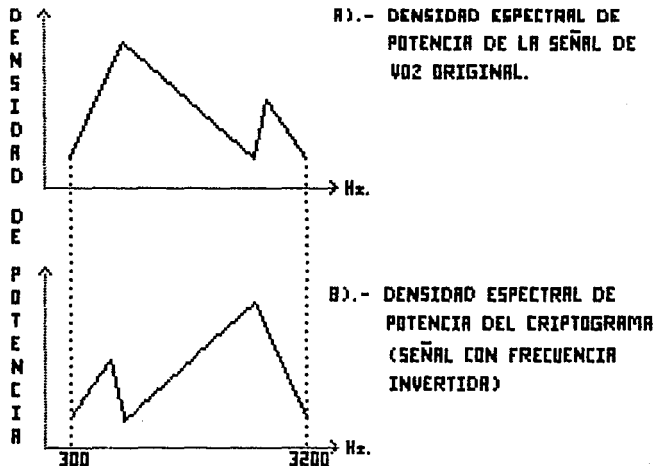


FIG. (4.2) INVERSION EN FRECUENCIA.

cap. IV. Criptografía Digital de Vox.

En un principio se pensaría que, para obtener la frecuencia invertida de una señal discreta de n muestras, primero se obtendría la transformada discreta de Fourier (DFT) de las n muestras de la señal, lo cual nos daría n componentes de frecuencia, y después se realizaría el proceso de inversión de la siguiente manera:

<u>No. de componentes</u> <u>en frecuencia.</u>	<u>nueva posición de</u> <u>la inversión.</u>
0	N-1
1	N-2
2	N-3
⋮	⋮
⋮	⋮
N-3	2
N-2	1
N-1	0

Pero la acción anterior no tiene el efecto esperado, esto se comprueba a partir de las dos siguientes aseveraciones:

- a).- La inversión de la DFT de una señal, excluyendo la primera componente, causa una correspondiente inversión en el tiempo de la señal, excluyendo la primera muestra.
- b).- La inversión de la frecuencia analógica se obtiene si las muestras impares de la señal son multiplicadas por -1 .

Por lo tanto, la inversión de la DFT de una señal no tiene ningún uso para la encriptación de voz. Ya que no representa la inversión de la frecuencia analógica.

Justifiquemos analíticamente las dos aseveraciones anteriores:

a).- Sea: $x(0), x(1), \dots, x(N-1)$ las N muestras de una señal en el tiempo discreto

y

$X(0), X(1), \dots, X(N-1)$ las N componentes de la DFT de la señal.

con $N=4$:

La transformación $x(i) \longrightarrow X(i)$ para $0 \leq i \leq 3$ está dada por:

$$F = \begin{bmatrix} 1 & 1 & 1 & 1 \\ 1 & W & W^2 & W^3 \\ 1 & W^2 & W^4 & W^0 \\ 1 & W^3 & W^0 & W^0 \end{bmatrix}$$

donde:

$$W = e^{-j \frac{2\pi}{N}} \quad \text{con } N=4 \quad \rightarrow \quad W = e^{-j \frac{2\pi}{4}} = e^{-j \frac{\pi}{2}}$$

$$W = \cos \frac{\pi}{2} - j \operatorname{sen} \frac{\pi}{2} = -j$$

y la transformación $X(i) \longrightarrow x(i)$ para $0 \leq i \leq 3$

esta dada por:

$$F^{-1} = \frac{1}{N} \begin{bmatrix} 1 & 1 & 1 & 1 \\ 1 & W^{-1} & W^{-2} & W^{-3} \\ 1 & W^{-2} & W^{-4} & W^{-5} \\ 1 & W^{-3} & W^{-5} & W^{-6} \end{bmatrix}$$

ya que:

$$X = FX \quad X = F^{-1}F_x \quad F^{-1}F = I$$

$$\begin{bmatrix} 1 & 1 & 1 & 1 \\ 1 & W & W^2 & W^3 \\ 1 & W^2 & W^4 & W^5 \\ 1 & W^3 & W^5 & W^6 \end{bmatrix} \frac{1}{N} \begin{bmatrix} 1 & 1 & 1 & 1 \\ 1 & W^{-1} & W^{-2} & W^{-3} \\ 1 & W^{-2} & W^{-4} & W^{-5} \\ 1 & W^{-3} & W^{-5} & W^{-6} \end{bmatrix} = \begin{bmatrix} 1 & 0 & 0 & 0 \\ 0 & 1 & 0 & 0 \\ 0 & 0 & 1 & 0 \\ 0 & 0 & 0 & 1 \end{bmatrix} = F^{-1}F$$

con:

$$x = \begin{bmatrix} 4 \\ 2 \\ 1 \\ 3 \end{bmatrix} \quad P = \begin{bmatrix} 1 & 0 & 0 & 0 \\ 0 & 0 & 1 & 0 \\ 0 & 1 & 0 & 0 \\ 1 & 0 & 0 & 0 \end{bmatrix}$$

cap. IV. Criptografía Digital de Voz.

invirtiendo en el tiempo:

$$x_{it} = Px = \begin{bmatrix} 1 & 0 & 0 & 0 \\ 0 & 0 & 0 & 1 \\ 0 & 0 & 1 & 0 \\ 0 & 1 & 0 & 0 \end{bmatrix} \begin{bmatrix} 4 \\ 2 \\ 1 \\ 3 \end{bmatrix} = \begin{bmatrix} 4 \\ 3 \\ 1 \\ 2 \end{bmatrix}$$

invirtiendo en la frecuencia:

$$x_{if} = F^{-1}PFx$$

$$X = Fx = \begin{bmatrix} 1 & 1 & 1 & 1 \\ 1 & W & W^2 & W^3 \\ 1 & W^2 & W^4 & W^0 \\ 1 & W^3 & W^0 & W^1 \end{bmatrix} \begin{bmatrix} 4 \\ 2 \\ 1 \\ 3 \end{bmatrix} = \begin{bmatrix} 4 + 2 + 1 + 3 \\ 4 + 2W + W^2 + 3W^3 \\ 4 + 2W^2 + W^4 + 3W^0 \\ 4 + 2W^3 + W^0 + 3W^1 \end{bmatrix}$$

tomando los siguientes valores para las W:

$$W = -j \quad W^2 = -1 \quad W^3 = j \quad W^4 = 1 \quad W^0 = -1 \quad W^1 = -j$$

tendremos la siguiente matriz:

$$X = Fx = \begin{bmatrix} 10 \\ 4-2j-1+3j \\ 4-2+1-3 \\ 4+2j+1-3j \end{bmatrix} = \begin{bmatrix} 10 \\ 3+j \\ 0 \\ 3-j \end{bmatrix}$$

$$PFx = \begin{bmatrix} 1 & 0 & 0 & 0 \\ 0 & 0 & 0 & 1 \\ 0 & 0 & 1 & 0 \\ 0 & 1 & 0 & 0 \end{bmatrix} \begin{bmatrix} 10 \\ 3+j \\ 0 \\ 3-j \end{bmatrix} = \begin{bmatrix} 10 \\ 3-j \\ 0 \\ 3+j \end{bmatrix}$$

$$x_{if} = \frac{1}{N} \begin{bmatrix} 1 & 1 & 1 & 1 \\ 1 & W^{-1} & W^{-2} & W^{-3} \\ 1 & W^{-2} & W^{-4} & W^{-0} \\ 1 & W^{-3} & W^{-0} & W^{-1} \end{bmatrix} \begin{bmatrix} 10 \\ 3-j \\ 0 \\ 3+j \end{bmatrix} =$$

$$= \begin{bmatrix} 10 + 3-j + 0 + 3 + j \\ 10 + (3-j)(-1/j) + 0 + (3+j)(1/j) \\ 10 + (3-j)(-1) + 0 + (3+j)(-1) \\ 10 + (3-j)(1/j) + 0 + (3+j)(-1/j) \end{bmatrix}$$

$$x_{if} = \frac{1}{4} \begin{bmatrix} 16 \\ 10 - 3/J + 1 + 3/J + 1 \\ 10 - 3 + J - 3 - J \\ 10 + 3/J - 1 - 3/J - 1 \end{bmatrix} = \frac{1}{4} \begin{bmatrix} 16 \\ 12 \\ 4 \\ 8 \end{bmatrix} = \begin{bmatrix} 4 \\ 3 \\ 1 \\ 2 \end{bmatrix}$$

$$x_{if} = x_{it} = \begin{bmatrix} 4 \\ 3 \\ 1 \\ 2 \end{bmatrix}$$

La igualdad $x_{if} = x_{it}$, (inversión en el tiempo = inversión en frecuencia excluyendo la primera muestra en ambos dominios), se debe a la característica de simetría que tiene la DFT de una señal real, esto es: $|X(r)| = |X(N-r)|$ ya que:

$$*X(r) = X(N-r) \quad \text{para } r=0,1,2,\dots,N-1$$

donde el pivote de simetría es la
muestra $N/2$.

- b).- Si la inversión de la DFT no representa la inversión de la frecuencia analógica, veamos a través de la DFT como podemos representar dicha inversión de frecuencia analógica de una señal real.

cap. IV. Criptografía Digital de Voz.

sea:

Una señal periódica cada N muestras

N = número de muestras de la señal por periodo.

N_s = número de muestras por segundo.

$T = N/N_s$ Periodo de la señal.

$f \geq N_s/N$ Frecuencia fundamental de la señal.

entonces:

Del teorema del muestreo, nuestra señal de banda limitada tendrá un rango de 0 a $N_s/2$ Hz., y la componente de frecuencia más alta de la DFT corresponde a la armónica N_s/N , la cual ocurre a $1/2 N_s$ Hz., dividiendo el ancho de banda entre la frecuencia fundamental, resulta:

$$(N_s/2)/(N_s/N) = N/2$$

Donde $N/2$ es la armónica de mayor frecuencia y a la vez el pivote de simetría:

$X(0)$ Corresponde a la componente espectral de 0 Hz.

$X(1)$ Corresponde a la componente espectral de N_s/N Hz.

$X(N/2)$ Corresponde a la componente espectral de $N_s/2$ Hz.

cap. IV. Criptografía Digital de Voz.

Por lo tanto, la inversión de frecuencia analógica de una señal de n muestras se obtiene al realizar una permutación cíclica a la derecha de $N/2$ muestras en la DFT, observar fig.(4.3).

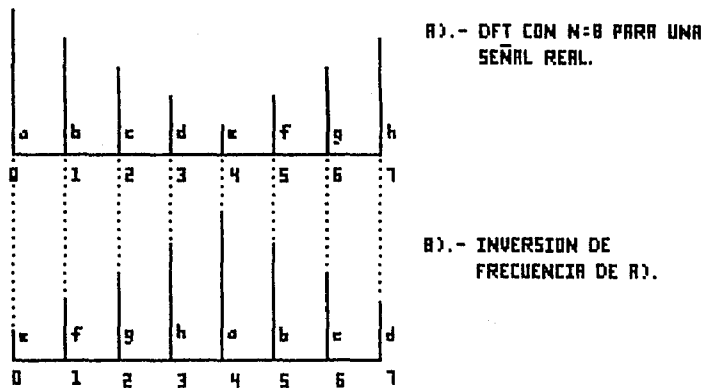


FIG. (4.3) INVERSIÓN DE FRECUENCIA ANALÓGICA UTILIZANDO DFT.

Esta permutación cíclica se realiza al multiplicar la DFT por la matriz de permutación P dada por:

$$P = \begin{bmatrix} 0 & 0 & 0 & \dots & 0 & 1 & 0 & 0 & \dots & 0 \\ 0 & 0 & 0 & \dots & 0 & 0 & 1 & 0 & \dots & 0 \\ 0 & 0 & 0 & \dots & 0 & 0 & 0 & 1 & \dots & 0 \\ \vdots & & & & & & & & & \\ \vdots & & & & & & & & & \\ 0 & 0 & 0 & & 0 & 0 & 0 & 0 & & 1 \\ 1 & 0 & 0 & & 0 & 0 & 0 & 0 & & 0 \\ 0 & 1 & 0 & & 0 & 0 & 0 & 0 & & 0 \\ 0 & 0 & 1 & & 0 & 0 & 0 & 0 & & 0 \\ \vdots & & & & & & & & & \\ \vdots & & & & & & & & & \\ 0 & 0 & 0 & & 1 & 0 & 0 & 0 & & 0 \end{bmatrix}$$

N/2
N/2

$\left. \begin{array}{l} \text{---} \\ \text{---} \end{array} \right\} > N/2$
 $\left. \begin{array}{l} \text{---} \\ \text{---} \end{array} \right\} > N/2$

siendo: $N=4$ y

$$x = \begin{bmatrix} 2 \\ 3 \\ 4 \\ 5 \end{bmatrix}$$

$$x_{LF} = F^{-1} P F x$$

$$F^{-1} P = \frac{1}{4} \begin{bmatrix} 1 & 1 & 1 & 1 \\ 1 & W^{-1} & W^{-2} & W^{-3} \\ 1 & W^{-2} & W^{-4} & W^{-0} \\ 1 & W^{-3} & W^{-0} & W^{-1} \end{bmatrix} \begin{bmatrix} 0 & 0 & 1 & 0 \\ 0 & 0 & 0 & 1 \\ 1 & 0 & 0 & 0 \\ 0 & 1 & 0 & 0 \end{bmatrix} = \frac{1}{4} \begin{bmatrix} 1 & 1 & 1 & 1 \\ W^{-2} & W^{-3} & 1 & W^{-1} \\ W^{-4} & W^{-0} & 1 & W^{-2} \\ W^{-0} & W^{-1} & 1 & W^{-3} \end{bmatrix}$$

cap. IV. Criptografía Digital de Voz.

$$F^{-1}PF = \frac{1}{4} \begin{bmatrix} 1 & 1 & 1 & 1 \\ W^{-2} & W^{-3} & 1 & W^{-1} \\ W^{-4} & W^{-0} & 1 & W^{-2} \\ W^{-0} & W^{-4} & 1 & W^{-3} \end{bmatrix} \begin{bmatrix} 1 & 1 & 1 & 1 \\ 1 & W^1 & W^2 & W^3 \\ 1 & W^2 & W^4 & W^0 \\ 1 & W^3 & W^0 & W^0 \end{bmatrix} =$$

$$= \frac{1}{4} \begin{bmatrix} 4 & 1+W^1+W^2+W^3 & 1+W^2+W^4+W^0 & 1+W^3+W^0+W^0 \\ W^{-2}+W^{-3}+1+W^{-1} & W^{-2}+W^{-2}+W^2+W^2 & W^{-2}+W^{-1}+W^4+W^0 & W^{-2}+1+W^4+W^3 \\ W^{-4}+W^{-0}+1+W^{-2} & W^{-4}+W^{-0}+W^2+W^0 & W^{-4}+W^{-4}+W^4+W^4 & W^{-4}+W^{-3}+W^0+W^7 \\ W^{-0}+W^{-0}+1+W^{-3} & W^{-0}+W^{-0}+W^2+1 & W^{-0}+W^{-7}+W^4+W^3 & W^{-0}+W^{-0}+W^0+W^0 \end{bmatrix}$$

$$F^{-1}PF = \frac{1}{4} \begin{bmatrix} 4 & 1-j-1+j & 1-1+1-1 & 1+j-1-j \\ -1+1/j+1-1/j & -1-1-1-1 & -1-1/j+1-j & -1+1-1+1 \\ 1-1+1-1 & 1-1/j-1-j & 1+1+1+1 & 1+1/j-1+j \\ -1-1/j+1+1/j & -1+1-1+1 & -1+1/j+1+j & -1-1-1-1 \end{bmatrix}$$

como: $-1/j - j = 0$ y $1/j + j = 0$

$$F^{-1}PF = \begin{bmatrix} 1 & 0 & 0 & 0 \\ 0 & -1 & 0 & 0 \\ 0 & 0 & 1 & 0 \\ 0 & 0 & 0 & -1 \end{bmatrix}$$

cap. IV. Criptografía Digital de Voz.

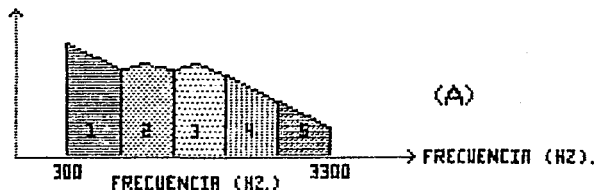
$$x_{ir} = \begin{bmatrix} 1 & 0 & 0 & 0 \\ 0 & -1 & 0 & 0 \\ 0 & 0 & 1 & 0 \\ 0 & 0 & 0 & -1 \end{bmatrix} \begin{bmatrix} 2 \\ 3 \\ 4 \\ 5 \end{bmatrix} = \begin{bmatrix} 2 \\ -3 \\ 4 \\ -5 \end{bmatrix}$$

Por lo tanto comprobamos que para invertir la frecuencia de una señal de N muestras basta con multiplicar por -1 las muestras impares de la señal.

IV.2.2.- Reordenadores de Bandas.

En la técnica de este tipo de sistemas cifradores, al obtener el espectro de frecuencia del bloque del mensaje de voz a encifrar, se le divide en sub-bandas, las cuales, son reordenadas para obtener el espectro del correspondiente bloque del criptograma. En un caso más sofisticado algunas de las sub-bandas deben ser invertidas. La fig. (4.4) ilustra un ejemplo para un bloque de un mensaje de voz de 5 sub-bandas.

DENSIDAD DE POTENCIA



DENSIDAD DE POTENCIA

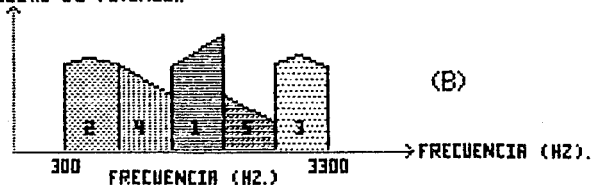


FIG. (4.4) CORTES DE BANDAS. (A) ORDEN ORIGINAL DE LAS SUB-BANDAS
(B) ESPECTRO REORDENADO.

IV.2.2.a).- Diseño de reordenadores de bandas a través de moduladores balanceados (BM).

Como ejemplo, sea el mensaje de voz una señal de banda limitada con ancho de banda de 3 KHz. en el rango de 300 a 3300 Hz., utilizando 5 sub-bandas hay $5!$ posibles reordenamientos y 2^5 decisiones para cuántas y cuáles sub-bandas serán invertidas. Por lo tanto, hay $5! \times 2^5 = 3840$ posibles reordenamientos de un bloque, siendo el ancho de banda de la señal 3000 Hz., el ancho de banda de las sub-bandas será de $3000/5=600$ Hz., la implementación del reordenador de bandas es mostrado en la fig.(4.5).

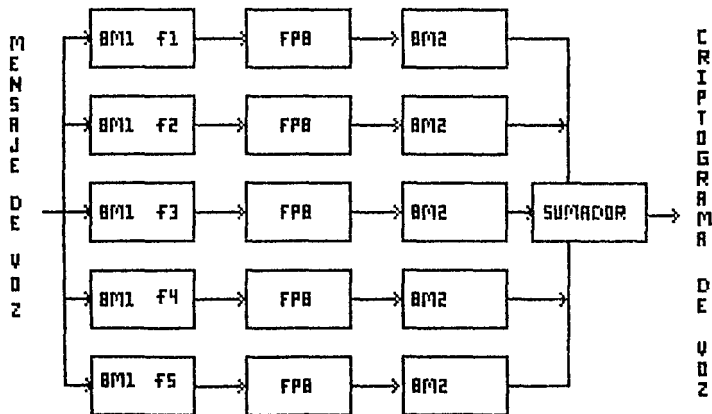


FIG. (4.5) REORDENADOR DE BANDAS EN FRECUENCIA
A TRAVES DE MODULADORES BALANCEADOS

cap. IV. Criptografía Digital de Voz.

En este sistema se requerirá de excelentes filtros paso-bandas con un ancho de banda de 600 Hz. centrados en 10 KHz. El principio de funcionamiento es el siguiente:

1).- Modular el mensaje de voz en los moduladores BM1, y con los corrimientos de frecuencia f_1, f_2, f_3, f_4, f_5 , todas las sub-bandas quedarán centradas en 10 KHz., esto se muestra en la fig.(4.6).

2).- Filtrar la señal en filtro paso-bajas (FPB), y así, en la salida de cada uno de los filtros, habrá una sub-banda diferente.

3).- Modular cada una de las sub-bandas en BM2 con corrimientos de frecuencia $f_{11}, f_{12}, f_{13}, f_{14}, f_{15}$, con lo cual se llevará a cada una de las sub-bandas a una banda diferente de la cual se encontraba.

4).- Sumar las sub-bandas.

cap. IV. Criptografía Digital de Voz.

La tabla (4.1) muestra los corrimientos de frecuencia requeridos para cada una de las sub-bandas.

No. Sub-banda.	Corrimiento de frecuencia.	
	Sin inversión (Khz.)	Con inversión (Khz.)
1	9.4 f_1, f_{11}	10.6 f_1
2	8.8 f_2, f_{12}	11.2 f_2
3	8.2 f_3, f_{13}	11.8 f_3
4	7.6 f_4, f_{14}	12.4 f_4
5	7.0 f_5, f_{15}	13.0 f_5

Tabla (4.1). Corrimientos de frecuencias para un reordenador de 5 sub-bandas.

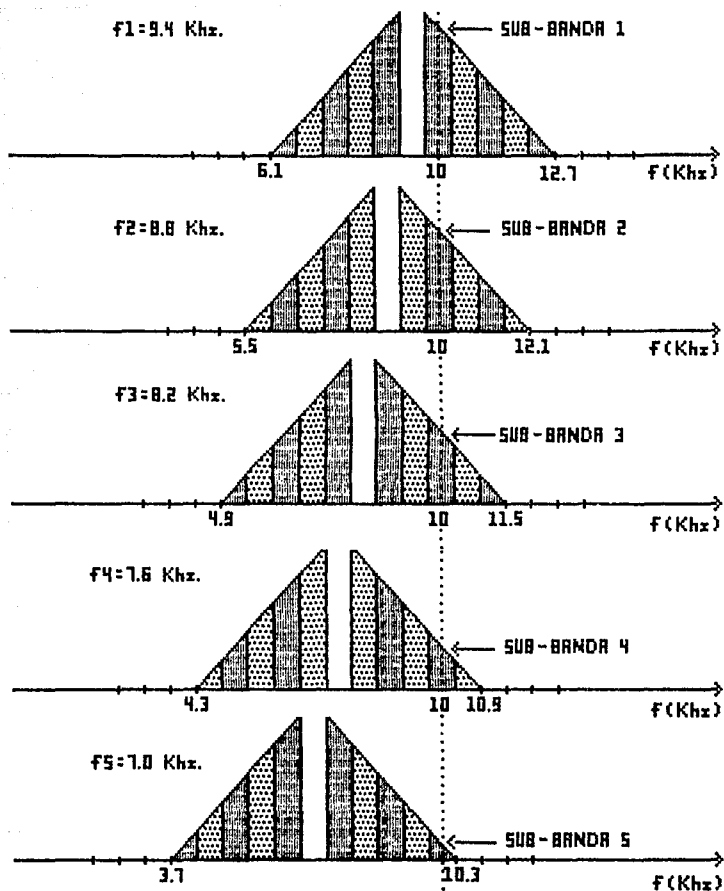


FIG. (4.6) CORRIMIENTOS DE FRECUENCIA PARA CENTRAR TODAS LAS SUB-BANDAS A 10 KHz.

El mayor corrimiento de frecuencia utilizado cuando hay inversión, se debe a que trabajamos con la parte baja de la banda entregada por el modulador, mientras que cuando no hay inversión, trabajamos en la parte alta de la banda. La fig.(4.7) muestra la densidad espectral de potencia de la salida de un modulador balanceado.

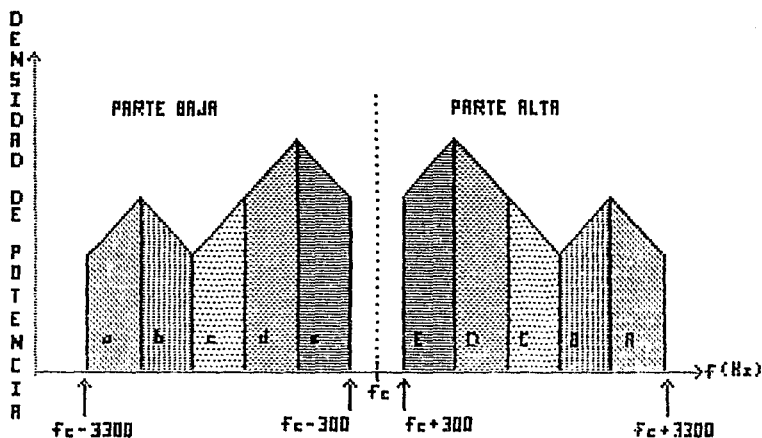


FIG. (4.7) DENSIDAD ESPECTRAL DE POTENCIA DE LA SALIDA DE UN MODULADOR BALANCEADO.

cap. IV. Criptografía Digital de Voz.

Como se observa en la figura, la parte alta y la parte baja son simétricas respecto a un espejo sobre f_c , (frecuencia de corrimiento). Si a cada parte la dividimos en sub-bandas de 600 Hz. obtendremos las sub-bandas a, b, c, d y e en la parte baja y las sub-bandas A, B, C, D y E en la parte alta. Como puede observarse, las sub-bandas de la parte baja son respectivamente iguales a las sub-bandas de la parte alta, pero invertidas, esto es para nuestro ejemplo, si al espectro entregado por el modulador además del corrimiento de 9.4 Khz., le agregamos un corrimiento de 1.2 Khz., en el rango de frecuencias de 9.7 - 10.3 Khz. tendremos la sub-banda i, pero ésta invertida, observar la tabla (4.1). Para recorrer las sub-bandas a la frecuencia 9.7- 10.3Khz., se utilizan los corrimientos f_1, f_2, f_3, f_4, f_5 , de inversión o de no inversión, según sea el caso, pero para asignarles su nueva posición a las sub-bandas en el rango 300 - 3300 Khz., se usarán los corrimientos $f_{1i}, f_{2i}, f_{3i}, f_{4i}, f_{5i}$, los cuales tendrán valores univocos de los corrimientos sin inversión y negativos. Esto es, el ejemplo de la fig.(4.4) se genera a través del proceso señalado en la tabla (4.2):

cap. IV. Criptografía Digital de Voz.

No. Sub-banda.	Esta invertida Si/No.	Corrimiento en KHz. a la banda 9.7 - 10.3 KHz.	Reordenamiento corrimiento neg. en KHz. a la banda 0.3 - 3.3 KHz.
1	Si	$f_1=10.6$	$f_{11}=f_2=8.8$
2	No	$f_2=8.8$	$f_{12}=f_4=7.6$
3	Si	$f_3=11.8$	$f_{13}=f_1=9.4$
4	No	$f_4=7.6$	$f_{14}=f_5=7.0$
5	Si	$f_5=13.0$	$f_{15}=f_3=8.2$

Tabla (4.2). Proceso de generación del ejemplo de la fig.(4.4).

La selección de los corrimientos f_i en el reordenamiento utilizan una clave, la cual puede ser utilizada de tres formas:

- a).- Usar una clave para seleccionar un reordenamiento particular.
- b).- Usar una clave para seleccionar un conjunto de reordenamientos y entonces utilizar este conjunto secuencialmente.
- c).- Usar una clave que inicializará un generador de números pseudoaleatorios, el cual seleccionará un reordenamiento.

Para implementar la forma en que se utilizará la clave se recurre a las formas vistas en el capítulo III.

IV.2.3.- Reordenadores de espectro de frecuencia utilizando DFT.

Este tipo de sistemas realizan un procesamiento digital de señales muy rápido y son considerados como la generalización de los sistemas reordenadores de bandas. Estos sistemas, dada la velocidad que requieren para un procesamiento en tiempo real, necesitan de recursos de cómputo especializados para el procesamiento digital de señales.

El principio de funcionamiento de los sistemas reordenadores de espectros es el siguiente:

- A).- Se tiene un bloque del mensaje de n muestras.
- B).- Se le aplica DFT al mensaje.
- C).- Se reordena la DFT.
- D).- A la DFT reordenada se le aplica DFT^{-1} para obtener el criptograma a transmitir.

Como el mensaje es una señal real, se requiere que el criptograma también sea una señal real, lo cual nos da restricciones en el reordenamiento de la DFT.

Como se sabe, la DFT de una señal real cumple con las reglas de simetría:

Siendo

$x[r]$ el conjunto de muestras de la señal y

$X[r]$ el conjunto de muestras de la DFT de

$x[n]$ para $r = 0, 1, \dots, N-1$.

$$|X(r)| = |X(N-r)| \quad y$$

$$*X(N-r)$$

Entonces, para la DFT reordenada se deben seguir cumpliendo estas reglas. Sea por ejemplo una señal de $N=8$:

N	Valores Discretos de la señal.	DFT Asociada.		
		Amplitud	Valor Real	Valor Imag.
1	23	356.00	356	0 i
2	45	121.94	-92	-79 i
3	23	119.71	13	119 i
4	12	18.10	-18	5 i
5	78	22.00	22	0 i
6	98	18.10	-18	-5 i
7	65	119.71	13	-119 i
8	12	121.94	-92	79 i

cap. IV. Criptografía Digital de Voz.

Como podrá observarse, el par de valores de la DFT que sirven como eje de simetría son los correspondientes a $N=5$:

	Valor Real.	Valor Imaginario.
	356	0
herr.1, posc.1	-92	-79
herr.2, posc.2	13	119
herr.3, posc.3	-18	5
	22	0
	-18	-5
	13	-119
	-92	79

Las únicas muestras que no están asociadas a una herradura son la 1 y la 5 que son respectivamente la 1a. y la del eje de simetría, y como se observa, ninguna de estas tiene componente imaginaria, y solo pueden intercambiarse entre sí. Mientras que el reordenamiento de las muestras restantes se hace al cambiar de posición las herraduras, por ejemplo:

DFT REORDENADA:

	Valor Real.	Valor Imaginario.
	22	0
herr.3, posc.1	-18	-5
herr.1, posc.2	-92	-79
herr.2, posc.3	13	-119
	356	0
	13	119
	-92	79
	-18	5

como se muestra:

- La herradura 1 fue reordenada a la posición 2 sin voltearla.
- La herradura 2 fue reordenada a la posición 3 volteándola.
- La herradura 3 fue reordenada a la posición 1 volteándola.
- La muestra 1 fue intercambiada con la muestra 5.

IV.3. Criptografía en el dominio del tiempo.

IV.3.1.- Inversión en el tiempo.

En los sistemas cifradores que utilizan la técnica de inversión segmentada en el tiempo, las muestras del mensaje de voz son agrupadas en segmentos de tiempo que son almacenados en memoria, cada vez que se completan las muestras de un segmento, éstas son entregadas al convertidor D/A en orden invertido, obteniéndose de esta forma las correspondientes muestras del criptograma. Esta técnica es ilustrada en la fig.(4.8). En estos sistemas cifradores el tamaño de los segmentos se adecúa de acuerdo a los requerimientos del sistema, evidentemente los segmentos grandes causan grandes retrasos de tiempo, pero en contraste proveen bajos residuos de inteligibilidad. En este tipo de sistemas el mecanismo de procesar la señal de voz en tiempo real, es sencillo de explicar:

mensaje original

..A₁₁....A_{1N} A₂₁....A_{2N} A₃₁....A_{3N} A₄₁....A_{4N}
 ↗ ↖
 retraso de encifrado

criptograma

----- ruido ----- ..A_{1N}....A₁₁ A_{2N}....A₂₁ A_{3N}....A₃₁ A_{4N}....A₄₁

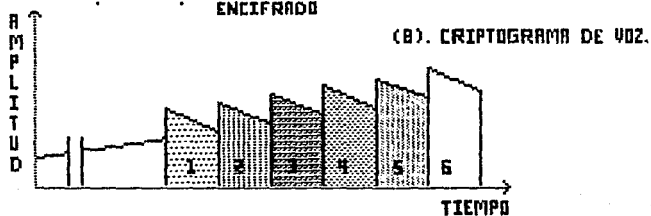
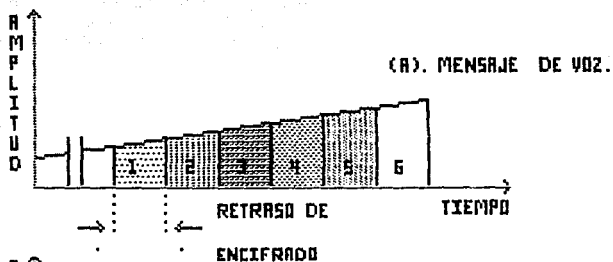


FIG. (4.8) INVERSION SEGMENTADA EN EL TIEMPO.

cap. IV. Criptografía Digital de Voz.

Como se muestra arriba, es suficiente tener almacenado dos segmentos de voz. Mientras en un segmento se van almacenando las muestras en el otro, se sacan en orden invertido.

Un sistema cifrador de este tipo puede ser implementado usando una memoria RAM como se muestra en la fig.(4.9), en este caso, el tamaño de la RAM restringe la longitud de tiempo para los segmentos. En este tipo de sistemas el método de encifrado y el de descifrado es idéntico. Ya que es claro que si nosotros ejecutamos inversión en el tiempo sobre una señal donde

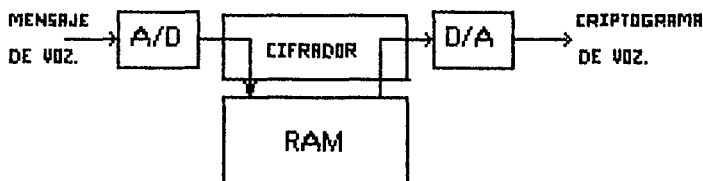


FIG. (4.9) CIFRADOR DE INVERSION DE SEGMENTOS EN EL TIEMPO

cap. IV. Criptografía Digital de Voz.

los segmentos ya están invertidos, (criptograma), entonces, dado que no cambiamos las longitudes de los segmentos que se usa el mismo período de tiempo, el transmisor y el receptor deben estar en completa sincronía.

La técnica de inversión en el tiempo ofrece una relativa seguridad, y como consecuencia, es concebida generalmente como una técnica de privacidad de voz. Sin embargo, la simplicidad y bajo costo de su implementación, con un microprocesador y con un circuito sencillo, permite que ésta técnica se use en situaciones donde la seguridad no es un parámetro de estricta importancia.

Esta técnica no contiene ninguna llave y por lo tanto, se asemeja más a un código antes que a un sistema cifrador.

Se puede introducir una llave para obtener una variación en el tamaño de los segmentos, pero, como ya vimos antes, el tamaño de la RAM restringe los posibles tamaños de los segmentos, de esta forma las longitudes de los segmentos están destinadas a ser limitadas a un rango pequeño. La seguridad extra obtenida al agregar una llave es limitada. Una razón para esto es que si un interceptor tiene un receptor ajustable a una longitud de segmento, que esté sobre el tamaño promedio de todas las posibilidades, entonces se puede obtener una señal que, aunque no se escuche perfectamente, exhibirá una muy alta inteligibilidad residual.

IV.3.2.- Reordenamiento de muestras en el tiempo.

Los sistemas cifradores que usan este método funcionan de la siguiente manera, observar la figura (4.10):

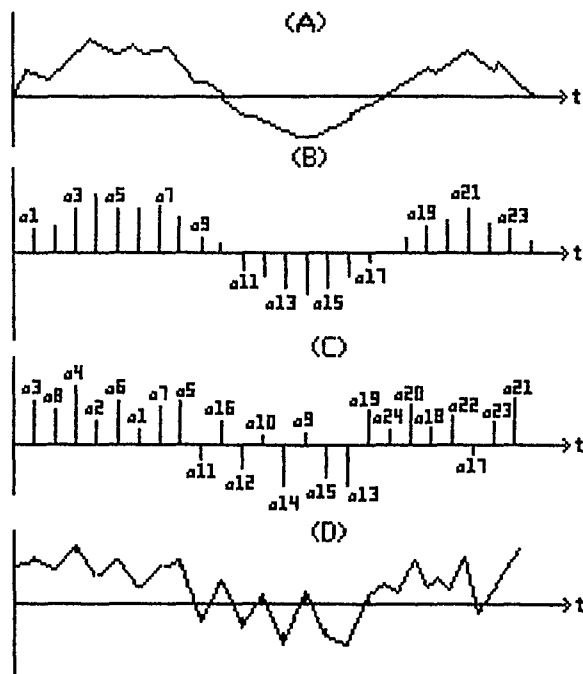


FIG. (4.10) REORDENAMIENTO DE MUESTRAS EN EL TIEMPO

cap. IV. Criptografía Digital de Voz.

- a) Se recibe el mensaje análogo de voz.
- b) A través de un convertidor A/D, se obtiene el mensaje digital de voz.
- c) El mensaje digital de voz se transforma en el criptograma digital, esto se realiza reordenando las muestras de cada bloque del mensaje.
- d) A través de un convertidor D/A, se obtiene un criptograma analógico.

Para el ejemplo de la figura (4.10), los bloques fueron de 8 muestras y se usó repetitivamente la permutación:

$$\begin{bmatrix} 1 & 2 & 8 & 4 & 5 & 6 & 7 & 0 \\ 0 & 4 & 1 & 3 & 9 & 5 & 7 & 2 \end{bmatrix}$$

Que puede implementarse con un registro de corrimiento.

En esta técnica, un simple par de permutaciones sistemáticas son suficientes para obtener bajos niveles de inteligibilidad.

Los dos principales inconvenientes para adoptar este método son: el acompañamiento de la extensión del ancho de banda y la integridad de las muestras individuales.

Como se observa en la figura (4.11), este tipo de sistemas cifradores tienen una etapa de prefiltrado para evitar que el ancho de banda de la señal procesada se expanda.

El problema de preservar la integridad de las muestras es considerablemente más difícil. Para un canal de comunicación real, es casi inevitable que la señal sea distorsionada. Y estos niveles de distorsión llegan a ser significativamente más perceptibles cuando se presentan las discontinuidades en la operación inversa del reordenamiento.

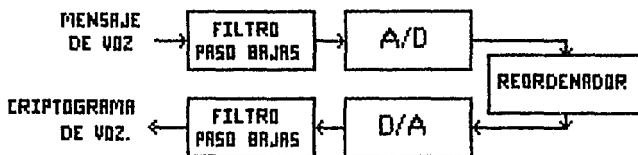


FIG. (4.11).REORDENAMIENTO DE MUESTRAS EN EL TIEMPO.

IV.3.3.- Permutación de bloques en el tiempo.

En esta técnica la señal analógica es dividida en períodos iguales de tiempo llamados marcos. Cada marco es entonces subdividido en pequeños períodos de tiempo llamados segmentos, obteniéndose de esta forma el bloque de criptograma. Este proceso es ilustrado en la figura (4.12), en la figura (4.13) se muestran los marcos de

MENSAJE DE VOZ.

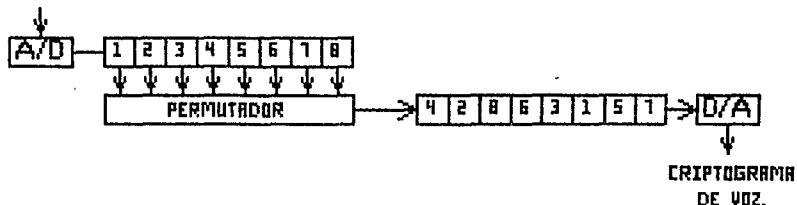


FIG.(4.12). PERMUTACION DE BLOQUES EN EL TIEMPO

mensaje de voz y su respectivo marco de criptograma de voz, para el proceso ilustrado en la figura (4.12).

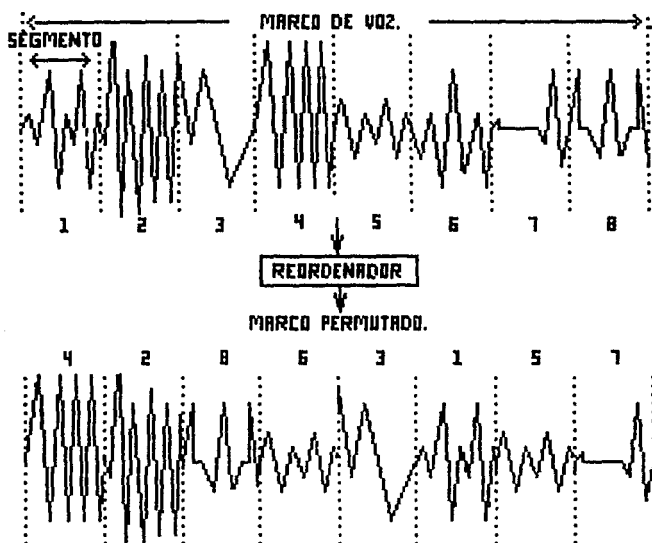


FIG. (4.13) PERMUTACION DE UN MARCO DE VOZ.

En el diseño de este tipo de sistemas cifradores es importante la elección de tres parámetros: longitud del segmento, longitud del marco y tipo de permutador. Veamos las consideraciones para estos parámetros.

Tamaño del segmento:

El tamaño del segmento debe ser lo suficientemente pequeño para que no contenga más de un fonema, pero, entre mas pequeño sea el segmento, habra mayores discontinuidades en la señal recuperada, lo cual provoca una expansión del ancho de banda, ya que estos súbitos cambios implican componentes de alta frecuencia.

Longitud de marco:

La longitud de marco afecta el retraso entre el mensaje de voz analógico transmitido y el mensaje de voz recibido. Tomando como ejemplo el proceso mostrado en la figura (4.12), la longitud del segmento es igual a T seg., entonces se requiere de $8T$ seg., para que los ocho segmentos que conforman un marco entren al permutador, consecuentemente no se puede empezar a transmitir los segmentos hasta que no se encuentre el grupo de estos ocho segmentos en el permutador, para que de esta forma se transmita el marco de voz reordenado. Esto significa que el receptor no puede empezar a decifrar hasta que haya recibido los ocho segmentos, lo cual implica otro retraso de $8T$ seg. Por lo tanto, el retraso total para un segmento de voz desde la transmisión hasta la recepción es de $16T$ seg. La situación anterior es mostrada en la figura (4.14). En general, el tiempo de retraso total para un sistema con s segmentos por marco con una longitud por marco de T seg, es $2sT$ seg.

cap. IV. Criptografía Digital de Voz.

Desde el punto de vista de seguridad es aconsejable longitudes de marcos grandes, ya que si tenemos n segmentos por marco, entonces tenemos $n!$ permutaciones posibles. Si $n!$ permutaciones son pocas, evidentemente facilitamos la labor del criptoanalista. El número sugerido varía de 4 a 16 segmentos, que son los rangos usados en este tipo de sistemas.

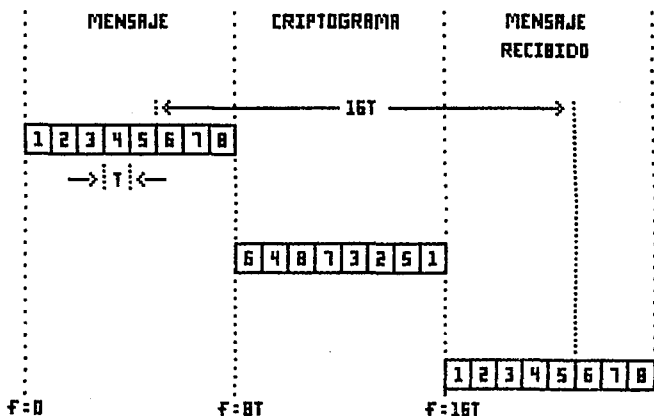


FIG.(4.14).DIAGRAMA DE TIEMPOS PARA UN MARCO DE VOZ.

cap. IV. Criptografía Digital de Voz.

Tipo de permutador:

Se puede tener una clave, la cual selecciona una permutación fija, esta permutación es usada para transmitir todos los marcos de voz del criptograma. Este tipo de selección es aconsejable para la transmisión de mensajes cortos.

De otra manera, para cada marco, se puede utilizar un generador de números pseudoaleatorios para seleccionar una permutación. Del ejemplo de la figura (4.12), si tenemos 8 segmentos por marca, el número total de permutaciones disponibles es de $8!=40,320$, pero de este número de permutaciones no todas pueden ser utilizadas. Por ejemplo la permutación:

$$\begin{bmatrix} 1 & 2 & 3 & 4 & 5 & 6 & 7 & 8 \\ 2 & 1 & 3 & 4 & 6 & 5 & 7 & 8 \end{bmatrix}$$

tiene un alto grado de inteligibilidad residual, por lo que después de algunas repeticiones del mensaje lo podríamos entender. Una forma para utilizar solo las "buenas" permutaciones es almacenando éstas en una memoria ROM. Posteriormente con un generador de secuencias se accesa la memoria ROM para obtener las permutaciones.

IV.4.- Criptografía en la amplitud.

El principio de funcionamiento de los cifradores de amplitud de señales de voz se basa en el enmascaramiento del mensaje, es decir, se refiere a la adición lineal de amplitudes pseudoaleatorias a las amplitudes de la señal de voz.

Un ejemplo de este tipo de sistemas cifradores usa la adición de amplitudes de ruido pseudoaleatorio utilizando la función módulo.

En este método se asume que las amplitudes de las muestras del mensaje de voz caen dentro del intervalo $(-A,A)$, asimismo, las muestras de amplitudes del ruido pseudoaleatorio están uniformemente distribuidas en el mismo intervalo.

A la muestra de amplitud del mensaje y a la muestra de amplitud del ruido pseudoaleatorio se le adiciona A:

$$M_A = M + A \quad (\text{mensaje})$$

$$R_A = R + A \quad (\text{ruido})$$

De tal forma, ambas muestras de amplitudes estarán en el intervalo $(0,2A)$. Estas nuevas amplitudes son las que se usan para obtener el criptograma de voz; a la muestra de amplitud de ruido pseudoaleatorio R_A se le aplica la función módulo $2A$, se le suma la muestra de amplitud del mensaje M_A y se le resta A para obtener la muestra del criptograma:

cap. IV. Criptografía Digital de Voz.

$$C_A = M_A + (R_A \text{ mod } 2A)$$

$$C = C_A - A \quad (\text{Criptograma a transmitir})$$

Ya en el receptor, para recuperar la muestra del mensaje de voz a partir de la muestra del criptograma, a la muestra de amplitud del ruido pseudoaleatorio R_A se le aplica la función módulo $2A$, este resultado es restado de la muestra de amplitud del criptograma C_A , y finalmente a C_A se le resta A para recuperar el mensaje:

$$M_A = C_A - (R_A \text{ mod } 2A)$$

$$C = M_A - A$$

Por ejemplo:

Sea $M = -3$, $R = 4$ (amplitudes del mensaje y del ruido respectivamente)

$A = 5$ (rango de amplitudes soportadas: $(-A, A)$)

entonces:

$$M_A = M + A \quad M_A = -3 + 5 = 2$$

$$R_A = R + A \quad R_A = 4 + 5 = 9$$

$$C_A = M_A + (R_A \text{ mod } 2A)$$

$$C_A = 2 + 9 \text{ mod } 10$$

$$C_A = 2 + 1 = 3$$

$$C = C_A - A$$

cap. IV. Criptografía Digital de Voz.

$C=3-5=-2$ (amplitud de la muestra del criptograma
a transmitir)

$$M_A=C_A-(R_A \text{ mod } 2A)$$

$$M_A=3-9 \text{ mod } 2A$$

$$M_A=3-1=2$$

$M=M_A-A=-5=-3$ (amplitud de la muestra del mensaje recibido)

Una de las mayores ventajas que presenta este método es la posibilidad que la señal del criptograma se escuche como ruido blanco, además de la gran cantidad del número de amplitudes del ruido pseudoaleatorio que pueden generarse.

La principal desventaja de este método es la pérdida significativa en la relación señal-ruido en el receptor, debido a que parte de la energía se pierde en el receptor debido al ruido pseudoaleatorio que se transmitió.

IV.5. Criptografía bidimensional.

La criptografía bidimensional se refiere a los métodos que combinan dos técnicas de enciframiento, una en el dominio del tiempo y el otro en el dominio de la amplitud. Por ejemplo, combinar el método de inversión en frecuencia con el método de permutación de bloques en el tiempo, a combinar un reordenador de bandas de frecuencia con un permutador de bloques en el tiempo.

Estos sistemas cifradores presentan una mayor seguridad, pero a la vez su implementación tiene un mayor grado de dificultad.

V.1.- Introducción.

Los procesos de simulación fueron realizados en dos etapas, para que de esta forma se alcanzaran los objetivos que se pretendían. La primera etapa de las simulaciones fue desarrollada en una computadora PC-XT, junto con algunos otros recursos requeridos. Ya que la segunda etapa se trabajó con el conocimiento adquirido de la primera, obteniéndose como producto final los parámetros óptimos de los métodos cifradores que se pueden implementar en la arquitectura sugerida.

V.2. Simulaciones en PC.

Los objetivos que se cubrieron en esta fase fueron los siguientes:

- a) Implementar mediante software los elementos de criptografía requeridos, ya vistos en el capítulo III.
- b) Implementar mediante software los elementos de los algoritmos diseñados de los métodos cifradores.
- c) Observar la inteligibilidad residual de los métodos cifradores, así como observar su comportamiento, tanto en el dominio del tiempo, como en el dominio de la amplitud.

V.2.1. Equipo para las simulaciones.

Para realizar las simulaciones se contó con el siguiente equipo, observar fig. (5.1):

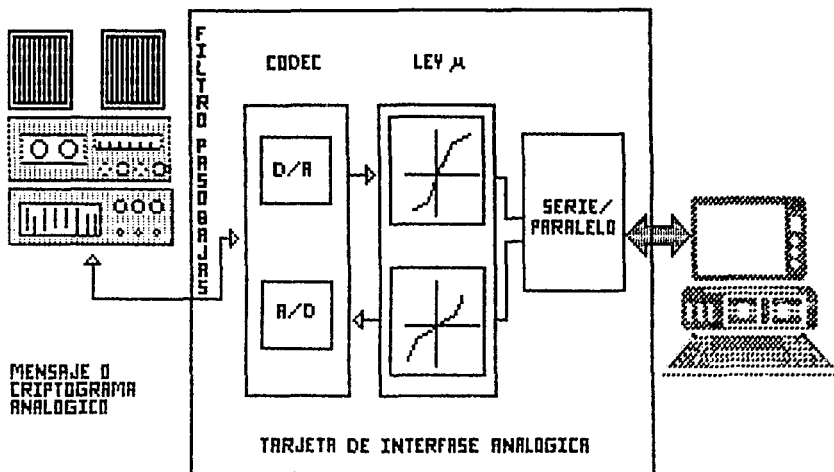


FIG. (5.1) EQUIPO UTILIZADO PARA LA SIMULACION DE METODOS CRIPTOGRAFICOS.
(FASE I)

- a.- Computadora personal: computadora PC-XT, con 640 kbytes de memoria RAM.
- b.- Tarjeta de desarrollo para la interfase analógica de la computadora PC-XT. Tarjeta que cuenta con CODEC de 8 bits, filtro paso-bajas de 300 a 3300 Hz y compresión ley μ y manejo del controlador DMA 8237.
- c.- Equipo modular estereofónico.

La frecuencia de muestreo fue de 8 KHz y la duración del mensaje de voz fue de 8seg. Los programas de las simulaciones fueron desarrollados en lenguaje pascal y el tamaño de los bloques fue de 128 muestras. Finalmente, para los métodos de permutación fueron utilizadas las funciones para permutaciones uniformes:

$$c = k_1 m \bmod N$$
$$m = k_2 c \bmod N$$

donde

$$k_1 k_2 \pmod{N} = 1 \quad \text{y}$$
$$m = 1, 2, 3, \dots, N$$

y donde:

- N: número total de bloques a encifrar (cada bloque tiene 128 muestras).
- c: número de bloque asignado en el criptograma al bloque m del mensaje.
- k₁: clave de encifrado.
- k₂: clave de descifrado.

La clave k_1 se obtuvo mediante la función de turbo pascal que genera números pseudoaleatorios.

Por ejemplo:

Si $n=32$
con $k_1=7$ y $k_2=23$

entonces:

$$k_1 k_2 = 161 \text{ mod } 32 = 1$$

La fig.(5.2) muestra la matriz de permutaciones para este ejemplo.

DIRECCION DE BLOQUE	
ENTRADA	SALIDA
1	7
2	14
3	21
4	28
5	3
6	10
7	17
--	--
M	C

DIRECCION BLOQUES DE SALIDA.

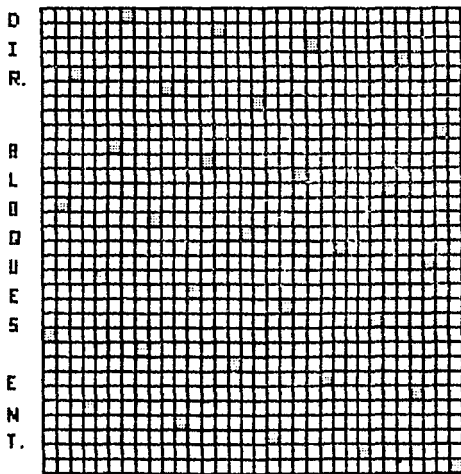


FIG. (5.2). PERMUTACIONES UNIFORMES

V.2.2.- Resultados de la primera etapa.

V.2.2.1.- Tiempo de retraso.

El tiempo de retraso es la adición del tiempo de encifrado mas el tiempo de descifrado. en la tabla 5.1 se muestran los tiempos de retraso para los cuatro métodos simulados, más importantes.

	M E T O D O	TIEMPO DE RETRASO (seg.)
a	Inversión en frecuencia.	84.73
b	Inversión en el tiempo.	70.36
c	Permutación de bloques en el tiempo.	115.40
d	Bidimensional c y a	129.55

TABLA 5.1. TIEMPOS DE RETRASO.

El tiempo de retraso es uno de los parámetros importantes en los sistemas cifradores, como se observa en la tabla 5.1, entre más complejo es un sistema cifrador, mayor es su tiempo de retraso. y generalmente, entre mayor complejidad tenga un sistema cifrador, mayor es su grado de seguridad. Los tiempos de retraso son aceptables hasta de 100 mseg. para este tipo de cifradores.

V.2.2.2.- Inteligibilidad Residual.

El término inteligibilidad residual se refiere al grado de reconocimiento de un mensaje de voz.

Para entender de una mejor manera lo que es inteligibilidad residual, supongamos el siguiente ejemplo:

El único idioma que conocemos es el español, y queremos entender la plática entre un brasileño y un alemán, sabremos el tema de su plática si ésta es en portugués. Ya que esta lengua tiene similitudes con el español, pero si la plática fuera en alemán, seguramente no entenderíamos nada de lo que están hablando. La similitud existente entre el portugués y el español se debe a las raíces latinas de ambos, por lo que hay palabras iguales con el mismo significado. Estas palabras, para nuestro ejemplo, son la inteligibilidad residual del portugués respecto al español y viceversa.

La inteligibilidad residual es una medida subjetiva, nosotros para evaluarla en nuestros métodos criptográficos. Solicitamos a distintas personas que nos hicieron favor de escuchar los distintos criptogramas, de lo que resultó:

mayor
inteligibilidad
residual

↑
Inversión de muestras en t.
Inversión en frecuencia.
Permutación de bloques en t.
Bidimensional.

V.2.2.3.- Comprobaciones gráficas.

El aspecto gráfico fue muy importante, ya que nos permitió comprobar y observar algunas consideraciones ya mostradas en el capítulo anterior. En la fig. (5.3) se muestra un segmento del mensaje de voz y sus respectivos criptogramas de voz, tanto en el dominio del tiempo como en el dominio de la frecuencia.

En estas figuras se excluyen las primeras componentes espectrales. Si al espectro de la fig. (5.3b), lo dividiremos en dos partes con un corte en el eje de simetría, e intercambiamos ambas partes, el espectro resultante será el correspondiente al de la fig. (5.3a), que es el espectro del mensaje original. De esta forma comprobamos que para invertir la frecuencia, que es un recorrimiento del espectro, basta cambiar el signo de las amplitudes impares del mensaje.

El segmento en el tiempo de la fig (5.3c) es el segmento invertido del mensaje de voz, fig. (5.3a), como podrá observarse. Pero las respectivas densidades espectrales son iguales. Con lo cual comprobamos que la inversión de la FFT, excluyendo la primera

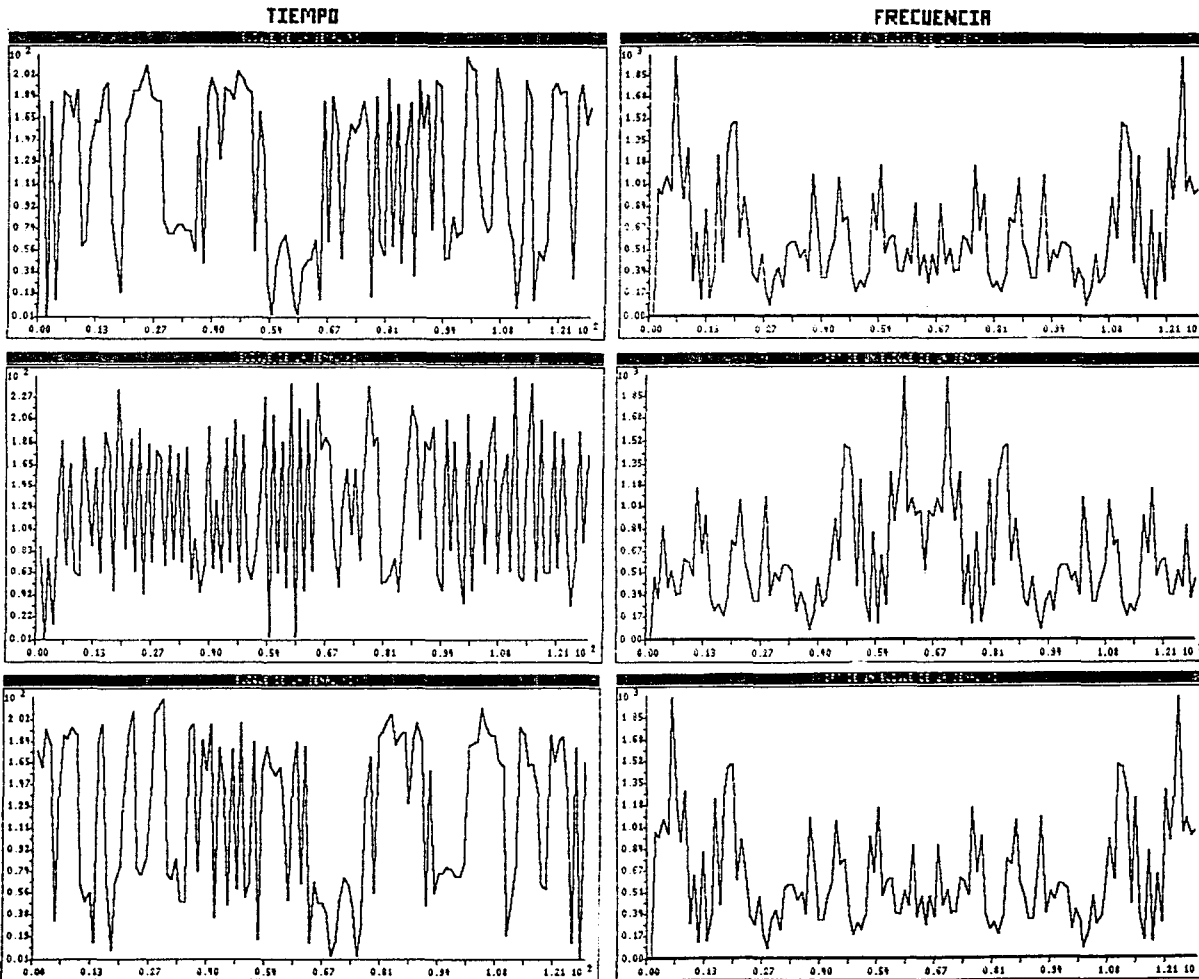


FIG.(5.3a). MENSAJE DE VOZ

FIG.(5.3b). INVERSION EN FRECUENCIA

FIG.(5.3c). INVERSION EN EL TIEMPO

FIG. (5.3). SEGMENTO DE MENSAJE Y SEGMENTO DE CRIPTOGRAMA DE VOZ.

Cap. V. Simulación de Métodos.

muestra causa una inversión en el tiempo. La inversión en el tiempo repercute en las componentes reales e imaginarias del espectro, como se observa en el siguiente ejemplo:

Los valores discretizados del mensaje son:

VALOR REAL	VALOR IMAGINARIO
1	0i
2	0i
3	0i
4	0i

La FFT del mensaje es:

AMPLITUD	VALOR REAL	VALOR IMAGINARIO
20000.00	20000	0i
5656.85	-4000	-4000i
4000.00	-4000	0i
5656.85	-4000	4000i

Los valores discretizados del criptograma son:

VALOR REAL	VALOR IMAGINARIO
4	0i
3	0i
2	0i
1	0i

Cap. V. Simulación de Métodos.

La FFT del criptograma es:

AMPLITUD	VALOR REAL	VALOR IMAGINARIO
20000.00	20000	0i
5656.85	4000	4000i
4000.00	4000	0i
5656.85	4000	-4000i

Como se observa las magnitudes de la FFT no varían, pero si varían los signos de las componentes reales e imaginarias.

V.3.- Simulaciones en TMS32010.

El objetivo en esta segunda etapa de simulaciones era observar el comportamiento de los métodos cifradores, que en la etapa anterior estaban desarrollados en lenguaje de alto nivel, correspondía implementarlos en lenguaje ensamblador del TMS32010. En esta parte se compararon los tiempos de retraso y la inteligibilidad residual de los distintos métodos.

V.3.1- Equipo para las simulaciones.

El equipo utilizado para las simulaciones fue el siguiente, observar fig. (5.4):

a) Módulo de Evaluación del TMS32010.

- b) Tarjeta de interfase analógica (AIB) del TMS32010.
- c) Computadora PC-XT.
- d) Grabadora.

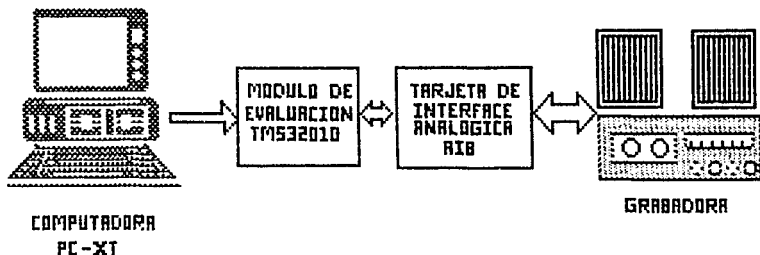


FIG. (5.4) EQUIPO PARA LA SIMULACION DE METODOS CIFRADORES (FASE II)

V.3.1.1.- Microprocesador TMS32010.

Los programas son desarrollados en la computadora PC-XT con cualquier editor. Mediante cierta comunicación se transfieren al módulo de evaluación, el cual, al recibirlos los va ensamblando. Desde el monitor conectado al módulo de evaluación se manipula éste y se ejecutan los programas. A continuación se describen las características del microprocesador TMS32010.

1. Arquitectura Harvard Modificada.
2. Pipelining.
3. Hardware dedicada a multiplicaciones.
4. Instrucciones especiales para el procesamiento digital de señales.

V.3.1.1.1.- Arquitectura Harvard.

El TMS32010 utiliza una arquitectura Harvard modificada para tener flexibilidad y comodidad. En una arquitectura Harvard el programa y los datos se almacenan en 2 memorias separadas, permitiendo una total coincidencia en parte de las instrucciones FETCH y EXECUTE. Las modificaciones en la familia TMS de la arquitectura Harvard permite mayor transferencia entre la memoria de datos y de programa, de este modo se incrementa la flexibilidad del dispositivo. Esta modificación de la arquitectura elimina la necesidad de dividir los coeficientes de la ROM y también maximiza el poder de procesamiento para mantener los dos bus de estructura separados, (programa y datos), para una ejecución totalmente rápida.

V.3.1.1.2.- Pipelining.

En conjunción con la arquitectura Harvard, el pipelining es usado extensivamente para reducir el tiempo de ciclo de una instrucción,

para que ésta sea absolutamente mínima. El pipelining puede ser en cualquiera de 2 de los 4 niveles, dependiendo de que procesador de la familia es usado. La arquitectura de la familia TMS320 usa un pipelining de 2 niveles para esta primera generación como el TMS32010, un pipelining de 3 niveles para la segunda generación y un pipelining de 4 niveles para los procesadores de la tercera generación. De forma tal que el dispositivo procesa de 2 a 4 instrucciones en paralelo y cada instrucción está en un diferente estado en la ejecución. La fig. (5.5), muestra un ejemplo de una operación pipeline de tres niveles.

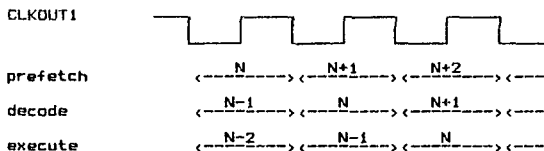


FIG. (5.5). OPERACION PIPELINE DE TRES NIVELES.

En la operación pipeline, las operaciones prefetch, decodificación y ejecución pueden ser manejadas independientemente, así permite la ejecución de operaciones en traslape. Durante un ciclo de instrucción, tres diferentes instrucciones son activadas, en cada uno de los diferentes estados de terminación.

Por ejemplo, como la N_{ava} instrucción está inicialmente en prefetch, la previa $(N-1)_{ava}$ instrucción está iniciando la

decodificación y la (N-2)_{ava} está iniciando la ejecución. En general la pipeline es transparente al usuario.

V.3.1.1.3.- Hardware dedicado a multiplicaciones.

La multiplicación es una parte importante en el procesamiento digital de señales. La velocidad de la realización de las multiplicaciones es debida al alto desarrollo del procesador digital de señales. En los microprocesadores de propósito general, la instrucción de la multiplicación es construida por una serie de sumas, por lo tanto toman muchos ciclos de instrucción.

En la familia TMS320 la multiplicación está en una sola instrucción de un ciclo, como resultado de un Hardware dedicado a las multiplicaciones.

V.3.1.1.4.- Instrucciones especiales para el procesamiento digital de señales.

Otra característica del microprocesador TMS32010 es el uso de instrucciones especiales. Estas instrucciones están enfocadas para realizar las operaciones aritméticas requeridas en el procesamiento digital de señales, como las sumatorias de productos, de una manera más fácil. Existen además instrucciones que realizan un conjunto de instrucciones en un ciclo y de ésta forma se reducen los números de ciclos por instrucción.

V.3.1.1.5.- Ciclos rápidos de instrucción.

La capacidad de procesamiento en tiempo real es 4 veces mejorado por la velocidad del procesador en la ejecución de las instrucciones.

El tiempo del ciclo de instrucción para el microprocesador TMS32010 es de 160 a 200 ns.

La familia de procesadores TMS320 es altamente segura para muchas aplicaciones de procesamiento digital de señales en tiempo real.

Como podemos ver en la fig. (5.6), muchos ciclos de instrucción son adecuados para el proceso de la señal o para generar comandos para aplicaciones en tiempo real. Por lo tanto, para simples aplicaciones de control, los microprocesadores de propósito general o controladores pueden ser adecuados. Sin embargo para muchas aplicaciones de control con rigurosos procesos matemáticos, tales como robótica y control adaptivo, los microprocesadores digitales de señales tienen un mejor uso. El número de ciclos de instrucción adecuado es reducido a medida que incrementemos el período de muestreo, de 8 KHz. para las aplicaciones típicas de telecomunicaciones y de 40 a 48 KHz. para procesamiento de audio. Algunas de estas aplicaciones de tiempo real requieren solo de unos pocos cientos de instrucciones por muestra en el TMS32010.

Para aplicaciones con alto promedio de muestreo, como procesamiento de imágenes o video, el procesador digital de señales adecuado todavía no es capaz de manejar el procesamiento

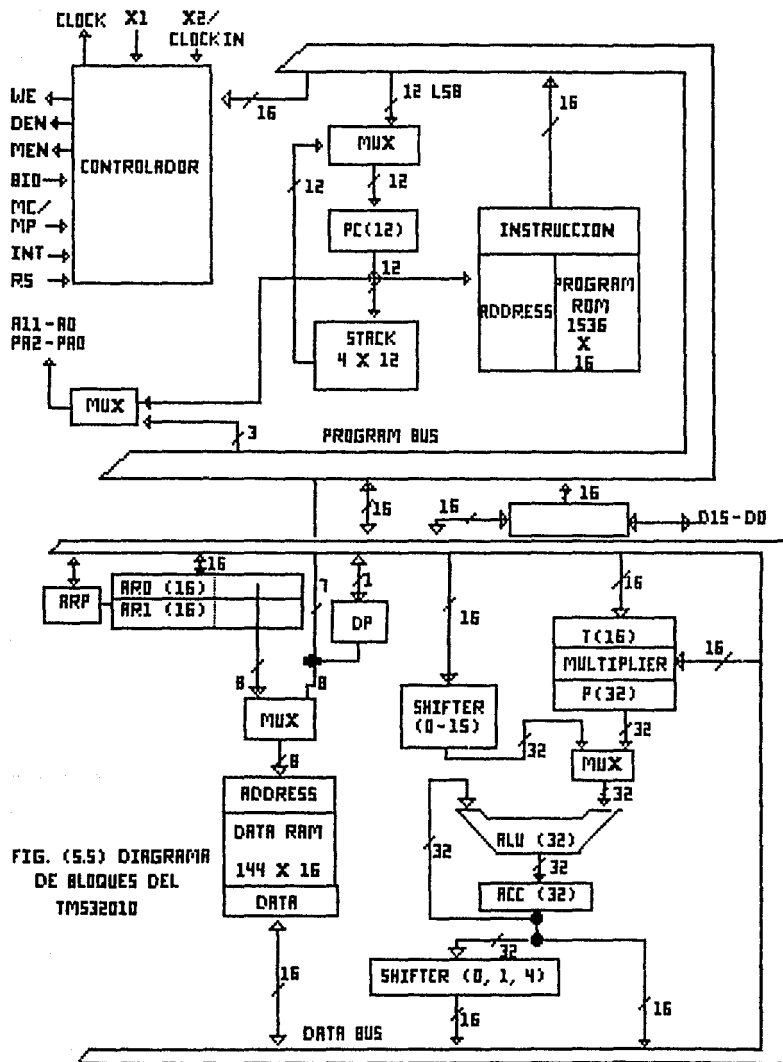


FIG. (5.5) DIAGRAMA DE BLOQUES DEL TM532010

memoria de datos es de 144 x 16 bits y es de tipo RAM. Los 4 elementos aritméticos básicos del TMS32010 son: ALU, Acumulador, el Multiplicador y los Registros de Corrimiento. Todas las operaciones aritméticas son ejecutadas usando aritmética de complemento a 2.

ALU: Es una unidad aritmética lógica de propósito general que opera con una palabra de datos de 32 bits. La unidad puede sumar, restar y ejecutar operaciones lógicas.

ACUMULADOR: El acumulador almacena la salida del ALU y también la entrada, éste opera con una palabra de longitud de 32 bits, el acumulador está dividido en partes: palabra alta (bits 31-16) y palabra baja (bits 15-0). Las instrucciones están provistas para almacenar estas dos partes del acumulador en la memoria de datos, (SACH para almacenar la parte alta en el acumulador y SACL para almacenar la parte baja del acumulador.

MULTIPLICADOR: El multiplicador paralelo de 16 x 16 bits consiste de 3 unidades: El registro T, el registro P y el arreglo de multiplicación. El registro T es un registro de 16 bits que almacena al multiplicando, mientras que el registro P es un registro de 32 bits que almacena el producto. Con el propósito para usar el multiplicador, el multiplicando puede

Cap. V. Simulación de Métodos.

primero ser cargado de la RAM de datos al registro T, usando alguna de las siguientes instrucciones: LT, LTA o LTD. Entonces las instrucciones MPY (multiplicación) o MPYK (multiplicación inmediata) son ejecutadas. Estas operaciones de multiplicar y acumular, pueden ser acompañadas en 2 ciclos de instrucción con las instrucciones LTA/LTD .

REGS. DE CORRIMIENTO: Dos corrimientos son habilitados para la manipulación de datos: El primero ejecuta un corrimiento a la izquierda de 0 - 16 bits sobre todas las palabras de la memoria de datos que están por ser cargados, sustraídos o sumados al acumulador. El segundo, un corrimiento paralelo, activado por la instrucción SACH puede ejecutar un corrimiento de 0, 1 o 4 bits.

V.3.1.2.- Tarjeta de interface analógica del TMS320C10 (AIB).

El propósito de esta descripción, del uso de la tarjeta de interface analógica del TMS32010, es que sirva como una referencia que informe de las características de la misma.

V.3.1.2.1.- Descripción.

La tarjeta de interface analógica es una herramienta educativa, que provee interfases A/D y D/A para el módulo de evaluación del

TMS32010. La AIB provee convertidores A/D y D/A de 12 bits con puertos de expansión para otros convertidores adicionales. En la fig. (5.8), se muestra un diagrama a bloques de la tarjeta de interface analógica del TMS:

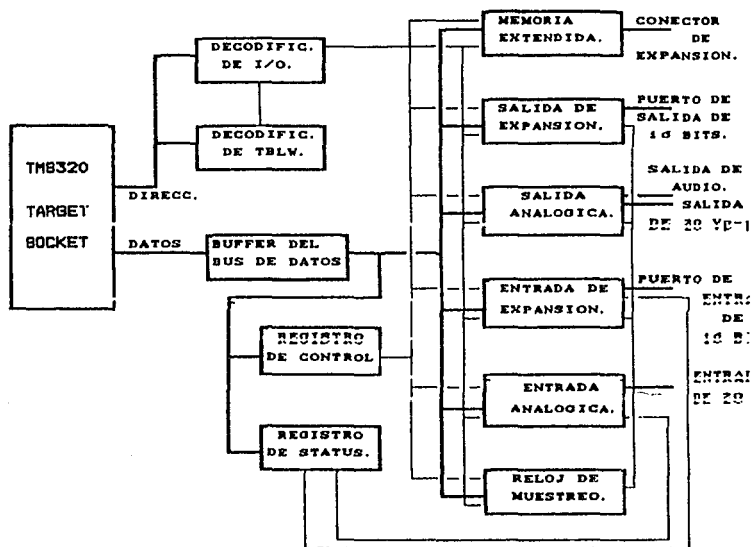


FIG. (5.8), DIAGRAMA A BLOQUES DEL AIB DEL TMS32010.

El reloj de la tasa de muestreo de la AIB es derivado del CLKOUT en el TMS32010, y puede ser programado para proveer entradas o

salidas analógicas o ambas. Esta tiene 2 filtros analógicos paso-bajas. Un filtro a la entrada del A/D limita la entrada a la banda para minimizar los efectos del ruido. El otro filtro está colocado a la salida del D/A. La respuesta de frecuencia de los filtros es controlada por la variación de componentes externos en los estados del filtro. La frecuencia de corte de los filtros es de 4.7 KHz., pero pueden ser programados para su uso.

V.3.1.2.2.- Características.

La AIB provee una combinación de características que cubren muchas aplicaciones, mientras mantienen flexibilidad para expansión:

- Convertidor A/D de 12 bits.
- Convertidor D/A de 12 bits.
- Un puerto de salida de 16 bits, para adicionales A/D.
- Un puerto de entrada de 16 bits, para adicionales D/A.
- Dos filtros paso bajas.
- Amplificador de audio.
- Tabla de escritura (TBLW decodificada).
- Memoria de datos de I/O extendida.
- Area para aplicaciones.

V.3.1.2.3.- Especificaciones Generales.

CONVERTIDOR ANALÓGICO - DIGITAL.

- resolución : 12 bits.
- entrada analógica : -10 v a +10 v
- salida digital : 16 bits en complemento a 2.
- tiempo de conversión : 25 μ s. (máximo).

MUESTREO Y RETENCION.

- tiempo de adquisición a 0.1% : 4 μ s.
- promedio de salida : 0.3 V/seg.
- paso de retención : 16 bits en compl. a 2

CONVERTIDOR DIGITAL - ANALÓGICO.

- resolución : 12 bits.
- salida analógica : -10 v a +10 v
- entrada digital : 16 bits en complemento a 2.
- tiempo de asentamiento : 25 μ s.

RELOJ DE MUESTREO.

- rango : 76.29 Hz. a 5.00 MHz.

MEMORIA DE DATOS EXTENDIDA.

- capacidad de la tarjeta : 8192 X 16 bits.

V.3.2.- Resultados de la segunda etapa.

El listado de los programas de los principales métodos y de algunas de sus combinaciones se presentan en el apéndice. La forma en que están diseñados los programas de los métodos cifradores básicos permiten usar éstos como subrutinas, para desarrollar sistemas mas complejos y de esta forma reducir la inteligibilidad residual. Pero deben tenerse en cuenta los tiempos de retardo para no rebasar los cien milisegundos que es el tiempo razonble de retraso en este tipo de sistemas cifradores.

Nuestro almacenamiento está restringido para almacenar hasta 128 muestras aproximadamente, ya que la memoria de datos del TMS32010 es de 144 palabras de 16 bits. En todos los programas los parámetros importantes, como tamaño de marco, tamaño de segmento, etc. están en memoria de programa, para tener de esta forma una facilidad en la modificación de parámetros desde el monitor.

V.3.2.1.- Descripción de los programas de los principales métodos de cifrado.

En el método de inversión en frecuencia, la muestra A/D es almacenada en una localidad de memoria de datos. Mediante una bandera se determina si es muestra impar, si esto ocurre, multiplicamos esta muestra por -1 y le restamos una unidad. Esta última resta se debe hacer ya que el TMS32010 trabaja con

Cap. V. Simulación de Métodos.

aritmética de complemento a 2 y para cambiar la polaridad de un voltaje de salida de la AIB, basta con cambiar el valor de cada bit. Ya que por ejemplo, para sacar un voltaje de 10 volts, se debe mandar por el puerto dos un valor de 8000_H y para sacar un voltaje de -10 volts se debe mandar un valor de $7FFF_H$.

En el método de inversión de muestras en el tiempo, se utilizaron dos segmentos contiguos que conforman un bloque. En el primer segmento se van almacenando las muestras y en el segundo se van vaciando en orden inverso. De esta forma, mientras se va llenando el bloque por el inicio, se va vaciando por el final. Al terminar de vaciar el bloque, que ocurre al mismo tiempo de terminar de llenar el bloque, se intercambian los apuntadores de inicio de llenado e inicio de vaciado.

En el método de permutación de bloques en el tiempo, entra el aspecto de pseudoaleatoridad. Este aspecto se implementó a un nivel muy simple con un registro de corrimiento de siete estados. En el apéndice mostramos un generador de números pseudoaleatorios para que a modo de subrutina se implemente. La idea de implementar el registro de corrimiento tuvo la finalidad de comparar métodos de permutaciones en igualdad de circunstancias, ya que conocíamos el desempeño del registro de corrimiento. En este método utilizamos dos marcos y dos etapas de proceso:

Etapa 1. Llenado secuencial de marco 1 y vaciado permutando los segmentos del marco 2.

Etapa 2. Llenado secuencial de marco 2 y vaciado permutando los segmentos del marco 1.

Estas dos etapas se van alternando todo el tiempo, pero al ocurrir cambio de etapa se cambian dirección de inicio de llenado y magnitud de offset de vaciado.

El generador de números aleatorios propuesto en el apéndice se basa en el uso de la ecuación del método de congruencia lineal:

$$R_{n+1} = (a R_n + c) \text{ mod } m$$

donde:

$$R \geq 0$$

$$a \geq 0$$

$$c \geq 0$$

$$m > R, a, c$$

Estos parámetros se encuentran en memoria de programa para su fácil manipulación, de la elección de estos parámetros depende la periodicidad del generador de números pseudoaleatorios:

Cap. V. Simulación de Métodos.

-El módulo m debe ser bastante grande ya que determina el rango de los números pseudoaleatorios.

-El multiplicador a debe ser bastante grande.

-El incremento c debe ser bastante pequeño.

-La semilla R debe ser un número pequeño.

De la elección de estos parámetros depende la periodicidad del generador de números pseudoaleatorios.

V.3.2.2.- Retraso de tiempo.

Los retrasos de tiempo observados en los métodos cifradores caen dentro de los límites aceptados, (aproximadamente cien milisegundos), esto lo podemos observar a continuación:

	ciclos por segundo	retraso de tiempo (seg)
a) Inversión en frecuencia	137,088	0.02741760

Cap. V. Simulación de Métodos.

	ciclos por segundo	retardo de tiempo (seg)
b) Inversión de muestras en el tiempo.		
longitud del segmento		
32	81,648	0.016262440
48	81,312	0.01626240

c) Permutaciones de bloques en el tiempo.

longitud del segmento	segmento por marco		
8	7	124,704	0.02494080
4	7	176,832	0.03536640
2	7	281,088	0.05621760

d) permutación de bloques en el tiempo, con inversión en tiempo en segmentos.

longitud del segmento	segmento por marco		
4	7	168,768	0.03375360
2	7	264,960	0.05299200

Cap. V. Simulación de Métodos.

		ciclos por segundo	retraso de tiempo (seg)
e) Permutación de bloques en el tiempo con inversión en frecuencia.			

longitud del segmento	segmento por marco		
4	7	297,792	0.05955840
2	7	402,048	0.08040960

f) Permutación de bloques en el tiempo, con inversión en tiempo en segmentos e inversión en frecuencia.

longitud del segmento	segmento por marco		
4	7	289,728	0.05794560
2	7	385,920	0.07718400

De los métodos mostrados el que tuvo menor tiempo de retraso fue el de inversión de muestras en el tiempo (método b), con longitud de segmento igual a 48. El mayor, retraso de tiempo le correspondió al método bidimensional de permutación de bloques en

el tiempo con inversión en frecuencia (método c), para una longitud de segmento igual a 2 y el número de marcos igual a siete .

De los resultados obtenidos se puede observar que el método d tiene un menor retraso de tiempo que el método c, a pesar de que el método d contempla al método c. Esto debido a las características del algoritmo encifrador y a las características de programación del TMS.

Otra observación importante se refiere al añadir el método a al método c o d, se incrementa de forma constante el retraso total, el incremento es de 24 mseg. Por lo tanto, añadir el método a a un método combinado, es aumentar el retraso de tiempo propio del método a.

V.3.1.3.- Inteligibilidad Residual.

La inteligibilidad residual es una medida subjetiva que puede variar de persona a persona. La inteligibilidad residual aumenta, y es de poco valor su calificación, si el calificador de ésta conoce el mensaje original.

Para la inteligibilidad residual, al igual que en la fase anterior, diversas personas evaluaron el criptograma de voz, para esta evaluación hubo dos pruebas, la primera fue reconocer a la persona que hablaba y la segunda reconocer el contenido del mensaje.

Cap. V. Simulación de Métodos.

En el reconocimiento del parlante, todos los métodos pasaron la prueba ya que nadie supo reconocer al parlante.

Sobre el contenido del mensaje, a excepción de un método, la inteligibilidad residual fue baja. Los métodos con menor inteligibilidad residual fueron los métodos combinados y el método con mayor inteligibilidad residual fue el de inversión en el tiempo.

METODO	COMPORTAMIENTO A LA INTELIGIBILIDAD
-PERMUTACION DE BLOQUES EN EL TIEMPO CON INVERSION DE TIEMPO EN SEGMENTOS E INVERSION EN FRECUENCIA.	MUY BUENO
-PERMUTACION DE BLOQUES EN EL TIEMPO CON INVERSION EN FRECUENCIA.	MUY BUENO
-INVERSION EN FRECUENCIA CON INVERSION EN EL TIEMPO.	MUY BUENO
-PERMUTACION DE BLOQUES EN EL TIEMPO CON INVERSION EN TIEMPO EN SEGMENTOS. LONGITUD DE SEGMENTO: 4	BUENO

METODO	COMPORTAMIENTO A LA INTELIGIBILIDAD
-INVERSION EN FRECUENCIA	BUENO
-PERMUTACION DE BLOQUES EN EL TIEMPO. LONGITUD DE SEGMENTO:4	BUENO
-PERMUTACION DE BLOQUES EN EL TIEMPO CON INVERSION EN TIEMPO EN SEGMENTOS. LONGITUD DEL SEGMENTO: 8.	REGULAR
-PERMUTACION DE BLOQUES EN EL TIEMPO. LONGITUD DEL SEGMENTO: 8	REGULAR
-PERMUTACION DE BLOQUES EN EL TIEMPO CON INVERSION EN TIEMPO. LONGITUD DEL SEGMENTO 2.	ACEPTABLE
-PERMUTACION DE BLOQUES EN EL TIEMPO. LONGITUD DEL SEGMENTO: 2.	ACEPTABLE

Cap. V. Simulación de Métodos.

METODO

COMPORTAMIENTO A LA INTELIGIBILIDAD

-INVERSION DE MUESTRAS EN EL
TIEMPO.

HALO

El resultado observado en los métodos de inversión de muestras en el tiempo, es debido a la longitud del segmento, ya que este método requiere de mayores longitudes por segmento, las longitudes para este método son del orden de 800 muestras. Este método además debe considerarse como un código, al igual que el método de inversión en frecuencia. Aunque este último muestra buenos resultados en conjunción con algún método de permutaciones. De los resultados obtenidos pueden tenerse las siguientes conclusiones:

1. Pese a los buenos resultados mostrados por el método de inversión en frecuencia, no se sugiere su utilización como método cifrador.
2. Pese a los buenos resultados mostrados por el método de inversión en frecuencia con inversión segmentada en el tiempo, no se sugiere su utilización como método cifrador, ya que este método es de tipo código.
3. Es necesario hacer uso de la combinación de dos o más métodos.
4. Es importante hacer uso de algún método de permutaciones.

Cap. V. Simulación de Métodos.

5. En el uso de permutaciones se sugiere el uso de una llave para modificar la secuencia del generador de números pseudoaleatorios. Esto puede realizarse modificando los parámetros del generador de números pseudoaleatorios presentado en el apéndice.

6. Todos los métodos presentados en este trabajo no presentan problemas con el tiempo de retraso, por lo que se sugiere aumentar a la mayor complejidad posible.

7. Se aconseja el método de permutación de bloques en el tiempo con inversión de tiempo en segmentos e inversión en frecuencia como un buen método de seguridad.

8. Se sugiere implementar diversos métodos a manera de subrutina e ir encifrando el mensaje con la elección de uno de estos métodos pseudoaleatoriamente.

9. En la elección del método encifrador deben tenerse en consideración los siguientes aspectos:

- a) ¿De quién se debe proteger el sistema de comunicación?
- b) ¿Qué capacidad tiene el criptoanalista de acceder el criptoqrama?
- c) ¿Qué alcances tiene el criptoanalista?
- d) ¿Qué consecuencias se tienen si el criptoanalista descifra el criptoqrama?

V.4.- Diseño del Sistema Cifrador.

El diagrama de bloques del sistema cifrador es mostrado en la fig. (5.9).

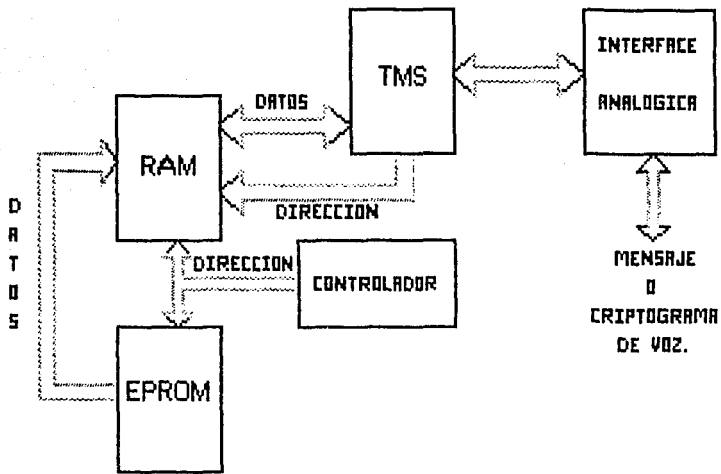


FIG.(5.9). DIAGRAMA DE BLOQUES DEL SISTEMA CIFRADOR.

V.4.1.-Descripción del Funcionamiento.

Al momento de encender el equipo se inicializa el sistema (reset), entonces el controlador empieza a funcionar. La finalidad del controlador, implementado con dos Flip-Flop's, es leer las instrucciones del algoritmo encifrador, almacenadas en la memoria EPROM 2732, y escribir éstas en las memorias RAM 2148 de rápido acceso. Para realizar esta operación el controlador se vale de un arreglo de contadores 74171, para obtener así ambas direcciones, de lectura en la EPROM 2732 y de escritura en la RAM 2148, es decir, se lee y se escribe haciendo uso de la misma dirección. Se cuenta con dos selectores de tres estados 74241 para seleccionar quien tendrá acceso a las direcciones de la memoria RAM 2148, el acceso lo puede tener el microprocesador TMS32010 o los contadores 74161. También se cuenta con un decodificador 74139 para seleccionar un renglón del arreglo de memorias RAM 2148. En la fig.(5.10) se muestra el diagrama lógico del sistema cifrador.

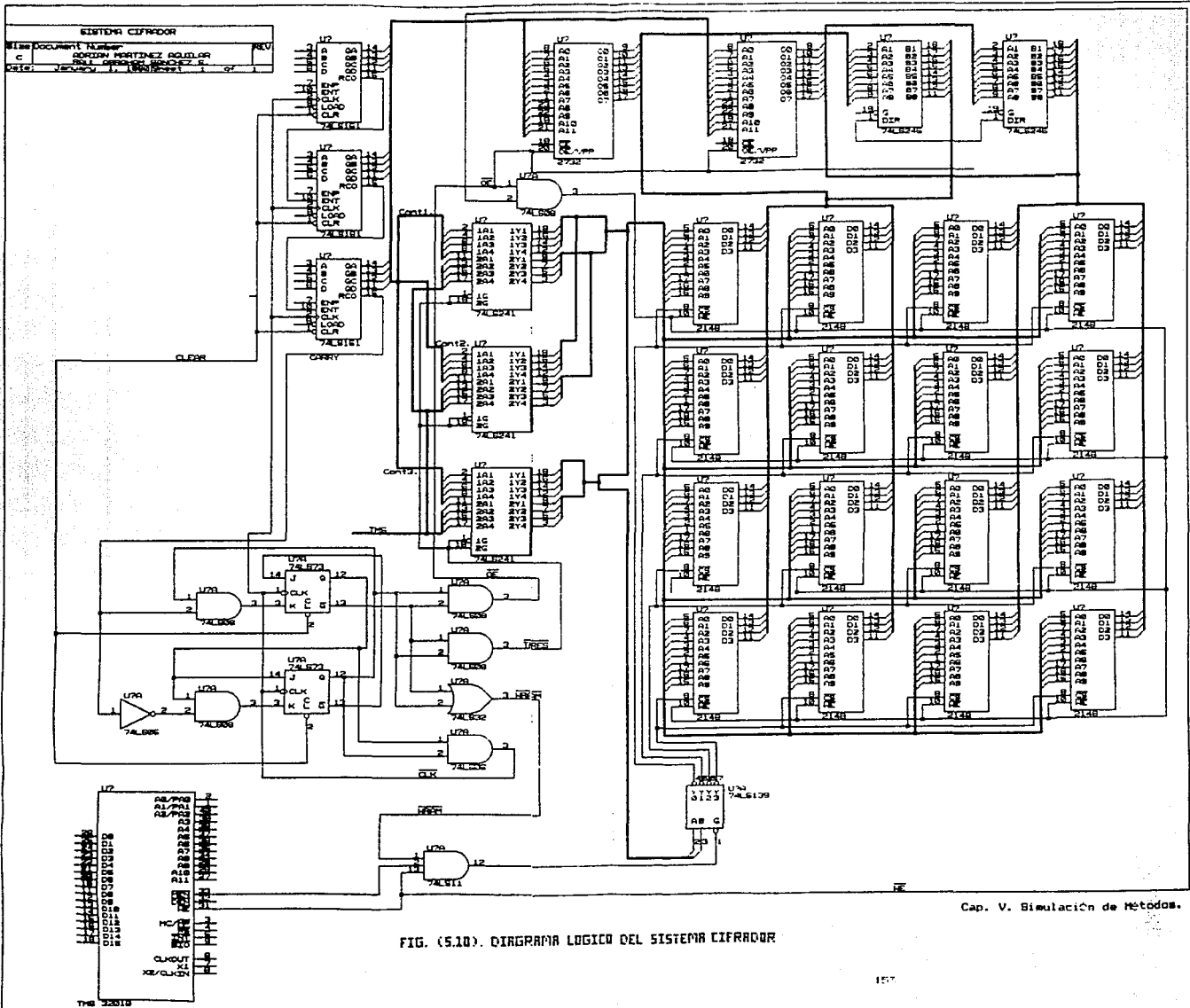


FIG. (5.10). DIAGRAMA LOGICO DEL SISTEMA CIFRADOR

Conclusiones.

Shannon's ideas, ABOUT INFORMATION THEORY, were influenced by work he did on cryptography during World War II.

Richard E. Blahut.

La década de los 20's es una de las décadas más creativas de este siglo tanto en la ciencia y el arte, dentro de la criptografía es denominada la edad de oro de las máquinas cifradoras. Podemos justificar este calificativo si observamos la fig. (6.1), en esta figura se muestran las patentes registradas relacionadas con la criptografía en los Estados Unidos. Como se observa el primer crecimiento acelerado sobre patentes criptográficas se muestra en la década de los 20's, esto como resultado de la experiencia adquirida sobre seguridad de la información en la primera guerra mundial. Después viene un declive en el registro de patentes, para que crezca éste en las postrimerías de la segunda guerra mundial. A partir de 1970 se inicia el gran crecimiento de patentes, donde la mayoría de ellas no son aplicadas para fines bélicos, ya que para la transmisión de información clasificada bélica no se dan a la luz pública los algoritmos cifradores que se utilizan. Cabe mencionar que desde la primera patente criptográfica en 1871 hasta 1980 se tienen en los E.U. 1769 patentes registradas relacionadas con la criptografía. El desarrollo de la criptografía, que en un principio tenía únicamente fines bélicos, actualmente, como ya hemos mencionado,

Conclusiones.

es utilizada además para otras aplicaciones.

Al ir cobrando cada vez mayor importancia los sistemas de

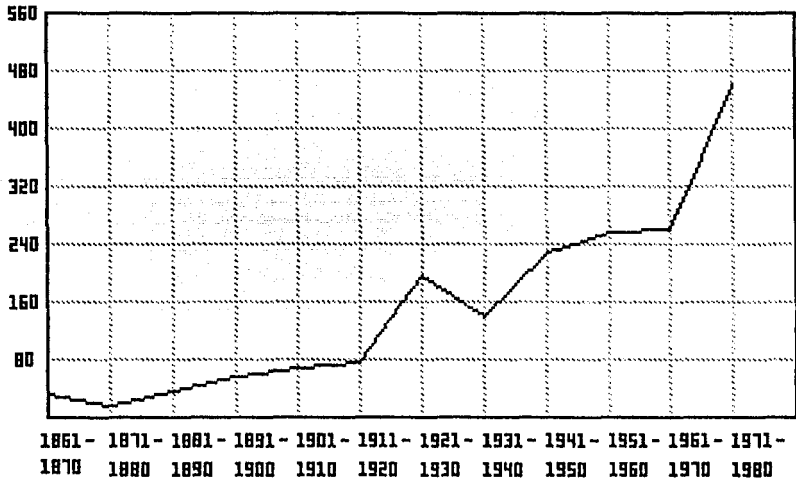


FIG. 6.1 NUMERO DE PATENTES CRIPTOGRAFICAS REGISTRADAS POR DECADA EN E.U.

comunicaciones, los sistemas cifradores también la cobran. Ya que, como se observa en la fig. (6.2), un sistema cifrador es un elemento de un sistema de comunicación. Actualmente existen asociaciones como la American Cryptogram Association, la New York

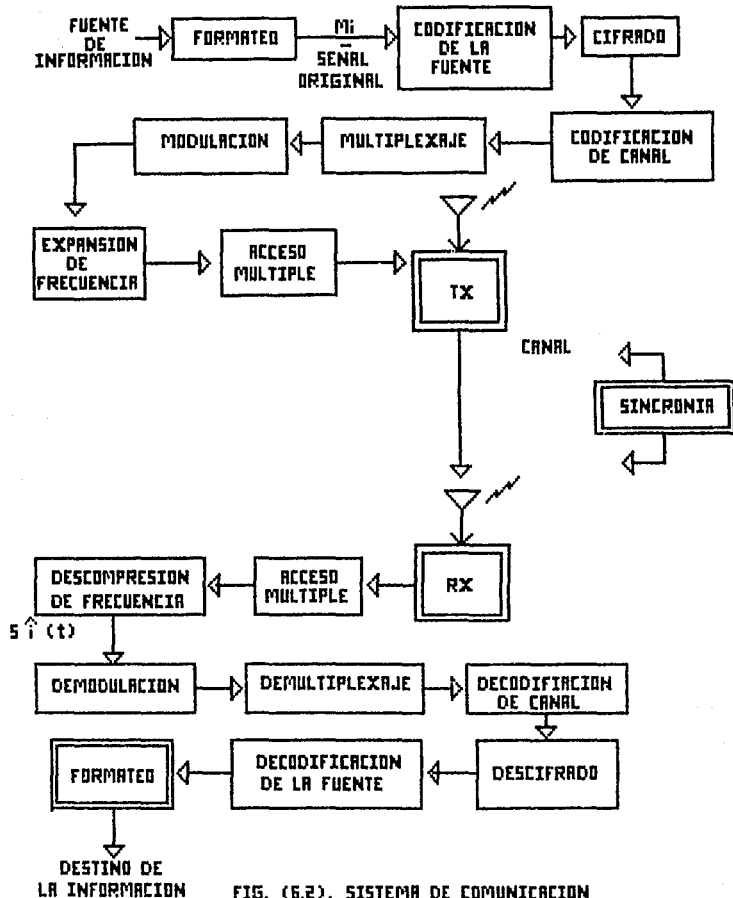


FIG. (6.2). SISTEMA DE COMUNICACION

Conclusiones.

Cipher Society o revistas como Cryptologia que denotan la importancia que va adquiriendo día a día la criptografía.

El sistema cifrador de privacidad que proponemos, es para voz analógica por vía telefónica, ya que el sistema telefónico es el mayor sistema de comunicación internacional que existe y dentro del cual está nuestro sistema cifrador. Este sistema cifrador es para mensajes analógicos, ya que no se vislumbra a corto plazo cambiar la red telefónica analógica por digital en el país. Actualmente, existen aproximadamente 60 proveedores en el mundo de equipo cifrador, con las condiciones existentes en nuestro país, consideramos que podemos crear algoritmos cifradores o mejorar los existentes, apoyándonos en los recursos computacionales existentes, para desarrollar sistemas cifradores aplicables a las necesidades que se requerirán en el país, obviamente sin pretender llegar al estado del arte en comunicaciones.

APENDICE

```

0001 *****
0002 *
0003 *   PROGRAMA PARA ENCIFRADO DE UNA SEÑAL ANALÓGICA *
0004 *   QUE UTILIZA EL MÉTODO DE INVERSIÓN EN FRECUENCIA. *
0005 * *
0006 *****
0007 *
0008 *
0009 *VAR (LOCALIDADES DE LA MEMORIA DE DATOS)
0010 *
0011 0000 DATA0 EDU 0
0012 0001 DATA1 EDU 1
0013 0002 SIGN0 EDU 2
0014 0003 ONE EDU 3
0015 *
0016 0000 ADR0 0
0017 0000 F900 B BEGIN
      0001 0006
0018 *
0019 *CONST (LOCALIDADES DE LA MEMORIA DE PROGRAMA)
0020 *
0021 0002 0271 RATE DATA 625 *TASA DE MUESTREO: 8 Khz.
0022 0003 00FA MODE DATA >FA *MOD0 DE LA AIB
0023 0004 0001 UND DATA 1
0024 0005 FFFF SGN DATA -1
0025 *
0026 0006 6E00 BEGIN LDPK 0 *SELECCIONA PAGINA CERO DE
0027 0007 7E02 LACK RATE *
0028 0008 6700 TBLR DATA0 *PROGRAMA TASA DE MUESTRE
0029 0009 4900 QUT DATA0.1 *
0030 *
0031 000A 7E03 LACK MODE *
0032 000B 6700 TBLR DATA0 *PROGRAMA MOD0 DE OPERACI
0033 000C 4B00 QUT DATA0.0 *
0034 *
0035 000D 7E04 LACK UND
0036 000E 6701 TBLR DATA1 *(DATA1) -- 1
0037 000F 6703 TBLR ONE *(ONE) -- 1
0038 *
0039 0010 7E05 LACK SGN
0040 0011 6702 TBLR SIGN0 *(SIGN0) -- -1
0041 *
0042 0012 F600 LOOP1 BIZ LOOP2 *IF BIZ = 0 THEN WAIT
      0013 0016
0043 0014 F900 B LOOP1 *
      0015 0012 ELSE OBTEN MU
0044 *
0045 0016 4200 LOOP2 IN DATA0.2 *(DATA0) -- MUESTRA
0046 0017 2001 LAC DATA1 *IF NUMERO DE MUESTRA IMPA
0047 001B FF00 BZ CAMBIO
      0019 001E
0048 *
0049 001A 7FB9 ZAC
0050 001B 5001 SACL DATA1 *APUNTA00R DE MUESTRA = IM
0051 001C F900 B OUTPUT
      001D 0025
0052 *

```

0053	001E	6A02	CAMBIO	LT	SIGN0	*
0054	001F	6D00		MPY	DATA0	*
0055	0020	7F8E		PAC		* (DATA0) -- -(DATA0) -
0056	0021	1003		SUB	ONE	* SE INVIERTE LA MUESTRA
0057	0022	5000		SACL	DATA0	*
0058			*			
0059	0023	2003		LAC	ONE	
0060	0024	5001		SACL	DATA1	*APUNTADOR DE MUESTRA = PA
0061			*			
0062	0025	4A00	OUTPUT	OUT	DATA0.2	*SACA MUESTRA ENCIFRADA
0063	0026	F900		B	LOOP1	*REGRESA POR OTRA MUESTRA
	0027	0012				
0064				END		

NO ERRORS. NO WARNINGS

```

0001      *
0002      *
0003      *   PROGRAMA DE ENCIFRADO DE SEÑALES ANALÓGICAS   *
0004      *   QUE UTILIZA EL MÉTODO DE INVERSIÓN DE MUESTRAS *
0005      *   EN EL TIEMPO.                                  *
0006      *
0007      *
0008      *
0009      *VAR (LOCALIDADES DE MEMORIA DE DATOS)
0010      *
0011      0064 INI1   EQU 100
0012      0065 INI2   EQU 101
0013      0066 DATA EQU 102
0014      0067 UND   EQU 103
0015      *
0016      0000      AORG 0
0017      0000 F900  B   BEGIN
0001      0008
0018      *
0019      *CONST (LOCALIDADES DE MEMORIA DE PROGRAMA)
0020      *
0021      0002 0001 START1 DATA 1      *DIRECCION DE INICIO DE B
0022      0003 0018 START2 DATA 24   *DIRECCION DE INICIO DE B
0023      0004 00FA MODD  DATA >FA   *MODD DE OPERACION DE LA
0024      0005 0271 RATE  DATA 625   *TASA DE MUESTREO 6 Hz.
0025      0006 0001 ONE   DATA 1
0026      0007 0000 FOUR  DATA 0
0027      *
0028      0008 6E00 BEGIN  LDPK 0      *SELECCIONA PAGINA 0 DE M
0029      0009 7E05      LACK RATE
0030      000A 6766      TBLR DATA
0031      000B 4966      OUT DATA,1
0032      *
0033      000C 7E04      LACK MODD
0034      000D 6766      TBLR DATA
0035      000E 4866      OUT DATA,0
0036      *
0037      000F 7E02      LACK START1
0038      0010 6744      TBLR INI1
0039      0011 7E03      LACK START2
0040      0012 6765      TBLR INI2
0041      0013 7E06      LACK ONE
0042      0014 6767      TBLR UND
0043      *
0044      0015 3864 LOOP00 LAR 0,INI1  *ARO -- INI1
0045      0016 3965      LAR 1,INI2   *ARI -- INI2
0046      *
0047      0017 F500 LOOP0  BLDZ LOOP1  *IF BLDZ = 0 THEN WAIT
0018      001B
0048      0019 F900      B   LOOP0
001A      0017
0049      *
0050      001B 42A1 LOOP1  IN  *+,-,1
0051      001C 4A90      OUT *+,-,0
0052      001D 3166      SAR 1,DATA
0053      001E 2066      LAC DATA
0054      001F FE00      BNZ LOOP0
0054      *IF DOS BLOQUES VACIADOS

```

NO#IDT

32010 FAMILY MACRO ASSEMBLER

PC2.1 84.107

02:04:55 01-01-80

PAGE 0002

0020 0017

0055 0021 F900

0022 0015

0056

B LODP00

*

ELSE VACIEMOS BLOQUE

END

NO ERRORS. NO WARNINGS

```

0001 *****
0002 *
0003 * PROGRAMA DE ENCIFRADO DE SEÑALES ANALOGICAS QUE *
0004 * UTILIZA EL METODO DE PERMUTACION DE BLOQUES EN *
0005 * EL TIEMPO. *
0006 * *
0007 *****
0008 *
0009 *VAR (LOCALIDADES DE MEMORIA DE DATOS)
0010 *
0011 0072 SHIFT EQU 114
0012 0073 Y0 EQU 115
0013 0074 Y2 EQU 116
0014 0075 ADDER EQU 117
0015 0076 UND EQU 118
0016 0077 OFFSET EQU 119
0017 0078 TOFFSE EQU 120
0018 0079 TENP EQU 121
0019 007A INIO EQU 122
0020 007B INI1 EQU 123
0021 007C LSEGM EQU 124
0022 007D NSEGM EQU 125
0023 007E SEGM EQU 126
0024 *
0025 0000 AORG 0
0026 0000 F900 B BEGIN
0001 0000
0027 *
0028 *CONST (LOCALIDADES DE MEMORIA DE PROGRAMA)
0029 *
0030 0002 0001 ONE DATA 1
0031 0003 0007 NREGIS DATA 7 *NO. DE LOCALIDADES DEL R
0032 0004 0039 INICO DATA 57 *INICIO DEL BLOQUE2
0033 0005 0001 INIC1 DATA 1 *INICIO DEL BLOQUE1
0034 0006 003B NOFFSE DATA 56 *OFFSET PARA EL BLOQUE2 E
0035 0007 000B SEGML DATA 8 *LONGITUD DEL SEGMENTO 8
0036 0008 0007 SEGMN DATA 7 *NO. DE SEGMENTOS POR MAR
0037 0009 003B TOFF DATA 56
0038 000A 0000 OFFT DATA 0
0039 000B 00FA MODD DATA >FA *MODD DE LA AIB
0040 000C 0271 RATE DATA 625 *TASA DE MUESTREO B Khz
0041 *
0042 000D 4E00 BEGIN LDPK 0 *SELECCIONA PAGINA CERO D
0043 *
0044 000E 7E0C LACK RATE *
0045 000F 6779 TBLR TEMP *CARGA TASA DE MUESTREO
0046 0010 4779 OUT TEMP,1 *
0047 *
0048 0011 7E0B LACK MODD *
0049 0012 6779 TBLR TEMP *CARGA MODD DE OPERACION
0050 0013 4079 OUT TEMP,0 *
0051 *
0052 0014 7E09 LACK TOFF
0053 0015 677B TBLR TOFFSE *(TOFFSE) -- 56
0054 *
0055 0016 7E0A LACK OFFT
0056 0017 6777 TBLR OFFSET *(OFFSET) -- 0
    
```



```

0057 *
0058 0018 7E02 LACK ONE
0059 0019 6776 TBLR UND *(UND) -- 1
0060 *
0061 001A 7E04 LACK INICO
0062 001B 677A TBLR INIO *(INIO) -- 57
0063 *
0064 001C 7E05 LACK INIC1
0065 001D 677B TBLR INI1 *(INI1) -- 1
0066 *
0067 001E 7E03 LACK NREGIS *(SHIFT) -- 7
0068 001F 6772 TBLR SHIFT *ESTADO INICIAL DEL REGIS
0069 *
0070 0020 7E07 LACK SEGML
0071 0021 677E TBLR SEGM *(SEGM) -- 8
0072 *
0073 0022 2078 CHANGE LAC TOFFSE *
0074 0023 5079 SACL TEMP *
0075 0024 2077 LAC OFFSET *SE INTERCAMBIAN OFFSET
0076 0025 5078 SACL TOFFSE *TOFFSE ==== OFFSET
0077 0026 2079 LAC TEMP *
0078 0027 5077 SACL OFFSET *
0079 *
0080 0028 207A LAC INIO *
0081 0029 5079 SACL TEMP *
0082 002A 207B LAC INI1 *SE INTERCAMBIAN INCIOS
0083 002B 507A SACL INIO *INI0 ==== INI1
0084 002C 2079 LAC TEMP *
0085 002D 507B SACL INI1 *
0086 002E 587A LAR 0, INIO *ARO -- INIO
0087 *
0088 002F 7E08 LACK SEGMN
0089 0030 677D TBLR NSEGM *(NSEGM0) -- SEGMN
0090 *
0091 0031 7E07 LOOP00 LACK SEGML
0092 0032 677C TBLR LSEGM *(LSEGM) -- SEGML
0093 *
0094 0033 F800 CALL CORRIM *RECORRE REGISTRO DE CORR
0094 0034 0050
0095 *
0096 0035 2072 LAC SHIFT *
0097 0036 1076 SUB UND *
0098 0037 5079 SACL TEMP *
0099 0038 6A79 LT TEMP *OBTIENE DIRECCION A/D
0100 0039 6D7E MPY SEGM *
0101 003A 7FRE PAC *
0102 003B 0076 ADD UND *
0103 003C 0077 ADD OFFSET *SUMA EL OFFSET A DIRECCI
0104 003D 5079 SACL TEMP *
0105 003E 3979 LAR 1, TEMP *AR1 -- DIRECCION A/D
0106 003F 207C LAC LSEGM *AC -- LSEGM
0107 *
0108 0040 F600 LOOP0 BIDZ LOOP1 *IF BIDZ = 1 THEN WAIT
0041 0044
0109 0042 F900 B LOOP0 ELSE OBTEN M
0043 0040
0110 *

```

```

0111 0042 1076      SUB  UND      *IF NO TERMINA DE SACAR SEGMENTO S16
0112 0043 FC00      BGZ  LOOP0    * ELSE
      0044 003C
0113                *
0114 0045 207D      LAC  NSEGM   *
0115 0046 1076      SUB  UND      * IF NO TERMINA CON MARCO THEN CONTI
0116 0047 507D      SACL NSEGM   * ELSE VA POR DTRD MARCO
0117 0048 FC00      BGZ  LOOP00  *
      0049 0031
0118                *
0119 004A F900      B    CHANGE  *
      004B 0022
0120                *
0121 004C 7F89      CORRIM ZAC      *RUTINA DEL REGISTRO DE CORRIMIENTO
0122 004D 2076      LAC  UND      *CON FUNCION f = S0 + S2
0123 004E 7972      AND  SHIFT   *
0124 004F FF00      BZ   CER00   *
      0050 0055
0125                *
0126 0051 2076      LAC  UND      * IF S2 = 0 THEN Y0 = 0
0127 0052 5073      SACL Y0      * ELSE Y1 = 1
0128 0053 F900      B    CONTO   *
      0054 0057
0129                *
0130 0055 7F89      CER00 ZAC      *
0131 0056 5073      SACL Y0      *
0132                *
0133 0057 2276      CONTO LAC  UND,2 *
0134 0058 7972      AND  SHIFT   *
0135 0059 FF00      BZ   CER01   *
      005A 005F
0136 005B 2076      LAC  UND      *
0137 005C 5074      SACL Y2      * IF S0 THEN Y2 = 0
0138 005D F900      B    CONT1   * ELSE Y1 = 1
      005E 0061
0139                *
0140 005F 7F89      CER01 ZAC      *
0141 0060 5074      SACL Y2      *
0142                *
0143 0061 7F89      CONT1 ZAC      *
0144 0062 2073      LAC  Y0      *
0145 0063 7874      XOR  Y2      *ADDER = Y0 XOR Y1
0146 0064 5075      SACL ADDER  *
0147 0065 7F89      ZAC      *
0148 0066 2F72      LAC  SHIFT,15 *UN CORRIMIENTO DE SHIFT
0149 0067 5872      SACH SHIFT  *A LA IZQUIERDA
0150 0068 2275      LAC  ADDER,2 *
0151 0069 7872      OR   SHIFT   *SHIFT = SHIFT OR ADDER
0152 006A 5072      SACL SHIF1  *
0153 006B 7F8D      RET
0154                *
0155                END

```

NO ERRORS, NO WARNINGS

```

0001 *****
0002 *
0003 *   PROGRAMA QUE UTILIZA DOS METODOS DE ENCIFRADO *
0004 *   PARA SEÑALES ANALOGICAS: *
0005 *   1. PERMUTACION DE BLOQUES EN EL TIEMPO *
0006 *   2. INVERSION DE MUESTRAS EN EL TIEMPO *
0007 *
0008 *****
0009 *
0010 *VAR (LOCALIDADES DE MEMORIA DE DATOS)
0011 *
0012 0072 BSHIFT EQU 114
0013 0073 YO EQU 115
0014 0074 Y2 EQU 116
0015 0075 ADDER EQU 117
0016 0076 UNQ EQU 118
0017 0077 OFFSET EQU 119
0018 0078 TOFFSE EQU 120
0019 0079 TEMP EQU 121
0020 007A INIO EQU 122
0021 007B INI1 EQU 123
0022 007C LSEGM EQU 124
0023 007D NSEGM EQU 125
0024 007E SEGM EQU 126
0025 *
0026 0000 ADRG 0
0027 0000 F900 B BEGIN
0001 0000

0028 *
0029 *CONST (LOCALIDADES DE MEMORIA DE PROGRAMA)
0030 *
0031 0002 0001 ONE DATA 1
0032 0003 0007 NREGIS DATA 7 *NO. DE LOCALIDADES DEL REGISTRO DE
0033 0004 0039 INICO DATA 57 *INICIO DEL BLOQUEO
0034 0005 0001 INIC1 DATA 1 *INICIO DEL BLOQUE1
0035 0006 0038 NOFFSE DATA 56 *MAGNITUD DEL OFFSET PARA EL BLOQUE1
0036 0007 0000 SEGML DATA 8 *LONGITUD DEL SEGMENTO = 8 MUESTRAS
0037 0008 0007 SEGMN DATA 7 *TAMAZO DEL MARCO = 7 SEGMENTOS
0038 0009 0038 TOFF DATA 56
0039 000A 0000 OFFT DATA 0
0040 000B 00FA MODD DATA >FA *MODD DE OPERACION DE LA AIR
0041 000C 0271 RATE DATA 625 *TASA DE MUESTREO 8 KHz
0042 *
0043 000D 6E00 BEGIN LDPK 0 *SELECCIONA 0 DE MEMORIA DE DATOS
0044 *
0045 000E 7E0C LACK RATE *
0046 000F 6779 TBLR TEMP *PROGRAMA TASA DE MUESTREO
0047 0010 4979 OUT TEMP,1 *
0048 *
0049 0011 7E0E LACK MODD *
0050 0012 6779 TBLR TEMP *PROGRAMA MODD DE OPERACION DE LA A
0051 0013 4879 OUT TEMP,0 *
0052 *
0053 0014 7E09 LACK TOFF
0054 0015 677B TBLR TOFFSE *(TOFFSE) -- 56
0055 *
0056 0016 7E0A LACK OFFT

```

```

0057 0017 6777          TBLR OFFSET      *(OFFSET) -- 0
0058          *
0059 001B 7E02          LACK ONE
0060 0019 6776          TBLR UND          *(UND)   -- 1
0061          *
0062 001A 7E04          LACK INICO
0063 001B 677A          TBLR INIO        *(INIO)  -- 57
0064          *
0065 001C 7E05          LACK INIC1
0066 001D 677B          TBLR INI1        *(INI1)  -- 1
0067          *
0068 001E 7E03          LACK NREGIS
0069 001F 6772          TBLR SHIFT       *(SHIFT) -- 7
0070          *
0071 0020 7E07          LACK SEGML
0072 0021 677E          TBLR SEGM        *(SEGM)  -- 8
0073          *
0074 0022 207B          CHANGE LAC TOFFSE   *
0075 0023 5079          SACL TEMP        *
0076 0024 2077          LAC OFFSET1      *SE INTERCAMBIAN OFFSET'S
0077 0025 507B          SACL TOFFSE      *TOFFSE ==== OFFSET
0078 0026 2079          LAC TEMP         *
0079 0027 5077          SACL OFFSET      *
0080          *
0081 002B 207A          LAC INIO         *
0082 0029 5079          SACL TEMP        *
0083 002A 207B          LAC INI1         *SE INTERCAMBIAN INICIOS:
0084 002B 507A          SACL INIO        *INIO ==== INI1
0085 002C 2079          LAC TEMP         *
0086 002D 507B          SACL INI1        *
0087 002E 3B7A          LAR 0,INI0      *ARO -- INIO
0088          *
0089 002F 7E0B          LACK SEGML
0090 0030 677D          TBLR NSEGM       *(NSEGM) -- SEGMN
0091          *
0092 0031 7E07          LOOP00 LACK SEGML
0093 0032 677C          TBLR LSEGM       *(LSEGM) -- SEGML
0094          *
0095 0033 F800          CALI CORRIM      *RECORRE REGISTRO DE CORRIMIENTO
0096 0034 004C          *
0097 0035 6A72          LT SHIFT         *
0098 0036 6D7E          MPY SEGM        *
0099 0037 7FBE          PAC             *OBTIENE DIR. DE MEMORIA DE DATOS
0100 0038 0077          ADD OFFSET      *
0101 0039 5079          SACL TEMP       *
0102 003A 3979          LAR 1,TEMP      *AR1 -- DIRECCION D/A
0103 003B 207C          LAC LSEGM       *AC -- LSEGM
0104          *
0105 003C F600          LOOP0 B10Z LOOP1 *IF B10Z = 1 THEN WAIT
0106 003D 0040          *
0106 003E F900          B LOOP0         ELSE OBTEN MUESTRA A/D
0107 003F 003C          *
0108 0040 42A1          LOOP1 IN *+1,1    *(ARO) -- MUESTRA A/D, ARO = ARO + 1
0109 0041 4A90          OUT *-1,0       *SACA MUESTRA D/A DE (AR1), AR1 = AR
0110          *

```

```

0111 0044 42A1 LONP1 IN **2.1 * (AR0) -- MUESTRA A/D. AK
0112 0045 4AA0 OUT **2.0 *SACA MUESTRA D/A DE (AR1
0113 *
0114 0046 1076 SUB UNO *IF NO TERMINA DE SACAR 5
0115 0047 FC00 RBZ LOOP0 * ELSE
0048 0040
0116 *
0117 0049 207D LAC NSEGM *
0118 004A 1076 SUB UNO *IF NO TERMINA DE SACAR
0119 004B 507D SACL NSEGM * ELSE VE POR OTRO MAR
0120 004C FC00 RBZ LOOP00 *
004D 0031
0121 *
0122 004E F900 B CHANGE *
004F 0022
0123 *
0124 0050 7FB9 CORR1H ZAC *RUTINA DEL REGISTRO DE C
0125 0051 2076 LAC UNO *CON FUNCION f = S0 + S2
0126 0052 7972 AND SHIFT *
0127 0053 FF00 BZ CERD0 *
0054 0059
0128 *
0129 0055 2076 LAC UNO *
0130 0056 5073 SACL Y0 *IF S2 = 0 THEN Y0 =
0131 0057 F900 B CONTO * ELSE Y1 =
0058 0058
0132 *
0133 0059 7FB9 CERD0 ZAC *
0134 005A 5073 SACL Y0 *
0135 *
0136 005B 2276 CONTO LAC UNO.2 *
0137 005C 7972 AND SHIFT *
0138 005D FF00 BZ CERD1 *
005E 0063
0139 *
0140 005F 2076 LAC UNO *IF S0 = 0 THEN Y2 =
0141 0060 5074 SACL Y2 * ELSE Y1 =
0142 0061 F900 B CONT1 *
0062 0065
0143 *
0144 0063 7FB9 CERD1 ZAC *
0145 0064 5074 SACL Y2 *
0146 *
0147 0065 7FB9 CONT1 ZAC *
0148 0066 2073 LAC Y0 *
0149 0067 7874 XOR Y2 *ADDER = Y0 XOR Y1
0150 0068 5075 SACL ADDER *
0151 0069 7FB9 ZAC *
0152 006A 2F72 LAC SHIF1.15 *UN RECORRIMIENTO DE SHIF
0153 006B 5872 SACL SHIF *A LA IZQUIERDA
0154 006C 2275 LAC ADDER.2 *
0155 006D 7A72 OR SHIF *SHIFT = SHIF OR ADDER
0156 006E 5072 SACL SHIF *
0157 006F 7FB0 RET *
0158 *
0159 END

```

NO ERRORS, NO WARNINGS

```

0001 *****
0002 *
0003 * PROGRAMA GENERADOR DE NUMEROS PSEUDOALEATORIOS *
0004 * QUE UTILIZA EL METODO DE CONGRUENCIA LINEAL *
0005 *
0006 *          Rn+1 = (K1 Rn + c) MOD M *
0007 *
0008 *****
0009 *
0010 *VAR (MEMORIA DE DATOS)
0011     0000 R      EQU 0
0012     0001 K1    EQU 1
0013     0002 K2    EQU 2
0014     0003 K3    EQU 3
0015     0004 SUM   EQU 4
0016     0005 SGN   EQU 5
0017     0006 K32   EQU 6
0018     0007 TEMP  EQU 7
0019 *
0020 0000          AORG 0
0021 0000 F900    B    START
0022     0001 000B
0023 *CONST (MEMORIA DE PROGRAMA)
0024 *
0024 0002 0011 MR   DATA 17          *VALOR INICIAL DE LA SEMILLA R
0025 0003 0579 MK1  DATA >579      *
0026 0004 0913 MK2  DATA 19          *VALORES INICIALES DE LAS CONSTANTES
0027 0005 0800 MK3  DATA >800      * ESTOS VALORES SON LOS QUE SE MODIFIC
0028 0006 0400 MK32 DATA >400      * PARA ADAPTAR LA SECUENCIA PSEUDALEA
0029 0007 FFFF MUND DATA -1
0030 *
0031 000B 6E00 START LDPR 0          *
0032 0009 7E02 LACK MR          *
0033 000A 6700 TBLR R          *
0034 *
0035 000B 7E03 LACK MK1          *
0036 000C 6701 TBLR K1          *
0037 *
0038 000D 7E04 LACK MK2          *
0039 000E 6702 TBLR K2          *
0040 *
0041 000F 7E05 LACK MK3          *
0042 0010 6703 TBLR K3          *
0043 *
0044 0011 7E06 LACK M32          *
0045 0012 6706 TBLR K32          *
0046 *
0047 0013 7E07 LACK MUND          *
0048 0014 6705 TBLR SGN          *
0049 *
0050 0015 6A00 LDPR0 LT R          *INICIA PROCESO DE GENERACION
0051 0016 6D01 MPY K1          *
0052 0017 7FBE PAC           *
0053 0018 0002 ADD K2          * K1 Rn + c
0054 0019 5004 SACL SUM          *
0055 *
0056 001A 2004 LAC SUM          *SE INICIA FUNCION MODULO

```

```

0057 001B 1003      SUB  K3
0058 001C FC00      BGZ  LOOP
      001D 0022
0059 001E FF00      BZ   ZERO
      001F 002C
0060 0020 F900      B    NCERO
      0021 002E
0061                *
0062 0022 2004      LODP LAC  SUM
0063 0023 1003      SUB  K3
0064 0024 5004      SACL SUM
0065 0025 1003      SUB  K3
0066 0026 FC00      BGZ  LOOP
      0027 0022
0067                *
0068 0028 2004      LAC  SUM
0069 0029 1003      SUB  K3
0070 002A FE00      BNZ  NCERO
      002B 002E
0071                *
0072 002C 7F89      ZERO ZAC
0073 002D 5004      SACL SUM
0074                *
0075 002E 2004      NCERO LAC  SUM
0076 002F 5000      SACL R
0077 0030 1006      SUB  MK32
0078 0031 FC00      BGZ  NEG
      0032 0036
0079 0033 2004      LAC  SUM
0080 0034 F900      B    SACA
      0035 003A
0081 0036 5007      NEG  SACL TEMP
0082 0037 6A05      LT   SGN
0083 0038 6D07      MPY  TEMP
0084 0039 7F8E      PAC
0085 003A 5007      SACA SACL TEMP
0086 003B 4A07      OUT TEMP,2
0087 003C F900      B    LOOP0
      003D 0015
0088                *
0089                END

```

NO ERRORS, NO WARNINGS

BIBLIOGRAFIA

- Baker, H.J, and Piper, F.C. cap. II-IV
"SECURE SPEECH COMMUNICATIONS"
Academic Press, 1985, Orlando, Florida.
- Deavorus, C.A. and Kruh, L. cap. III
"MACHINE CRYPTOGRAPHY AND MODERN CRYPTANALYSIS"
Artech House, 1985, Norwood, Mass.
- Diffie, W. and Hellman, M.E. cap. III
"PRIVACY AND AUTHENTICATION: AN INTRODUCTION TO CRIPTOGRAPHY"
Proc IEEE, Mar 1979, vol, 67, pp. 397-427.
- Hellman, M.E. cap. III
"AN OVERVIEW OF PUBLIC KEY CRIPTOGRAPHY"
IEEE Commun. Soc, Magazine, Nov. 1978, vol.16 No.6, pp 24-32.
- Hellman, M.E. cap. III
"THE INFORMATION THEORETIC APPROACH TO CRYPTOGRAPHY"
U, Stanford Calif., 1974.

Bibliografía.

- Jayant, N.S., Cox, R.V., McDermontt, B.J. and
Quinn, A.M. cap. IV
"A COMPARISION OF FOUR METHODS FOR ANALOG SPEECH PRIVACY"
IEEE Trans. Commun. 1981, com-29(1), 18-23.
- Kahn, D. cap. III
"THE CODEBREAKERS"
Mac Millan, 1967, New York.
- Kak, S.C. and Jayant, N. S. cap. IV
"ON SPEECH ENCRYPTION USING WAVEFORM SCRAMBLING"
Bell Syst. Tech J. May-June 1977, vol.56, pp.781-808.
- Kuhlmann, F. y Buzo, A. cap. II,IV
"ANALISIS DE SEÑALES"
DEPFI-UNAM, Nov. 1987.
- Kun-Shan, L. ed. cap. V
"DIGITAL SIGNAL PROCESSING APPLICATIONS WHIT THE TMS320 FAMILY"
Prentice Hall, Englewood Cliffs, New Jersey, 1987.
- Kun-Shan, L., Frantz, G.E. and Simar, Ray jr. cap. V
"THEN TMS320 FAMILY OF DIBITAL SIGNAL PROCESSORS"
Proc. IEEE, Sep. 1987, vol. 75, pp. 1143-1159

- Orceyre, M.J. and Heller, R.M. cap. IV-V
"AN APPROACH TO SECURE VOICE COMMUNICATION BASED ON THE DATA
ENCRYPTION STANDAR"
IEEE Commun. Soc. magazine, Nov 1978, 16(6), pp 41-50.
- Papoulis. cap. II,IV
"SIGNAL ANALYSIS"
Mc Graw Hill, 1977, New York.
- Rabiner L.R. and Shafer, R.W. cap. I-II
"DIGITAL PROCESSING OF SPEECH SIGNALS"
Prentice Hall, Englewood Cliffs, New Jersey, 1978.
- Rivest, R.L., Shamir, A. and Adleman, L. cap. III
"A METHOD FOR OBTAINING DIGITAL SIGNATURES AND PUBLIC KEY
CRYPTOSYSTEMS"
Commun. ACM, 1978, 21(2), pp 120-126.
- Sambur, M.R. and Jayant, N.S. cap. IV
"SPEECH ENCRYPTION BY MANIPULATIONS OF LPC PARAMETERS"
Bell Syst. Tech J., Nov. 1976, vol.55, pp.1373-1388.

Bibliografia.

- "TMS32010 ANALOG INTERFACE BOARD USER'S GUIDE" cap. V
Texas Instruments, 1984, Houston, Tx.
- "TMS32010 EVALUATION MODULE USER'S GUIDE" cap. V
Texas Instruments, 1984, Houston, Tx.
- "TMS32010 USER'S GUIDE" cap. V
Texas Instruments, 1983, Houston, Tx.
- Torrieri, D.J. cap. II-IV
"PRINCIPLES OF SECURE COMMUNICATION SYSTEMS"
Artech House, 1975, Norwood, Mass.